



Universidad de Valladolid



**ESCUELA DE INGENIERÍAS
INDUSTRIALES**

UNIVERSIDAD DE VALLADOLID

ESCUELA DE INGENIERIAS INDUSTRIALES

Máster en Ingeniería Química

**Implementación de un controlador predictivo
no lineal y una estrategia de optimización en
tiempo real a una planta piloto híbrida**

Autor:

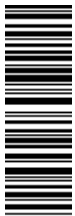
Montes López, Daniel Alberto

Tutor:

De Prada, César

**Dpto. de Ingeniería de Sistemas y
Automática**

Valladolid, mayo 2020.



Implementación de un controlador predictivo no lineal y una estrategia de optimización en tiempo real a una planta piloto híbrida

Daniel Montes

Resumen

En el presente Trabajo de Fin de Máster se estudia el desarrollo e implementación inicial de estrategias de control avanzado y optimización de tiempo real en una planta piloto de laboratorio. Se busca poner en práctica a escala de laboratorio capas superiores de la pirámide de automatización que cobran cada vez más relevancia en la industria de procesos.

La planta simula el comportamiento dinámico de un reactor químico sin que tenga lugar la reacción en sí. La reacción se simula a partir de las medidas del proceso para calcular el calor que se generaría y luego se aplica a través de resistencias eléctricas. Aunque es una simplificación del proceso real, este enfoque permite conservar la hidrodinámica original y eliminar la necesidad de compra y disposición de reactivos. El único fluido involucrado en el proceso es agua.

Se desarrolló y ajustó un modelo matemático de la planta usando estimación de parámetros con optimización dinámica. Luego, se programó el controlador predictivo no lineal en EcosimPro y se envolvió en una capa OPC-UA. Fue necesario proveer al controlador de un estimador de estados de horizonte móvil para calcular las variables no medidas. El controlador predictivo calcula valores de caudal de refrigerante y reactivos que se envían como consignas a controladores PID. Para comunicar el controlador con el SCADA se desarrolló una interfaz entre OPC-UA y OPC-DA en Python usando librerías de código abierto.

Por último, se implementó una estrategia de optimización en tiempo real que calcula las consignas de temperatura y concentración del controlador predictivo que maximizan el beneficio económico del proceso. Desde el SCADA es posible cambiar el precio de cada una de las especies involucradas en la reacción y el costo del refrigerante. Los valores de concentración y temperatura son enviados automáticamente al controlador predictivo.

Debido a la situación de estado de alarma decretado por el Estado español no fue posible acceder al laboratorio durante la última fase del TFM, por ello, tanto el controlador predictivo como el optimizador en tiempo real se probaron en una simulación del proceso conectada al SCADA de la planta. Se probaron exitosamente cambios de consigna, de parámetros y perturbaciones y el controlador respondió adecuadamente a cada uno de ellos. Luego, se probaron diferentes situaciones con el optimizador en tiempo real como el desplome del precio de la especie de interés.



Implementation of a non-linear predictive controller and a real-time optimization strategy on a hybrid pilot plant

Daniel Montes

Abstract

In the present Master's thesis, the initial implementation of a non-linear predictive controller and a real-time optimization strategy on a hybrid pilot plant were studied. It aims to put into practice superior layers of the automation pyramid that are gaining relevance in the process industry.

The plant simulates the dynamic behavior of a continuous stirred tank reactor without the reaction actually taking place. The reaction is simulated from real measurements of the process to calculate the heat that would be generated, it is then applied using electrical heating coils. Although it is a simplification of the real process, this approach allows us to preserve the fluid dynamics while deleting the need and handling of reactants and products. The only fluid involved in the process is water.

A mathematical model was developed and adjusted using parameter estimation with dynamic optimization. Later on, a non-linear predictive controller was coded in EcosimPro and wrapped in an OPC-UA interface. It was necessary to provide the controller with a moving horizon state estimator to calculate the value of the unmeasured variables. The predictive controller calculates values for the flowrates of coolant and reactants required to achieve the temperature and concentration set-point. These flowrates are sent as set-points to PID controllers. To establish communication between the controller and the plant's SCADA an interface between OPC-UA and OPC-DA was developed in Python using open-source libraries.

Finally, a real-time optimization strategy that calculates the controller's temperature and concentration set-points that maximize the economics of the process. It is possible to adjust from the SCADA the price of each species and the price of the coolant. The concentration and temperature set-points are automatically sent to the predictive controller.

Both the predictive controller and the real-time optimizer were tested on a simulation of the process connected to the SCADA. Different changes in set-points, tuning parameters, and disturbances were tested and the controller reacted properly to each situation. Later, different situations were tested in the real-time optimizer such as in a sudden drop in the price of the most profitable species.





Dedicatoria

Dedico este trabajo a mis padres y a mi pareja por apoyarme desde el principio en la loca idea de dejar atrás todo mi mundo en busca de nuevos horizontes. Su apoyo y confianza siempre me ha inspirado a seguir adelante.





Agradecimientos

Me gustaría agradecer a cada uno de los profesores del Máster en Ingeniería Química por sus lecciones. Al personal del Laboratorio de Control de Procesos por su ayuda con los múltiples inconvenientes con la planta. A César por su excelente tutoría y permanente disponibilidad para atender mis inquietudes.

Igualmente deseo dar las gracias a la Universidad de Valladolid y al Banco Santander por financiar mis estudios de máster a través del programa de becas Iberoamerica+Asia.



Índice general

1. Introducción	8
1.1. Objeto	10
1.2. Control de procesos	10
1.2.1. Control PID	11
1.2.2. Control predictivo	12
1.3. Optimización en tiempo real	14
1.4. Sistemas SCADA	14
1.4.1. Estándar OPC	15
1.4.2. OPC Data Access (OPC-DA)	15
1.4.3. OPC Unified Architecture (OPC-UA)	15
1.5. Optimización dinámica	16
1.5.1. Enfoque secuencial	17
1.5.2. Enfoque simultáneo	18
1.6. Optimización no lineal	19
1.6.1. Programación cuadrática	20
1.6.2. Programación cuadrática secuencial	21
2. Descripción de la planta	22
2.1. Plantas piloto híbridas	23
2.2. Diseño y construcción	24
2.3. Elementos físicos	25
2.3.1. Equipos	25
2.3.2. Instrumentación	25
2.3.3. Tarjeta de adquisición de datos	25
2.4. Elementos software	26
2.4.1. Simulación de la reacción química	26
2.4.2. Controladores PID	27
2.4.3. SCADA	28
2.4.4. Registro y almacenamiento de datos	28
2.5. Simulación de la planta a través de OPC	29
3. Construcción de un modelo	31
3.1. Formulación matemática	31
3.1.1. Balances de materia	31
3.1.2. Balances de energía	32
3.1.3. Cinética de la reacción	32
3.1.4. Transferencia de calor	32
3.2. Estimación de parámetros	34
3.2.1. Diseño del experimento	34
3.2.2. Problema de optimización	35
3.3. Validación	37





4. Formulación del controlador predictivo	39
4.1. Controlador predictivo no lineal	40
4.2. Estimador de estados	41
4.3. Implementación	42
4.4. Interfaz de comunicación	45
4.5. Interfaz HMI del MPC	45
5. Optimización en tiempo real	47
5.1. Formulación	47
6. Resultados y discusión	49
6.1. Pruebas controlador predictivo	49
6.1.1. Seguimiento de consignas	49
6.1.2. Rechazo de perturbaciones	50
6.2. Pruebas del optimizador en tiempo real	51
7. Conclusiones	55
A. Anexos	59
A.1. Pre-experimento: calentamiento e enfriamiento	59
A.2. Conversion de señales	61
A.3. Bloque simulador	62
A.4. Simulacion de la planta	65
A.5. Procesador de ficheros de ReadOPC	67
A.6. Ejecutor de experimentos	68
A.7. Código estimacion de parametros	69
A.7.1. Componente	69
A.7.2. Experimento	71
A.8. Código del MPC	78
A.8.1. Componente fichero principal	78
A.8.2. Experimento componente principal	79
A.8.3. Componente estimador de estados	81
A.8.4. Clase estimador de estados	83
A.8.5. Componente controlador	87
A.8.6. Clase del controlador	89
A.9. Código InterfazOPC	94
A.10. Optimizador en tiempo real	97
A.10.1. Componente RTO	97
A.10.2. Experimento RTO	98





Capítulo 1

Introducción

La optimización se define como el uso de métodos específicos de forma sistemática para determinar las soluciones más efectivas a un problema o diseño de un proceso [1]. Esta herramienta es muy importante en las áreas de la ciencia, la ingeniería, la electrónica, los negocios, etc. Además, es una de las principales técnicas cuantitativas para soportar la toma de decisiones en entornos industriales. Los objetivos en cualquier problema de optimización suelen incluir términos como "máximo beneficio", "mínima pérdida", "máxima probabilidad", "mínimo esfuerzo", "máximo aprovechamiento de recursos", etc.

La industria química desempeña un papel importantísimo en la economía de prácticamente cualquier país del mundo. Específicamente, en España representó en 2019 el 13,4 % del PIB nacional, generando así alrededor de 670000 puestos de trabajo y ocupó el segundo lugar en las exportaciones [2]. El ingreso de países con bajos costes salariales como India o China al comercio mundial es un gran desafío para el sector y supone una feroz competencia. Además, la cada vez más estricta legislación en temas ambientales y energéticos requiere que las industrias estén en un permanente esfuerzo por mejorar y optimizar sus operaciones. Los límites son cada vez más estrechos y el uso de las materias primas ha de ser lo más eficiente posible. Las herramientas de optimización son por tanto clave para cumplir tales objetivos.

Aunque el control tradicional, como los algoritmos PID, permite mantener los procesos en puntos de operación establecidos, se queda corto a la hora de optimizar el uso de los recursos y los bienes de las factorías. Además, los procesos se hacen más complejos, como es el caso con la integración energética y la intensificación. Por estas razones, técnicas avanzadas como el control predictivo basado en modelos y la optimización en tiempo real son cada vez más atractivas. Todo esto se basa en las ventajas de los modelos matemáticos, pues es posible predecir el estado futuro del proceso y calcular las mejores acciones de control que lo lleven a las condiciones deseadas. Además, los mismos modelos pueden ser usados para determinar las condiciones de operación óptimas en términos económicos, maximizando así el beneficio de la factoría mientras se cumplen todas las restricciones y manteniendo, incluso mejorando, la calidad del producto.

La pirámide de automatización, mostrada en la figura 1, es una forma visual de explicar los cinco niveles de un proceso de automatización y de qué forma se integran todas las tecnologías que involucra. En el primer nivel se encuentran los dispositivos de campo como los sensores y actuadores. Los dispositivos de control como los PID y los PLC recogen los datos del primer nivel para regular la planta. El nivel de supervisión está compuesto por los sistemas SCADA, incluyendo las estrategias de control avanzado como el control predictivo. En este nivel, se toman decisiones de procesos. Por encima de este, se encuentra



la capa de planificación local, donde se encuentran soluciones MES y de optimización en tiempo real para tomar decisiones de planta. Por último, en el nivel cinco se gestiona de forma global la producción de la empresa, asignando a cada una de sus plantas cotas de producción, compra de materias primas, etc.

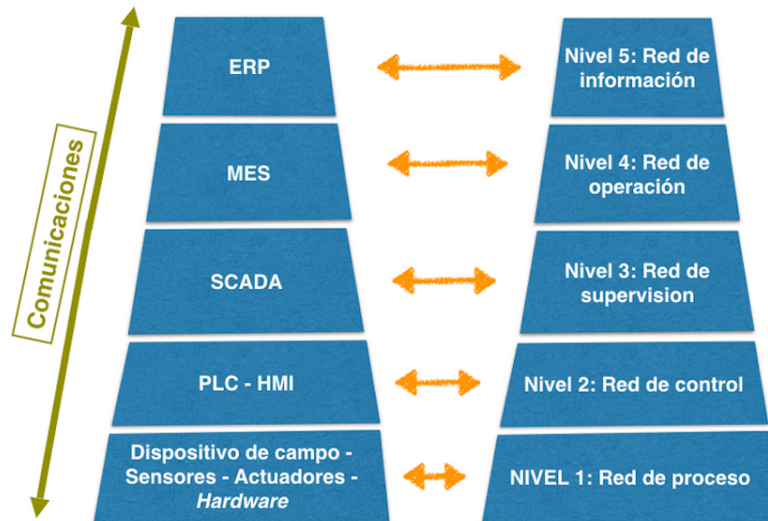
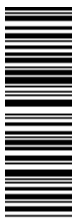


Figura 1: Pirámide de automatización.

Este trabajo se interesa particularmente por la implementación a escala de laboratorio de las capas de control avanzado y optimización en tiempo real a una planta piloto de un reactor químico. Debido al costo de materias primas y la complejidad inherente de almacenar, manipular y desechar sustancias químicas, se ha usado una planta en la que la reacción química está simulada pero toda la hidrodinámica del proceso se mantiene fiel a la realidad. Todos los elementos físicos del reactor están presentes y funcionan, pero la única sustancia involucrada es agua. Se alimenta una simulación de la reacción con medidas reales del proceso, y el calor que generaría la reacción se aplica mediante resistencias eléctricas. La implementación de estas herramientas servirá como demostración práctica de las capas superiores de la pirámide de automatización en una planta de laboratorio relativamente compleja y con dinámicas altamente no lineales. Aunque este estudio se limitará a simulaciones de la planta, se desarrollarán todas las interfaces de comunicación necesarias para la implementación final. Fue imposible obtener datos reales del proceso debido a la situación mundial en la que se enmarca el presente trabajo.

En lo que resta del capítulo 1 se detallarán los objetivos del trabajo así como también se dará un breve repaso a la teoría sobre la que se basa. En el capítulo 2 se presentará una descripción de la planta piloto usada y de los elementos que la conforman. Posteriormente, en el capítulo 3 se desarrollará un modelo matemático del proceso, incluyendo las etapas de estimación de parámetros y validación. En el capítulo 4 se documentará el desarrollo e implementación del controlador predictivo no lineal, mientras que, en el capítulo 5 se presentará el optimizador en tiempo real. El trabajo concluirá con la presentación y discusión de resultados en el capítulo 6 y las conclusiones en el capítulo 7. Todo el código desarrollado en el trabajo y demás herramientas se documentarán al final de la memoria en el capítulo de anexos.



1.1. Objeto

Este trabajo tiene como objeto diseñar, desarrollar e implementar capas superiores de la pirámide de control, control avanzado y optimización en tiempo real, a una plata piloto híbrida de laboratorio que opera en tiempo real. Este conjunto de herramientas servirá como demostración práctica de temas que son cada vez más relevantes en la industria de procesos. Aunque, como ya se ha señalado, dadas las circunstancias asociadas al estado de alarma no fue posible desarrollar todo el trabajo en la planta de laboratorio como era nuestra intención inicial, no obstante, se trabajará sobre una simulación de la planta conectada al SCADA, se desarrollarán todas las interfaces de comunicación y ventanas de configuración necesarias. Para alcanzar el objetivo final se han establecido cuatro etapas principales a ser:

- Puesta a punto de la instalación: Las capas inferiores de la pirámide de control deben funcionar adecuadamente previo a la implementación de capas superiores. Se reconfigurarán los lazos PID de control de temperatura y concentración de la planta a caudales de refrigerante y reactivos.
- Modelado, estimación de parámetros y validación: Para poder diseñar un controlador predictivo, se ha de disponer un modelo dinámico del proceso que permita hacer predicciones fiables. El modelo a desarrollar será uno basado en las leyes de conservación. La etapa de estimación de parámetros y validación se desarrollarán en el entorno de simulación EcosimPro ®.
- Diseño del controlador: Una vez validado el modelo, se procederá con el diseño del controlador. Se implementará en la herramienta EcosimPro ® y luego se embeberá en un servidor OPC-UA. De esta manera su implementación se asemejará a como sería la integración en un sistema de control distribuido. Por otra parte, será necesario desarrollar una interfaz en Python para comunicar el servidor OPC con el SCADA de la planta.
- Optimización: Antes de usar cualquier estrategia de optimización, todas las capas de regulación deben funcionar adecuadamente. Se comprobará el funcionamiento del controlador predictivo, y luego se implementará una estrategia de optimización en tiempo real para determinar las consignas del mismo maximizando el beneficio económico. Funcionará como una capa superior que comanda a los sistemas de control.

1.2. Control de procesos

El objetivo principal del control de procesos es mantener el proceso en unas condiciones de operación deseadas, de forma segura y económicamente aceptable, a la vez que se satisfacen las regulaciones ambientales y los requisitos de calidad [3]. Se basa fundamentalmente en comparar las medidas de las variables con los valores deseados y actuar en consecuencia. En cualquier sistema de control se pueden distinguir al menos los siguientes tres elementos básicos:

- Variables controladas: Lo que se quiere controlar. El valor deseado se conoce como set-point, consigna o referencia.
- Variables manipuladas: Lo que se ajusta para mantener las variables controladas en su set-point. Normalmente son posiciones de válvulas, o flujos.
- Perturbaciones: Lo que afecta a las variables controladas pero que no se puede manipular.





La adecuada especificación de cada uno de estos elementos es clave y para nada trivial en casos en los que hay varias variables presentes. Normalmente se hace basado en el conocimiento del proceso, los objetivos de control y, como no, la experiencia cuando no hay interacción entre ellas. Sin embargo, en los casos que si hay interacción es mejor usar la técnica de la matriz de ganancia relativa de Bristol para encontrar el mejor emparejamiento [3].

En esta sección se explicarán los principios de funcionamiento, las ventajas y desventajas de los controladores PID y de los controladores predictivos.

1.2.1. Control PID

El algoritmo de control Proporcional-Integral-Derivativo (PID) ha sido ampliamente exitoso en la industria de procesos desde los años 40 y sigue siendo hoy en día la estrategia de control más utilizada [4]. Se usa para sistemas en los que hay una entrada y una salida (SISO). Normalmente, las unidades de proceso tienen implementados varios lazos de control de este tipo de forma simultánea. El rendimiento de cada lazo se verá afectado evidentemente por las interacciones con los otros. Una forma de mejorar el rendimiento es usar técnicas de desacoplo.

En un controlador PID la acción de control se calcula de acuerdo a la ecuación 1. Donde K_c , T_i y T_d son los parámetros que deben sintonizarse en cada lazo de control. Existen multitud de métodos de sintonía como el de Ziegler-Nichols.

$$u(t) = K_c \left(E(t) + \frac{1}{T_i} \int_0^t E(\tau) d\tau + T_d \frac{dE(t)}{dt} \right) \quad (1)$$

Conviene conocer las características de cada uno de los modos:

- Proporcional: Proporciona un rápido ajuste de la variable manipulada pero, aunque reduce el error, no es capaz de garantizar el valor del set-point por si mismo. Puede causar inestabilidad si no se ajusta adecuadamente.
- Integral: Ajusta la variable manipulada más lentamente que el modo proporcional pero permite alcanzar exactamente el valor del set-point.
- Derivativo: No tiene influencia en el valor final del error pero provee una rápida respuesta ante la velocidad de cambio del mismo. Puede ser preferible configurarlo con la velocidad de cambio de la variable controlada. Además, puede causar variaciones de alta frecuencia en los elementos finales de control.

Con esta información, es posible deducir algunas de las ventajas del control PID. Es un concepto muy fácil de entender y no se requieren modelos matemáticos complicados del proceso. Son fáciles de implementar y no requieren demasiado esfuerzo. Además, suelen ser suficientes para la mayoría de necesidades de regulación de las plantas de proceso.

Por otra parte, las crecientes exigencias de optimización de costes, mejora de la calidad, productividad, seguridad, legislación ambiental, etc. requiere una mejora de los sistemas de control para poder cumplir las especificaciones. Los controladores PID no incorporan conocimiento del proceso y pueden no funcionar bien en lazos con dinámicas difíciles como retardos o fases no mínimas. Además, la interacción entre variables puede empeorar considerablemente el rendimiento de los sistemas de control.



1.2.2. Control predictivo

El control predictivo (MPC) intenta mejorar la calidad del control incorporando conocimiento del proceso, en forma de un modelo matemático del mismo, en la toma de decisiones. Suponga un proceso de varias entradas y varias salidas que se quiere controlar, satisfaciendo ciertas restricciones. El concepto de control predictivo se resume en el uso de un modelo dinámico y las medidas de los sensores para predecir los valores futuros de las variables controladas. Así, se pueden calcular simultáneamente valores adecuados para todas las variables manipuladas que permitan satisfacer el objetivo y las restricciones. Todas las posibles interacciones entre las variables serán consideradas de antemano por el modelo del proceso. El control predictivo ofrece cuatro principales ventajas:

1. El modelo del proceso captura la dinámica y las interacciones entre las variables manipuladas, controladas y perturbaciones.
2. Se pueden establecer restricciones en las variables manipuladas y controladas de forma sistemática.
3. El sistema de control se puede complementar con el cálculo óptimo de las consignas.
4. Predicciones precisas del modelo pueden advertir de posibles problemas o fallos.

Es importante destacar que el éxito de un controlador predictivo dependerá enormemente de la precisión del modelo. Predicciones imprecisas podrían incluso empeorar el proceso, en lugar de mejorarlo. Por ello la formulación del mismo debe incorporar acción integral para tener en cuenta y corregir las imprecisiones del modelo.

El concepto de MPC se entiende mejor con la ayuda de la figura 2, se presenta de forma simplificada para el caso de un sistema de una entrada y una salida. En el instante de muestreo actual, k , el controlador calcula un conjunto de M valores para la variable manipulada, $\{u(k+i-1), i=1, 2, \dots, M\}$. Luego del horizonte de control, M , las variables manipuladas se mantienen en un valor constante. Estas acciones de control se calculan de tal manera que el conjunto, P , de salidas predichas $\{\hat{y}(k+i), i=1, 2, \dots, P\}$ alcance el set-point de forma óptima. Aunque se calcule un conjunto de acciones de control, solo se aplica el primer valor calculado ya que en cada periodo de muestreo se repiten los cálculos. Esta estrategia de control se basa en minimizar una determinada función de coste como se muestran en la ecuación (2).

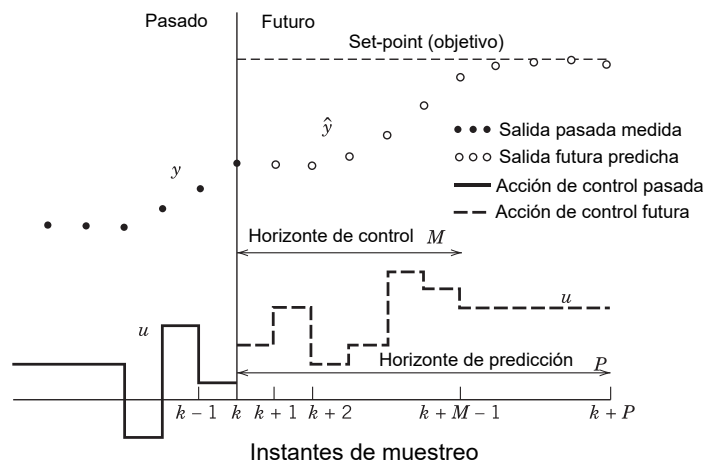
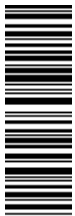


Figura 2: Concepto básico de un MPC [3].



$$\begin{aligned}
& \min_{u(k), \dots, u(k+M-1)} \sum_{j=1}^P [\hat{y}(t+j) - w(t+j)]^2 + \sum_{j=0}^{M-1} [\beta \Delta u(t+j)]^2 \\
& \text{s.a.} \quad \text{ecuaciones del modelo,} \\
& \quad y_{low} \leq \hat{y} \leq y_{upp}, \\
& \quad u_{low} \leq u \leq u_{upp}
\end{aligned} \tag{2}$$

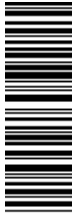
Donde $w(t+j)$ representa el set-point, que también podría ser una trayectoria, y β es un coeficiente que penaliza los cambios en la variable manipulada. En sistemas MIMO se añaden parámetros para dar importancia relativa a las diferentes variables. Encontrar valores adecuados para todos estos parámetros no es una tarea trivial y no existen métodos sencillos de sintonía como para los controladores PID. Métodos basados en técnicas de inteligencia artificial son muy comunes. Aunque el significado de cada parámetro es muy claro, cuando hay muchas variables hasta un usuario avanzado podría tener problemas para decidir cual es el mejor conjunto de valores para los parámetros de sintonía. Para aliviar un poco este problema, los fabricantes suelen incluir valores por defecto, los enmascaran en variables más sencillas o proveen métodos de sintonía automática.[5].

El corazón de cualquier controlador predictivo es por supuesto el modelo matemático. La mayoría de MPC comerciales se basan en modelos lineales, como los de respuesta salto o respuesta impulso. Sin embargo, solo son validos alrededor del punto sobre el que se hace la linealización y pueden quedar obsoletos rápidamente si hay algún cambio en el sistema. Por otra parte, los modelos de base fenomenológica pueden comprender condiciones de operación mucho más amplias a expensas de su complejidad, es decir, son no lineales. Se debe tener en cuenta que los modelos lineales dan lugar a óptimos globales del problema de optimización del controlador, contrario a los no lineales que solo pueden proporcionar óptimos locales. En la industria, prácticamente todos los MPC se basan en modelos del primer tipo, aunque es posible encontrar aplicaciones de los no lineales [5].

Como se puede ver en la ecuación (3), los MPC se formulan como problemas de optimización dinámica. En este trabajo se usará EcosimPro® para resolver el modelo de la planta y calcular la función de coste. Estos valores se enviarán a un optimizador que calculará las acciones de control. La estrategia de resolución se detallará en el capítulo 4.

$$\begin{aligned}
& \min_{u_j(t)} \sum_{k=1}^{N_k} \sum_{i=0}^N \gamma_k \left[\frac{y_k(t+i) - w_k(t+i)}{y_{k,upp} - y_{k,low}} \right]^2 + \sum_{j=1}^{N_j} \sum_{i=0}^{Nu} \beta_j \left[\frac{\Delta u_j(t+i)}{u_{j,upp} - u_{j,low}} \right]^2 \\
& \text{s.a.} \quad \text{ecuaciones del modelo,} \\
& \quad y_{k,low} \leq y_k \leq y_{k,upp} \quad k = 1, \dots, N_k, \\
& \quad u_{j,low} \leq u_j \leq u_{j,upp} \quad j = 1, \dots, N_j
\end{aligned} \tag{3}$$

Por otra parte, en la mayoría de las unidades de proceso, algunas de las variables de estados pueden no estar medidas. Tanto la temperatura como la presión son fáciles y baratas de medir pero, por ejemplo, la concentración suele ser una medida bastante costosa. Los analizadores encargados de hacerlo suelen ser caros y requerir constantes calibraciones. Por otra parte, los sensores casi siempre tienen ruido o pueden no reflejar con exactitud el valor real de la variable [6]. Determinar estimaciones adecuadas para las variables desconocidas es un campo desafiante pero ampliamente estudiado. Un gran ejemplo de estimador de



estados es el filtro de Kalman, usado en prácticamente todos los campos de la tecnología [7].

Una de las técnicas más eficaces para estimar estados de modelos no lineales son los estimadores de horizonte móvil (MHE). Su funcionamiento consiste en estimar los estados iniciales de las variables no medidas y el valor de las perturbaciones en el horizonte de estimación de forma que el proceso evolucione lo más cerca posible de las variables medidas. Con estos valores, simulando el modelo se pueden obtener los valores de las variables no medidas en el instante de tiempo actual. En esencia se formula como un problema de optimización dinámica, de manera idéntica a los problemas de estimación de parámetros con la diferencia de que se resuelven en tiempo real. Los estimadores también proveen de acción integral a los MPC contrarrestando las discrepancias que haya entre el modelo y el proceso. En el capítulo 4 se desarrollará en detalle un MHE para la planta piloto objeto de este trabajo.

1.3. Optimización en tiempo real

Como se mencionó en la sección anterior, el objetivo primordial del control de procesos es mantener ciertas condiciones de operación. La optimización en tiempo real (RTO) permite calcular de forma sistemática, y en periodos regulares de tiempo, las mejores condiciones de operación. Pudiendo ser estas las que lleven al máximo beneficio económico, maximicen la eficiencia en el uso de materias primas, minimicen los costos, etc.

Se formula como un problema de optimización en el que se incluye información económica de la planta. Por ejemplo, los costes de las materias primas, las utilidades, tasas, etc. Además, es preferible que este tipo de sistemas engloben a toda la planta de proceso pues las condiciones óptimas de operación de una unidad de proceso no necesariamente coinciden con el óptimo de toda la planta, es más, podrían incluso afectar negativamente el rendimiento general de la factoría [8]. Por otra parte, es preferible usar modelos de base fenomenológica a los que se obtienen a partir de datos ya que los nuevos set-point podrían alejarse de su rango de validez. Es usual que se resuelvan los modelos en estado estacionario pues el RTO debe proveer información del punto en el que debería mantenerse la operación de la planta. Algunos controladores predictivos del mercado, como el DMC de AspenTech, incluyen capas de RTO.

Los sistemas de optimización en tiempo real son habituales en grandes plantas de proceso como las refinerías de petróleo pero su implementación es muy interesante para otro tipo de industrias. La refinería de Petronor en el norte de España tiene implementado un sistema de este tipo para gestionar una red de hidrógeno de cuatro plantas productoras y catorce consumidoras que ha dado excelentes resultados [8].

1.4. Sistemas SCADA

Los sistemas SCADA son fundamentales en prácticamente cualquier actividad de la industria de procesos. Permiten monitorizar, supervisar, recolectar y procesar datos en tiempo real. Además, son el puente de interacción entre el proceso y los operarios. Su principal objetivo es asegurar el correcto funcionamiento del proceso, incluso generando alarmas o reconfigurando secciones de la planta en situaciones anómalas. Están conformados principalmente por sensores y actuadores, unidades remotas (PLCs), redes de comunicación y terminales de operación. También se caracterizan por ser sistemas modulares, por lo que los fallos pueden solo pueden afectar secciones individuales de la planta y no a todo el conjunto.



1.4.1. Estándar OPC

Por otra parte, una de las tareas más difíciles en cualquier entorno industrial es la integración de todos los sistemas y dispositivos. Antiguamente, cada dispositivo de campo venía con una interfaz propietaria del fabricante. Las aplicaciones de automatización debían tener drivers específicos para cada uno de estos. Así, se requería un driver para cada pareja de elementos que se debían comunicar. Esto generaba altos costes de instalación, poca flexibilidad y una necesidad elevada de mantenimiento y soporte. El estándar OLE for Process Control (OPC) nació para solucionar este problema de interoperabilidad pues establece una interfaz común entre dispositivos. Está basado en un modelo cliente-servidor de forma que los clientes demandan información y los servidores la proveen. La comunicación es varios a varios, es decir, un cliente puede establecer conexión con varios servidores y, a su vez, cada servidor puede establecer comunicación con varios servidores.

El estándar de comunicación OPC es muy relevante para el presente trabajo, pues además de las comunicaciones, la simulación de la reacción química, el controlador predictivo y el optimizador en tiempo real están envueltos en capas OPC. Así se logra facilitar la integración de todos los elementos en el SCADA a la vez que se usan herramientas industriales.

1.4.2. OPC Data Access (OPC-DA)

La especificación OPC-DA se centra en el acceso de datos en línea, es decir, la lectura y escritura entre una aplicación (SCADA) y un dispositivo de control de procesos (tarjetas de adquisición de datos, PLCs). Como pertenece a la primer revisión del estándar OPC, está basada en las tecnologías OLE/COM de Microsoft, por lo que solo son compatibles con sistemas operativos Windows. Los servidores OPC-DA se organizan jerárquicamente en objetos como sigue [9]:

- Servidor: Sirve de interlocutor con los clientes y como contenedor para las objetos grupo.
- Grupo: Mantiene información de algunas propiedades, como el tiempo de actualización o la banda muerta. Ofrece mecanismos para contener y organizar lógicamente los objetos item.
- item: Representan conexiones a fuentes de datos dentro del servidor. Puede ser, por ejemplo, medidas de sensores, señales de actuadores, parámetros de controladores, etc.

Aunque es un estándar antiguo, OPC-DA sigue siendo hoy en día el estándar de comunicación más usado en la industria. Su fiabilidad y gran adopción lo hacen una herramienta difícil de reemplazar.

La tarjeta de adquisición de datos (sección 2.3.3), la simulación de la reacción química (sección 2.4.1) y los controladores PID (sección 2.4.2) de la planta objeto de este trabajo están envueltos en servidores OPC-DA.

1.4.3. OPC Unified Architecture (OPC-UA)

Debido a que el estándar clásico de OPC estaba basado en tecnología propietaria de OPC, la fundación OPC desarrolló el nuevo estándar OPC-UA. Este se basa en tecnología web, por lo que se elimina la dependencia del protocolo COM de Microsoft. Además, se incorporaron múltiples mejoras como sistemas de autenticación, soporte para redundancia, etc. Todo esto manteniendo retrocompatibilidad con las especificaciones anteriores [10].





Al igual que en OPC-DA, OPC-UA tiene una organización jerárquica pero ahora es en carpetas y sub-carpetas. Lo que eran items ahora se conocen como nodos. Añadiendo características interesantes como que ahora hay métodos que pueden ser nodos.

Este estándar es de suma importancia para el presente trabajo pues todas las herramientas que requieran compiladores modernos de C++ no son compatibles con el estándar OPC-DA. Tanto el controlador predictivo como el optimizador en tiempo real están envueltos en capas OPC-UA.

1.5. Optimización dinámica

Es una práctica común en la ingeniería química modelar los procesos a partir de las leyes de conservación de materia, energía y momento. Desde el modelado de la evolución del nivel en un depósito hasta en el diseño de una torre de destilación, aparecen sistemas de ecuaciones que son combinaciones de ecuaciones diferenciales y algebraicas. Especial mención merecen los procesos por lotes, en los que no interesa el estado estacionario sino la trayectoria que siguen las diferentes variables a lo largo del tiempo. Con el creciente uso y aceptación de aplicaciones de simulaciones de procesos dinámicos, nace también la necesidad de optimizarlos y con ello el concepto de la optimización dinámica [11]. Este campo de la ingeniería estudia los problemas de optimización que tienen la particularidad de que algunas de sus restricciones contienen ecuaciones diferenciales y algunas variables o parámetros varían a lo largo del tiempo, o el espacio. Esta forma de optimización es de particular interés para el presente trabajo pues se aplicará en la estimación de parámetros del modelo del reactor y para calcular las acciones del controlador predictivo.

Las aplicaciones son muy variadas pero podrían dividirse en dos grandes categorías según como sea su ejecución: fuera de línea (off-line) o en línea (on-line). La distinción entre estas dos categorías es clara y las aplicaciones específicas son muy diversas. En la ejecución fuera de línea se pueden resolver problemas como el diseño de un reactor o una columna de separación, la estimación de parámetros desconocidos de un modelo a partir de datos experimentales o la optimización de los perfiles de operación de un proceso por lotes. Aunque en este tipo de problemas no se requiere que el problema se resuelva en simultaneo con el proceso que estudia, pueden necesitarse datos del mismo. Por otra parte, la ejecución en tiempo real si está ligada a un proceso y suele usarse para control predictivo, optimización en tiempo real o reconciliación de datos [11]. De esta manera, el problema de optimización se resuelve periódicamente a medida que le llegan nuevos datos del proceso. Más allá de la ingeniería de procesos, este tipo de optimización es recurrente en los campos de la economía, la industria aérea, militar y espacial [12].

De forma general, un problema de optimización dinámica puede formularse como aparece en la ecuación 4. Las variables de decisión pueden ser por ejemplo una trayectoria a lo largo del tiempo, un estado inicial, el tiempo para llegar a una referencia, etc. En esta formulación, $u(t)$ representa un conjunto de parámetros o variables que evolucionan a lo largo del tiempo, $x(t)$ y x_0 son las variables de estado y sus valores iniciales, t_f es el tiempo final de la simulación, $J(u)$ es la función de coste y $h(x, u, z)$ y $g(x, u, z)$ son restricciones de igualdad y desigualdad respectivamente.



$$\begin{aligned}
 \min_{u(t), x_0, t_f} \quad & J(u) = \int_{t_0}^{t_f} L(x, u) dt \\
 \text{s.a.} \quad & \frac{dx}{dt} = f(x, u, p), \\
 & x(t_0) = x_0, \\
 & h(x, u, z) = 0, \\
 & g(x, u, z) \leq 0
 \end{aligned} \tag{4}$$

Para resolver este tipo de problemas se deben integrar las ecuaciones diferenciales a lo largo del tiempo, siendo las soluciones analíticas extremadamente raras y solo aplicables para casos muy sencillos. Existen principalmente dos familias de estrategias para resolver problemas de optimización dinámica: métodos indirectos e indirectos. En los primeros, se formulan y resuelven las condiciones necesarias de optimalidad. Esto no siempre es posible y se suelen requerir soluciones analíticas de las ecuaciones diferenciales. Por otra parte, los métodos directos se basan en discretizar las variables que dependen del tiempo y resolverlas numéricamente [11]. A su vez los métodos directos se dividen en dos subfamilias, dependiendo de como se haga la discretización, el enfoque simultáneo y el enfoque secuencial como se muestra en la figura 3.

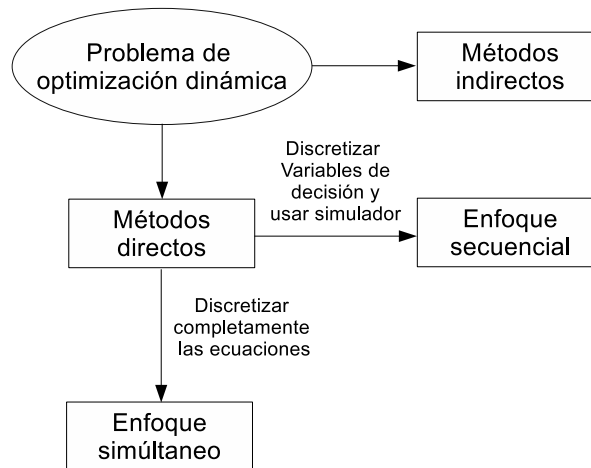
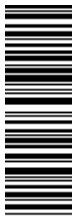


Figura 3: Estrategias de solución de problemas de optimización dinámica

1.5.1. Enfoque secuencial

El primer paso en el enfoque secuencial consiste en discretizar aquellas variables de decisión que varíen en el tiempo. Existen múltiples aproximaciones pero la más común es asignar valores constantes durante ciertos periodos de tiempo como se muestra en la figura 4. Una forma sencilla de implementar esta tipo de discretización es usar una función sigmoide como se muestra en la ecuación 5. Para lograr el mismo efecto de escalones de la figura 4, basta con asignar un valor alto al parámetro σ .

$$u(t) = u_1 + \sum_{i=2}^N \frac{u_i - u_{i-1}}{1 + e^{-\sigma(t-t_i)}} \tag{5}$$



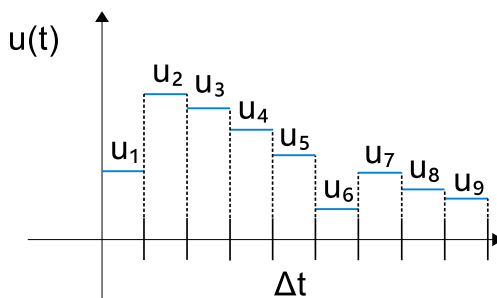


Figura 4: Discretización de variables de decisión.

Se usa un simulador dinámico para resolver las ecuaciones diferenciales y calcular tanto la función de coste como las restricciones. Luego, un optimizador NLP se encarga de suministrar nuevos valores para las variables de decisión. El simulador recalcula y el ciclo se repite hasta que se alcanza cierto criterio de parada, normalmente que no se consiga mejorar significativamente la función de coste. En la figura 5 se muestra un esquema de como funciona esta estrategia. Entornos de simulación dinámica como EcosimPro[®] pueden ser utilizados para resolver este tipo de problemas.

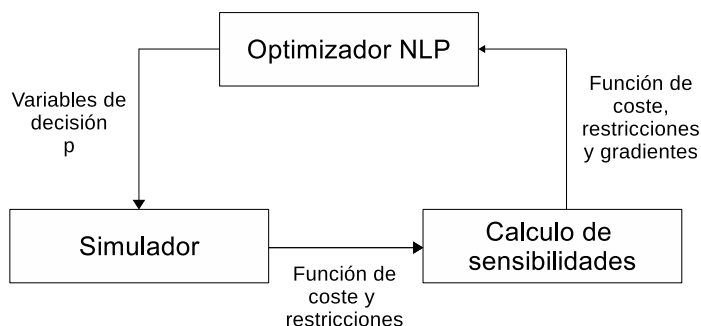


Figura 5: Enfoque secuencial de optimización dinámica.

Por su parte, los algoritmos NLP, como SNOPT, requieren los gradientes de las restricciones activas y la función de coste respecto a cada una de las variables de decisión. En caso de no ser suministrados, el optimizador los calcula con diferencias finitas, lo cuál no suele ser una buena aproximación [13]. Estos gradientes pueden calcularse reusando el Jacobiano que calculan los métodos de integración modernos como DASPK o IDAS [14].

Las principales desventajas de este enfoque son la imposibilidad de resolver problemas en los que hayan sistemas inestables y para tratar las restricciones de camino o calcular gradientes exactos si no se dispone de un algoritmo de cálculo de sensibilidades en el integrador. Técnicas como el “Multiple shooting”, donde se divide el horizonte de tiempo en varios intervalos y se agregan los estados iniciales en cada uno de ellos a las variables de decisión, permiten dar una trayectoria inicial a la solución y facilitar el manejo de sistemas inestables [11].

1.5.2. Enfoque simultáneo

Además de los parámetros que varían en el tiempo, también se discretizan las ecuaciones diferenciales, preferiblemente usando un método de colocación ortogonal [15]. Así, se transforma el problema original en un sistema que solo contiene ecuaciones algebraicas. Posteriormente, se resuelve usando un algoritmo NLP. Esto se puede implementar





en entornos como GAMS[®] o AMPL[®] los cuales incorporan paquetes de diferenciación automática para el cálculo de gradientes.

A diferencia del enfoque secuencial, con el enfoque simultáneo es posible trabajar con sistemas inestables y, además, las restricciones no presentan ninguna dificultad pues basta con añadir las ecuaciones respectivas a cada punto de discretización. Sin embargo, esto tiene como consecuencia que el número de ecuaciones y variables aumenta enormemente. Además, la discretización podría dar problemas pues normalmente, incluso con colocación ortogonal, es menos exacta que los métodos de integración modernos que implementan los entornos de simulación.

1.6. Optimización no lineal

La programación no lineal, NLP por sus siglas en inglés, es el proceso de resolver un problema de optimización en el cual alguna de las restricciones, o la función de coste en si misma, son no lineales. La mayoría de los procesos son no lineales por su propia naturaleza, de hecho, los comportamientos completamente lineales son una rareza [1]. En esta sección se dará una breve introducción sobre como se pueden abordar este tipo de problemas de optimización.

Sea el problema de optimización mostrado en la ecuación (6), donde las ecuaciones $h(x)$ y $g(x)$ son restricciones de igualdad y desigualdad respectivamente. Estas pueden estar asociadas por ejemplo a límites físicos como que la apertura de una válvula no pueda superar el 100 %, a límites de operación como que la temperatura no pueda superar cierto valor, etc.

$$\begin{aligned} \min_x \quad & J(x) \\ \text{s.a.} \quad & h(x) = 0, \\ & g(x) \leq 0 \end{aligned} \tag{6}$$

Los multiplicadores de Lagrange proveen las condiciones necesarias que el óptimo de un problema con restricciones de igualdad debe cumplir. Las condiciones de optimalidad necesarias de primer orden de los problemas con restricciones de igualdad establecen que la solución (x^*, λ^*) del lagrangiano debe cumplir:

$$\begin{aligned} \nabla J(x^*) + \lambda^* \nabla h(x^*) &= 0 \\ h(x^*) &= 0 \end{aligned} \tag{7}$$

Sin embargo, lo contrario no es cierto. Si se cumple el criterio (7) no significa que haya un óptimo. Por otra parte, las condiciones Karush-Kuhn-Tucker (KKT) amplían el concepto de multiplicadores de Lagrange para establecer condiciones de optimalidad en problemas con restricciones de desigualdad. Lo que se hace es asignar un multiplicador a $g(x)$ pero estableciendo que $\mu g(x)$ sea igual a cero y que μ no sea negativo. Y así, las condiciones de optimalidad de primer orden KKT para problemas de optimización no lineales son:

$$\nabla J(x^*) + \lambda^* \nabla h(x^*) + \mu^* g(x^*) = 0$$



$$\begin{aligned}
h(x^*) &= 0 \\
g(x^*) &\leq 0 \\
\mu^* g(x^*) &= 0 \\
\mu^* &\geq 0
\end{aligned} \tag{8}$$

Otra forma de abordar las restricciones de desigualdad es agregando variables "slack." de relajación. Las cuales se añaden al vector de decisión como se muestra en (9).

$$\begin{aligned}
\min_{x, \lambda, \mu, \epsilon} \quad & L(x, \lambda, \mu, \epsilon) = J(x) + \lambda h(x) + \mu(g(x) + \epsilon) \\
\text{s.a.} \quad & \epsilon \geq 0
\end{aligned} \tag{9}$$

Resolviendo el conjunto de ecuaciones (8) se puede hallar un posible óptimo del problema general (6). Es importante resaltar el hecho que se requieren los gradientes de la función de coste y las restricciones respecto a cada variable de decisión. La forma más intuitiva de calcularlos sería derivando simbólicamente las expresiones originales. Aunque parece sencillo, en problemas de gran magnitud puede ser complicado, e imposible en aquellos que hayan discontinuidades. Además, las expresiones resultantes son de considerable magnitud y, por tanto, su evaluación es muy lenta. Otra forma de calcularlos es mediante diferencias finitas pero la precisión no siempre es buena y en caso de señales ruidosas da problemas. Por último, el método más eficiente y preciso de todos es la diferenciación automática aunque no todos los entornos de optimización lo incluyan.

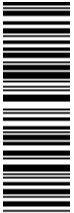
1.6.1. Programación cuadrática

Mención especial merecen los casos de programación cuadrática (QP), problemas de optimización no lineales en los que la función de coste es cuadrática como se ve en (10). Este tipo de formulaciones son muy comunes y además se suelen utilizar en algoritmos NLP como SNOPT [13].

$$\begin{aligned}
\min_x \quad & J(x) = c^\top x + \frac{1}{2} x^\top Q x \\
\text{s.a.} \quad & Ax = b, \\
& x \geq 0
\end{aligned} \tag{10}$$

Si la matriz Q es positiva semi-definida, la función de coste $J(x)$ es convexa. La región factible también es convexa pues las restricciones son todas lineales. Por tanto, el problema cuadrático (10) es convexo y cualquier solución local también será global [13]. De esta forma, la solución que cumpla las condiciones de KKT (11) será un óptimo global. Por otra parte, los problemas QP tienen la particularidad de que requieren pocas iteraciones para converger.

$$\begin{aligned}
c + Qx + A^\top \lambda - \mu &= 0 \\
Ax - b &= 0 \\
x &\geq 0
\end{aligned}$$

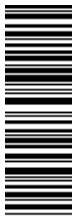


$$\begin{aligned}\mu &\geq 0 \\ \mu^\top x &= 0\end{aligned}\tag{11}$$

Prácticamente todos los algoritmos NLP de uso general comerciales incorporan paquetes específicos para resolver el sistemas de ecuaciones (11). Por ejemplo, SNOPT incorpora un paquete llamado SQOPT dedicado a resolver problemas QP mediante un algoritmo de conjuntos activos [13].

1.6.2. Programación cuadrática secuencial

Los métodos de programación cuadrática secuencial, o sucesiva, (SQP) resuelven una secuencia de aproximaciones de problemas no lineales a problemas cuadráticos. Aprovechando así las características particulares de los problemas QP y los algoritmos eficientes que existen para ellos [1]. La función de coste es una aproximación cuadrática del Lagrangiano del problema original, y las restricciones son igualmente linealizaciones de las originales. SNOPT particularmente se basa en este tipo de formulación para resolver problemas de optimización no lineales. Explicar en detalle como funciona el algoritmo está fuera del alcance de este trabajo pero de forma muy resumida lo que se hace es formular un Lagrangiano de la función de coste original y obtener una dirección de búsqueda resolviendo una aproximación cuadrática del mismo, con las restricciones linealizadas. Posteriormente, se calcula la longitud del paso en esa dirección con una función de mérito. El procedimiento se repite hasta que se alcancen los criterios de parada. El detalle de como funciona SNOPT se puede ver en [13]. Este algoritmo será el que se usará para resolver los problemas de optimización que se planteen en la etapa de estimación de parámetros y en la formulación del controlador predictivo.



Capítulo 2

Descripción de la planta

La planta piloto que se usó para desarrollar este trabajo pertenece al Laboratorio de Control de Procesos del Departamento de Ingeniería de Sistemas y Automática (DISA) de la Universidad de Valladolid. Su principal característica es que aunque tiene todos los elementos de un reactor químico, la reacción está simulada y la única sustancia involucrada es agua. Una simulación de la reacción química se alimenta con medidas reales del proceso para calcular el calor que generaría la reacción, que luego se aplica mediante resistencias eléctricas. En este capítulo se describirán los elementos físicos que la conforman, las comunicaciones necesarias para su funcionamiento y la forma en la que está implementada la simulación de la reacción. Es importante resaltar que esta planta es el resultado de varios trabajos de investigación y, también, usa varias herramientas desarrolladas dentro por el DISA. Aunque el desarrollo e implementación del controlador predictivo y el optimizador en tiempo real se limitará a una simulación completa de la planta, todas las interfaces de comunicación requeridas con el proceso real fueron tenidas en cuenta de tal forma que la transición en un futuro sea sencilla.

En las figuras 6 y 7 se muestran un diagrama P&ID de la planta y un esquema general de la misma. Mientras que una foto del reactor se muestra en la figura 8

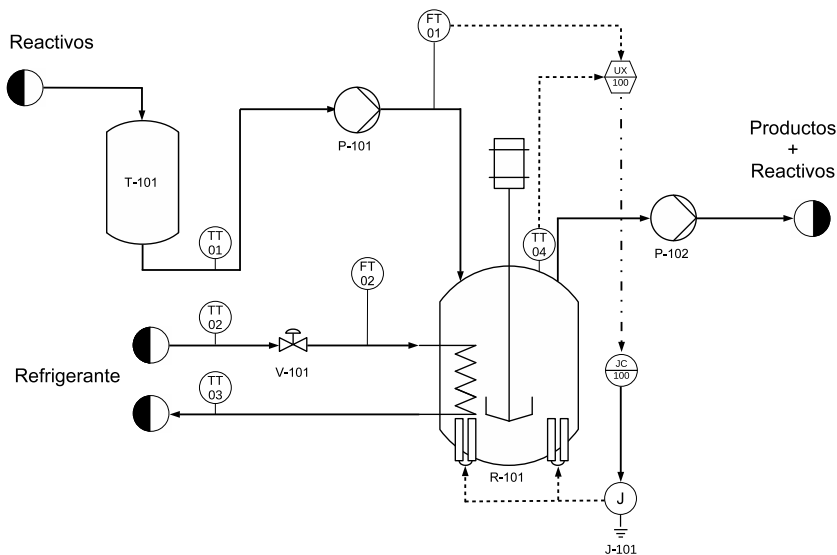
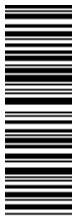


Figura 6: Diagrama de instrumentación de la planta.



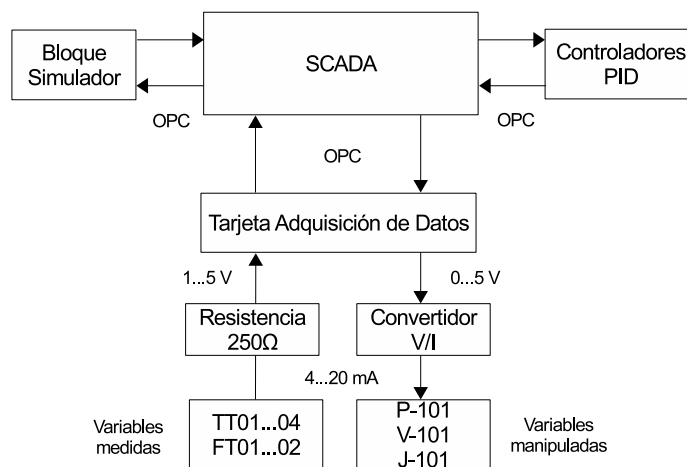


Figura 7: Esquema general de la planta.

2.1. Plantas piloto híbridas

Las ventajas teóricas de técnicas como el control avanzado, la detección de fallos, la reconciliación de datos, etc. deben ser probadas en plantas reales previo a su implementación final. Sin embargo, tales plantas tienen una complejidad inherente que hace que la experimentación pueda resultar extremadamente cara. El riesgo de perder producto siempre está presente y los cambios admisibles en las variables manipuladas podrían ser tan pequeños como para obtener información aportante. En el otro extremo, están las herramientas de simulación que requieren modelos matemáticos, que no siempre están disponibles. Y de estarlo, es frecuente que se requieran simplificaciones significativas que no representan adecuadamente las plantas reales.

Las plantas piloto tienen mucha similitud con las plantas reales pero suelen ser más sencillas y tener menos instrumentación. A pesar de ser simplificaciones de las reales, las plantas piloto involucran materias primas y productos que podrían llegar a ser caros y peligrosos. Además, requieren de mucha preparación y mantenimiento. En este punto aparece el concepto de plantas piloto híbridas, plantas en las que una parte del proceso es simulada mientras que algunas características, como la hidrodinámica, se mantienen fieles a realidad [16]. Este enfoque solo es posible si las propiedades de los fluidos no varían considerablemente con la concentración de solutos. Los fluidos se cambian por agua u otros que tengan propiedades similares a los del proceso real.

En el caso de un reactor químico como el objeto de este trabajo, la reacción se simula en tiempo real para calcular variables de salida virtuales como la concentración de las especies, a partir de variables de entrada reales como la temperatura del reactor y los caudales de reactivos y refrigerante.

No solo son útiles las plantas piloto híbridas en investigación, sino que también lo son en la enseñanza. Su implementación reduce significativamente la inversión que deben hacer las universidades para que los estudiantes tengan acceso a procesos con dinámicas relativamente complejas. Y, además, reducen el riesgo inherente a sustancias químicas, al ser el agua el único fluido involucrado.





Figura 8: Foto del reactor.

2.2. Diseño y construcción

La planta fue diseñada en un principio por Sergio Sanz en su trabajo de investigación «Diseño de planta piloto híbrida y control de la misma» [17]. En esta etapa, se seleccionaron tres bombas, una válvula de control y dos caudalímetros. En su trabajo se pueden ver las ofertas económicas de diferentes proveedores así como también las fichas técnicas de cada uno de los equipos. Los elementos, aunque fueron ordenados y comprados, no fueron integrados.

Posteriormente y previo a la construcción de la planta, Juan Manuel Gordo en su TFG «Control de una planta piloto de intercambio de calor» estudió por medio de simulaciones la controlabilidad de la planta y la pertinencia de los elementos considerados en el diseño inicial de Sergio Sanz [18]. También se simularon diferentes estrategias de control, todas ellas basadas en controladores PID. Se demostró que los equipos seleccionados eran adecuados a pesar de la limitación de potencia eléctrica de 9kW de la red eléctrica del laboratorio.

María Marcos en su TFM «Implementación de una planta piloto híbrida, desarrollo de su sistema de control y estudio de su operación óptima» integró todos los elementos que conformarían la planta e implementó estrategias de control digital [19]. Además, desarrolló una aplicación SCADA en el software InTouch[®] que permite manipular cada uno de los elementos del sistema y controlar la planta. Su trabajo sirvió como punto de partida para la presente investigación. Se han introducido una serie de cambios tanto en el software como en la instrumentación, el más significativo de los cuales fue la implementación de las resistencias eléctricas directamente en el depósito y no en un tanque aparte. Esto permite aproximarse más a la dinámica de un reactor químico.



2.3. Elementos físicos

El elemento principal de la planta piloto es el depósito R-101 que hace la función de reactor CSTR. Los reactivos se almacenan en el depósito T-101 y se alimentan al reactor mediante la bomba dosificadora de velocidad variable P-101. El refrigerante va por un serpentín instalado en el interior del reactor y su flujo se controla manipulando la apertura de la válvula V-101. La toma de la bomba de productos P-102 es fija para asegurar que el nivel en el reactor es constante. El reactor tiene instalado en su interior dos resistencias eléctricas que son alimentadas por el amplificador J-101. La comunicación de las señales entre el ordenador y los dispositivos de campo está gestionada por una tarjeta de adquisición de datos.

La configuración de la planta se completa con un agitador de velocidad variable, cuatro transmisores de temperatura (TT01-04) y dos caudalímetros magnéticos (FT01-02).

2.3.1. Equipos

La planta está conformada de los siguientes equipos:

- P-101: Bomba peristáltica Masterflex L/S 6-600, con un caudal máximo de 1.5 L/min a 600rpm.
- P-102: Bomba de membrana Membos LB150. Velocidad fija y temperatura máxima de operación de 60°C.
- R-101: Depósito en acero inoxidable AISI 316 fabricado a medida durante el desarrollo de este proyecto.
- V-101: Válvula neumática de asiento normalmente abierta Fisher NPS 1 GX. Tiene un controlador de posición Fieldve DVC200 que permite ajustar el porcentaje de apertura.
- J-101: Unidad de potencia trifásica Desin Instruments UPTF 380. Alimenta a las dos resistencias trifásicas de 3 kW instaladas en el fondo del reactor R-101.

2.3.2. Instrumentación

Para medir en tiempo real las variables importantes del proceso, la planta cuenta con los siguientes instrumentos:

- Dos caudalímetros electromagnéticos. Para los reactivos un Kobold MIK L443 con un rango de medición de 0.16 a 3.2 L/min. Para el refrigerante un Emerson Rosemount 8732 con un rango de 0.83 a 25.02 L/min.
- Cuatro sondas de temperatura del tipo PT100. Estas tienen un rango de medición de 0 a 100°C.

Todos los instrumentos de la planta son analógicos por lo que se debe transformar su señal. En el anexo A.2 se resumen las ecuaciones usadas para tal fin.

2.3.3. Tarjeta de adquisición de datos

Para recoger todas las señales de los instrumentos y para enviar las señales de las acciones de control, se usa una tarjeta de adquisición de datos MCC USB-1208HS-4A0. Esta lee y escribe señales en un rango de 0-5 V por lo que se debe hacer una conversión adicional. La señal de los instrumentos de medición se convierte de 4-20 mA a 1-5 V agregando una resistencia de 250 Ω a la conexión de los hilos de los mismos con la tarjeta. Por otra parte,



se usa un convertidor V/I FEMA ISC-P para convertir las señales de salida de 0-5 V a 4-20 mA. En la figura 9 se puede ver una foto de instalación de estos elementos. La tarjeta de adquisición de datos se accede desde el ordenador mediante un servidor OPC desarrollado por Marcos Pérez en su trabajo de fin de grado [20].

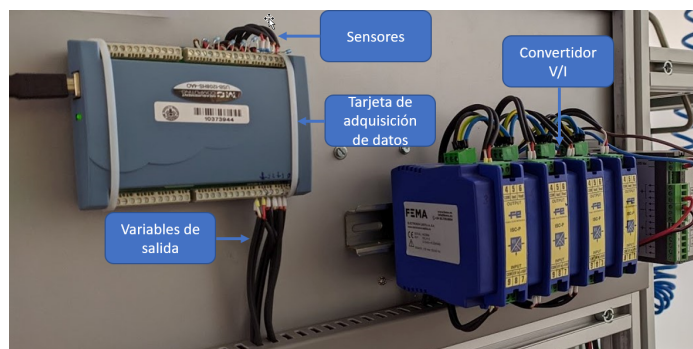


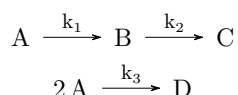
Figura 9: Tarjeta de adquisición de datos y convertidor de señal

2.4. Elementos software

Todos los elementos físicos de la planta deben estar acompañados de software que permiten recoger su información y gobernarlos en el caso de los actuadores. Hay principalmente tres componentes software que son indispensables para el comportamiento de la planta: Un servidor OPC que contiene la simulación de la reacción química, servidores OPC que contienen controladores PID digitales y un sistema SCADA.

2.4.1. Simulación de la reacción química

Originalmente, la planta disponía de un bloque de simulación en el que estaba programada una única reacción de primer orden. Se decidió programar las reacciones de Van de Vusse, conocida por tener dinámicas altamente no lineales [21]. Además, pueden estudiarse los efectos de diferentes estrategias de control en la selectividad y otros aspectos económicos como el coste de separación de las especies.



Suponiendo un reactor CSTR perfectamente agitado, la variación de la concentración de cada especie es igual a lo que entra menos lo que sale del sistema más lo que se genera menos lo que se consume. La especie A se consume a través de las reacciones 1 y 3, mientras que B se genera a través de la reacción 1 y consume en 2. Las especies C y D solo se generan, a través de las reacciones 2 y 3 respectivamente. Esto se resume en las ecuaciones (12)-(15).

$$V \frac{dC_A}{dt} = q(C_{A0} - C_A) - r_1 - 2r_3 \quad (12)$$

$$V \frac{dC_B}{dt} = -qC_B + r_1 - r_2 \quad (13)$$

$$V \frac{dC_C}{dt} = -qC_C + r_2 \quad (14)$$



$$V \frac{dC_D}{dt} = -qC_D + r_3 \quad (15)$$

La velocidad de cada una de las reacciones se formula como fue establecido originalmente por Van de Vusse [21] y se presenta en las ecuaciones (16)-(18). Los valores de los parámetros cinéticos no están establecidos en la literatura por lo que hay bastante libertad para seleccionarlos dependiendo del comportamiento que se desee estudiar con las reacciones.

$$r_1 = k_{10} e^{-\frac{E_1}{RT}} C_A V \quad (16)$$

$$r_2 = k_{20} e^{-\frac{E_2}{RT}} C_B V \quad (17)$$

$$r_3 = k_{30} e^{-\frac{E_3}{RT}} C_A^2 V \quad (18)$$

Por último, el calor desprendido por las reacciones se calcula como la sumatoria del calor aportado por cada reacción individualmente. De nuevo, el valor de los calores de reacción se puede elegir libremente.

$$Q_{rxn} = -V(-r_1 \Delta H_{rxn,1} - r_2 \Delta H_{rxn,2} - r_3 \Delta H_{rxn,3}) \quad (19)$$

Las ecuaciones (12)-(19) se programaron en el entorno de simulación EcosimPro, el código se puede encontrar en el anexo A.3. Luego de compilar la simulación, esta se envuelve en una capa OPC-DA con ayuda del propio software. Así, es posible resolver las ecuaciones en tiempo real utilizando datos medidos del proceso, temperaturas y caudales. De modo que permiten calcular las concentraciones de los productos y el calor desprendido si tuvieran lugar realmente las reacciones. Algunos de estos valores de las concentraciones se usan como medidas en tiempo real y el calor desprendido calculado se aplica realmente al proceso. La potencia es convertida por el SCADA en una señal en voltios que es enviada luego al amplificador.

2.4.2. Controladores PID

La planta tiene implementados controladores PID digitales accesibles como servidores OPC, también desarrollados en EcosimPro, denominados PID ISA [22]. Para el desarrollo del presente trabajo, se reconfiguraron para que controlaran directamente los flujos de reactivos y refrigerante pues originalmente controlaban la temperatura y la concentración. En la figura 10 se muestra la interfaz gráfica de PID ISA.

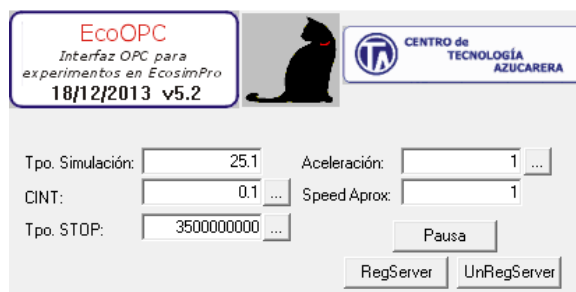


Figura 10: Interfaz del controlador digital PID ISA.



2.4.3. SCADA

El sistema SCADA con el que cuenta la planta permite visualizar la información de todos los sensores así como manipular los diferentes actuadores [19]. Además, es posible gestionar e intervenir los controladores PID y modificar los parámetros de la simulación de la reacción química. Por otra parte, gestiona todas las comunicaciones entre los diferentes servidores OPC-DA de una forma transparente al usuario.

Teniendo en cuenta las diferentes modificaciones realizadas a la planta en el desarrollo de este trabajo, se debió actualizar el SCADA original. De forma resumida, se eliminó todo lo referente al tanque calefactor, se reconfiguraron los controladores PID, se retocó el diagrama del proceso y se añadió una ventana para configurar el controlador predictivo. En la figura 11 se muestra como luce actualmente la ventana principal de la interfaz HMI del SCADA. En un diagrama de flujo del proceso se representan las medidas medidas de cada uno de los sensores. Además, se pueden manipular la bomba de reactivos y la válvula de refrigerante. También es posible encender o apagar los controladores de caudal y la simulación de la reacción química. Con esta última desactivada, el sistema se comporta simplemente como un tanque calefactado. El trabajo de María Marcos contiene una descripción detalla del sistema [19].

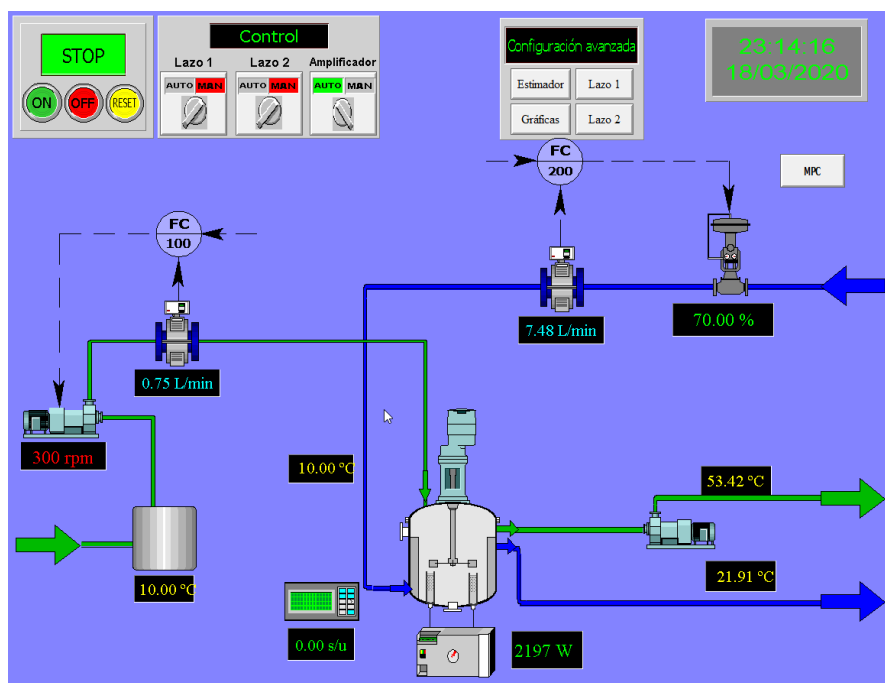


Figura 11: Interfaz HMI del SCADA.

De particular interés es la ventana de configuración del bloque simulador como se muestra en la figura 12. Se pueden modificar individualmente los parámetros cinéticos del conjunto de reacciones químicas simuladas, así como cambiar entre una reacción sencilla y la reacción de Van de Vusse.

2.4.4. Registro y almacenamiento de datos

El sistema SCADA por si mismo genera un servidor OPC que contiene las variables de los otros servidores con los que establece comunicación. Esto es muy útil pues permite



PARÁMETROS PROPIOS DE LA REACCIÓN A SIMULAR		23:31:02 18/03/2020
Concentración en la entrada - Ca0 (mol/L)		5.00
Modo de operación (0 ó 1)		1
Reacción 1	Energía de activación - Ea (kJ/mol)	81.09
	Entalpía molar de reacción - DH (kJ/mol)	04.20
	Constante preexponencial - K (1/min)	9.87
Reacción 2	Energía de activación - Ea (kJ/mol)	81.09
	Entalpía molar de reacción - DH (kJ/mol)	-11.00
	Constante preexponencial - K (1/min)	8.56
Reacción 3	Energía de activación - Ea (kJ/mol)	71.13
	Entalpía molar de reacción - DH (kJ/mol)	-41.85
	Constante preexponencial - K (1/min)	7.53
		PROCESO LAZO 1 LAZO 2 Operación = 0 A -> B Operación = 1 A -> B -> C 2A -> D

Figura 12: Ventana de configuración del bloque simulador.

recoger en un solo lugar tanto los datos de los sensores como las variables de la simulación. Finalmente, los datos se almacenan estableciendo una conexión con este servidor desde el software ReadOPC v1.6. El fichero de datos resultante se procesa con un script de Python, desarrollado para este proyecto, que lo convierte a un archivo ".csv". El código fuente se puede ver en el anexo A.5.

2.5. Simulación de la planta a través de OPC

Con el fin de poder probar diferentes algoritmos y estrategias sin necesidad de poner en marcha la planta, se preparó una simulación que engaña al SCADA enviándole las señales que recibiría de la tarjeta de adquisición de datos. El esquema que se presentó en la figura 7 se modifica por el de la figura 13. La nueva simulación, embebida en una capa OPC, reemplaza al proceso real y a la tarjeta de adquisición de datos. De hecho, la simulación usa las ecuaciones de conversión para enviar las variables en valores de voltios.

Para representar adecuadamente el comportamiento de la planta real, esta nueva simulación solo contiene los balances de energía del reactor y el serpentín, la reacción se sigue simulando de la misma manera en que se haría con el proceso real. Es decir, simula la parte real de la planta. El código se encuentra en el anexo A.4.

Este enfoque también tiene desventajas. Aunque es posible agregar perturbaciones modificando la temperatura de entrada de los reactivos y el refrigerante, es prácticamente imposible hacerlo de la misma manera en la que sucede en la realidad. Además, los modelos nunca son cien por ciento exactos. Pueden existir diferencias más o menos significativas dependiendo del ajuste que se haga con datos experimentales.



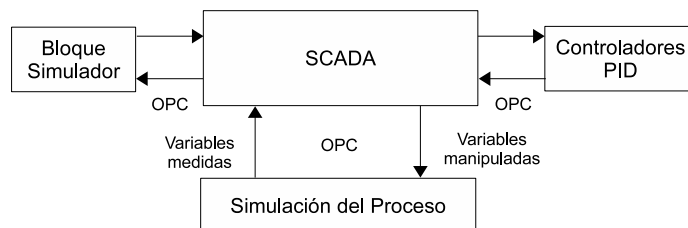


Figura 13: Esquema general de la planta en simulación.





Capítulo 3

Construcción de un modelo

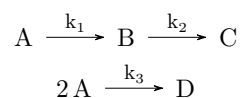
Se requiere un modelo matemático de la planta que describa su comportamiento dinámico. Debe ser útil para predecir el comportamiento de cada una de las variables del proceso ante cambios en el flujo y temperatura de reactivos y refrigerante. Además, debe ser válido en prácticamente todo el rango de operación de la planta.

Se decidió construir un modelo de base fenomenológica. Se supondrá que las propiedades físicas del agua, tanto del lado del reactor como del serpentín, permanecen constantes y no cambian con la temperatura. De la misma forma, se supone que el volumen del reactor es constante y que está perfectamente agitado.

Luego de ser formulado, se ajustará el modelo estimando los parámetros desconocidos a partir de datos experimentales del proceso. Para esto será necesario desarrollar y ejecutar un experimento en el que se manipulen los caudales de reactivos y refrigerante. Por último, se validará el modelo con un conjunto de datos diferentes a los usados para la estimación.

3.1. Formulación matemática

Se modelará la planta como un reactor de tanque continuamente agitado. Además, se supondrá que las reacciones químicas son conocidas, pero no sus parámetros. En caso de que las reacciones fueran desconocidas, se debería usar otro enfoque. Por ejemplo, estimar directamente el valor de la velocidad de la reacción a lo largo del tiempo y luego ajustar alguna ecuación a la misma. En todo caso, la reacción de van der Vusse se describe con las siguientes ecuaciones:



3.1.1. Balances de materia

Se usarán las mismas ecuaciones que ya están programadas en el bloque simulador, aunque podría usarse cualquier otra metodología adecuada. El balance de materia de cada especie consiste en calcular el cambio de la concentración como la cantidad que entra menos la que sale, más lo que se genera y menos lo que se consume. La especie *A* se consume mediante las reacciones 2 y 3. Mientras que *B* se genera a través de la reacción 1 pero se consume en la 2. A su vez, las especies *C* y *D* se generan con las ecuaciones 2 y 3 respectivamente. Los balances de cada una de las ecuaciones se ven en las ecuaciones (20)-(23).



$$V \frac{dC_A}{dt} = q(C_{A0} - C_A) - r_1 - 2r_3 \quad (20)$$

$$V \frac{dC_B}{dt} = -qC_B + r_1 - r_2 \quad (21)$$

$$V \frac{dC_C}{dt} = -qC_C + r_2 \quad (22)$$

$$V \frac{dC_D}{dt} = -qC_D + r_3 \quad (23)$$

3.1.2. Balances de energía

Las ecuaciones de los balances de energías representan la parte del proceso que no está siendo simulada. La temperatura del reactor se ha supuesto homogénea, y se modela como tal. Se incluye el término de generación por la reacción química y el de transferencia de calor con el serpentín. La temperatura del serpentín también se modela como si fuese homogénea pues el flujo de refrigerante es lo suficientemente grande como para que los gradientes no sean significativos. Los balances de energía del reactor y del serpentín se muestran en las ecuaciones (24) y (25).

$$\rho C_p V \frac{dT}{dt} = q\rho C_p (T_0 - T) - Q + Q_{rxn} \quad (24)$$

$$\rho C_p V_c \frac{dT_c}{dt} = q_c \rho C_p (T_{c0} - T_c) + Q \quad (25)$$

3.1.3. Cinética de la reacción

Como se ha supuesto que las reacciones químicas son conocidas, también lo es la estructura de la cinética. Se toman para el modelo las mismas ecuaciones de la ley de Arrhenius programadas en el bloque simulador como se muestra en (26)-(29). Sin embargo, los factores pre-exponenciales, las energías de activación y las entalpías de reacción se suponen desconocidos.

$$r_1 = k_{10} e^{-\frac{E_1}{RT}} C_A V \quad (26)$$

$$r_2 = k_{20} e^{-\frac{E_2}{RT}} C_B V \quad (27)$$

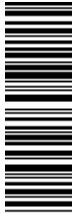
$$r_3 = k_{30} e^{-\frac{E_3}{RT}} C_A^2 V \quad (28)$$

$$Q_{rxn} = -V \sum_{i=1}^3 r_i \Delta H_{rxn,i} \quad (29)$$

3.1.4. Transferencia de calor

La transferencia de calor entre el reactor y el serpentín se modela usando un coeficiente de transferencia de calor multiplicado por el gradiente de temperatura como se ve en la ecuación (30).

$$Q = UA(T - T_c) \quad (30)$$



Como es sabido, el coeficiente global de transferencia de calor se calcula como la resistencia térmica total por convección a ambos lados de la interfaz de transferencia y por la conducción a través de la pared. Si se desprecian efectos de ensuciamiento, el coeficiente de transferencia tiene la forma:

$$\frac{1}{U \cdot A} = \frac{1}{h_{reactor} \cdot A} + \frac{L}{k \cdot A} + \frac{1}{h_{serpentin} \cdot A} \quad (31)$$

Donde U representa el coeficiente global de transferencia de calor, A el área del serpentín, $h_{reactor}$ y $h_{serpentin}$ los coeficientes de transferencia por convección en el lado del reactor y el serpentín respectivamente, L el espesor de la pared del serpentín y k la conductividad del serpentín.

Los coeficientes de convección pueden ser calculados con correlaciones empíricas disponibles en la literatura como sigue [23, 24]:

$$h_{reactor} = 0.87 \left(\frac{L_{agitador}^2 N \rho}{\mu} \right)^{2/3} \left(\frac{C_p \mu}{k_{agua}} \right)^{1/3} \quad (32)$$

$$h_{serpentin} = 0.023 \frac{k_{agua}}{L_{serpentin}} \left(\frac{\rho v D}{\mu} \right)^{4/5} \left(\frac{C_p \mu}{k_{agua}} \right)^{0.3} \quad (33)$$

Donde $L_{agitador}$ y N representan la longitud y la velocidad del agitador respectivamente, ρ , μ , C_p , k_{agua} son la densidad, la viscosidad, la capacidad calorífica y la conductividad térmica del agua. Por otra parte, D es el diámetro interior del serpentín y v la velocidad del refrigerante.

Sería necesario conocer cada uno de los parámetros que aparecen en las ecuaciones (32) y (33) para poder calcular el coeficiente de transferencia. Cómo la mayoría de ellos son desconocidos, es más conveniente estudiar la dependencia con cada una de las variables. La longitud y la velocidad del agitador, la densidad, la conductividad térmica y la capacidad calorífica del agua, el diámetro y la longitud del serpentín permanecen aproximadamente constantes durante los experimentos. Las únicas variables que cambian en gran medida son la velocidad del agua en el serpentín y la viscosidad de la misma. De 20°C a 60°C, la viscosidad del agua disminuye alrededor de un 50%. Mientras que en un experimento, el caudal de agua por el serpentín puede variar de 3 a 15 L/min. Por tanto, se considera mucho más significativo el efecto del cambio de la velocidad.

Si se agrupan todos los términos asumidos como constantes en uno solo, incluyendo los factores de conversión, se puede definir la ecuación (34) para calcular el coeficiente global de transferencia de calor. El parámetro α deberá ajustarse con datos experimentales para que se puedan obtener estimaciones que representen adecuadamente la realidad. A partir de los datos generados por el pre-experimento presentado en el anexo A.1, se toma $1.22 \text{ kJ}/\text{min}^{0.2}/L^{0.8}/K$ como valor inicial para este parámetro.

$$UA = \alpha q_c^{4/5} \quad (34)$$

Aunque es una simplificación, y no refleja el cambio de las propiedades con la temperatura, la ecuación (34) tiene en cuenta como varía el coeficiente global de transferencia de calor con la variable más importante, el caudal de refrigerante.



3.2. Estimación de parámetros

Una de las etapas más importantes, y tal vez la más difícil, en la construcción de un modelo matemático, es ajustar y obtener los valores de los parámetros desconocidos de forma tal que la dinámica del modelo se asemeje lo más posible a la del proceso que representa. Aunque existen diversas técnicas para tal fin, se decidió usar la técnica de estimación de parámetros por optimización dinámica. Dicha técnica consiste en minimizar una función de coste que depende de la diferencia entre la respuesta del modelo y datos experimentales ante ciertas variables de entrada, teniendo como variables de decisión los parámetros del modelo.

Todos los parámetros del modelo desarrollado en las secciones anteriores se presentan en la tabla 1. Aunque los parámetros relacionados con la cinética de las reacciones se preestablecen en el SCADA, se supondrán desconocidos como sería el caso si la reacción no estuviera simulada. Así, todos los parámetros relacionados con las reacciones han de ser estimados. Además, el factor α del coeficiente de transferencia de calor también es desconocido y su valor deberá estimarse para ajustar el modelo al proceso.

Parámetro	¿Conocido?	Valor
V	✓	11.5 L
V_c	✓	1 L
ρ	✓	1000 $\frac{\text{kg}}{\text{m}^3}$
C_p	✓	4.186 $\frac{\text{kg}}{\text{kJK}}$
k_{10}	✗	-
k_{20}	✗	-
k_{30}	✗	-
$\Delta H_{rxn,1}$	✗	-
$\Delta H_{rxn,2}$	✗	-
$\Delta H_{rxn,3}$	✗	-
E_1	✗	-
E_2	✗	-
E_3	✗	-
α	✗	-

Tabla 1: Parámetros del modelo.

3.2.1. Diseño del experimento

Para capturar la información dinámica del proceso es necesario diseñar de forma adecuada un experimento. En este se debe estudiar la respuesta del sistema en distintas situaciones de funcionamiento, por ejemplo, a altas y bajas temperaturas, con flujos de refrigerante muy grandes y muy pequeños, etc. Además, el proceso debe ser operado en lazo abierto, pues en caso contrario, los controladores intentarán mantener el proceso lo más estable posible, sesgando los datos. Teniendo todo esto en cuenta, se planea el experimento cambiando los caudales de reactivos y de refrigerantes durante cinco horas como se muestra en la figura 14. Es importante recordar que la planta cuenta con sensores para todas las temperaturas involucradas en el modelo y, se supondrá, que se tiene acceso a las medidas de concentración de las especies B y D.



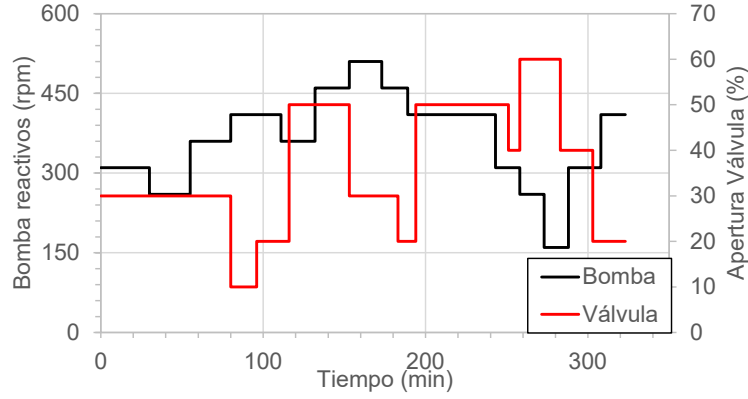


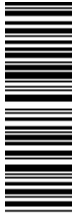
Figura 14: Diseño del experimento de ajuste del modelo.

Se desarrolló un script en Python que ejecuta los cambios del experimento de forma automática, evitando así retroalimentaciones del ejecutor y facilitando el trabajo. Su funcionamiento consiste en generar un cliente OPC que envía a la tarjeta de adquisición de datos señales para la bomba de reactivos y la válvula de refrigerante de acuerdo al planeamiento del experimento. El código fuente se muestra en el anexo A.6. Los resultados del experimento se muestran en línea discontinua en las figuras 15 y 16.

3.2.2. Problema de optimización

Como se mencionó anteriormente, se formuló la estimación de parámetros como un problema de optimización dinámica. En la ecuación (35) se minimiza la diferencia entre las variables de estado del modelo matemático del proceso y las medidas reales ajustando el valor de los parámetros.

$$\begin{aligned}
 \min_{\substack{k_i, E_i, \\ \Delta H_{rxn,i}, \alpha}} \quad & J = c^2 \sum_{i=1}^4 \left[\gamma_i \frac{|y_{m,i} - y_{p,i}|}{c\hat{y}_{p,i}} - \ln \left(1 + \gamma_i \frac{|y_{m,i} - y_{p,i}|}{c\hat{y}_{p,i}} \right) \right] \\
 \text{s.a.} \quad & V \frac{dC_A}{dt} = q(C_{A0} - C_A) - k_{10} e^{-\frac{E_1}{RT}} C_A V - 2k_{30} e^{-\frac{E_3}{RT}} C_A^2 V, \\
 & V \frac{dC_B}{dt} = -qC_B + k_{10} e^{-\frac{E_1}{RT}} C_A V - k_{20} e^{-\frac{E_2}{RT}} C_B V, \\
 & V \frac{dC_C}{dt} = -qC_C + k_{20} e^{-\frac{E_2}{RT}} C_B V, \\
 & V \frac{dC_D}{dt} = -qC_D + k_{30} e^{-\frac{E_3}{RT}} C_A^2 V, \\
 & \rho C_p V \frac{dT}{dt} = q\rho C_p (T_0 - T) - \alpha q_c^{4/5} (T - T_c) - V \sum_{i=1}^3 r_i \Delta H_{rxn,i}, \\
 & \rho C_p V_c \frac{dT_c}{dt} = q_c \rho C_p (T_{c0} - T_c) + \alpha q_c^{4/5} (T - T_c), \\
 & 10 \leq T, T_c \leq 60,
 \end{aligned} \tag{35}$$



$$\begin{aligned}
 0 &\leq C_A \leq 5, \\
 0 &\leq k_i \leq 20 && i = 1, 2, 3, \\
 0 &\leq E_i \leq 20 && i = 1, 2, 3, \\
 -40 &\leq \Delta H_{rxn,i} \leq 0 && i = 1, 2, 3, \\
 0 &\leq \alpha \leq 5
 \end{aligned}$$

Se resolvió el problema en EcosimPro con un enfoque secuencial, el código se muestra en el anexo A.7. Se calcula la función de coste en el simulador y luego se envía al optimizador externo, SNOPT. Este devuelve nuevos valores de los parámetros para recalcular la función de coste. El ciclo se repite hasta que se cumple cierta tolerancia o hasta que no se encuentran valores de los parámetros que mejoren la función de coste. En la sección 1.5 se ha explicado en detalle este procedimiento.

En las figuras 15 y 16 se muestra gráficamente el ajuste de las variables del modelo a los datos experimentales con los parámetros estimados. Se puede apreciar que el ajuste de las temperaturas y las concentraciones es muy bueno en todo el rango de operación estudiado. Aunque este resultado es muy prometedor, hay que tener en cuenta que los datos fueron obtenidos por simulación y el ajuste con el proceso real no será perfecto. En la tabla 2 se presentan los valores obtenidos de los parámetros. Es evidente que son muy diferentes de lo que deberían ser. Esto no es un error, como se mencionó en la sección 1.6 los problemas de optimización no-lineales suelen ser no convexos y, por tanto, no está garantizado que sus soluciones sean globales. El conjunto de valores obtenidos es un mínimo local de la función de coste, pero gráficamente es evidente que con ellos el modelo tiene una respuesta prácticamente idéntica a los datos experimentales.

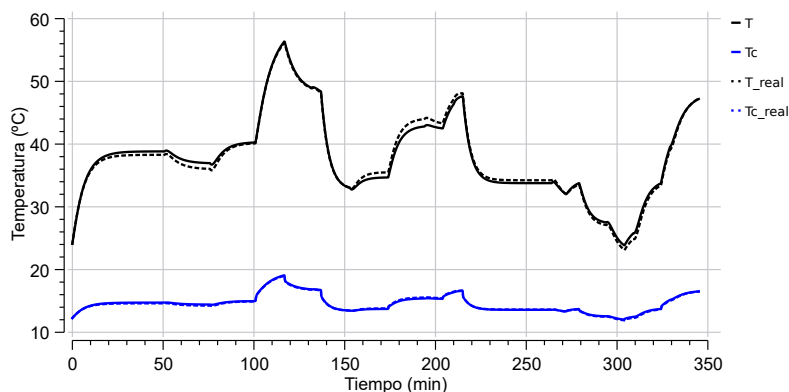


Figura 15: Ajuste de temperatura de reactivos y serpentín.



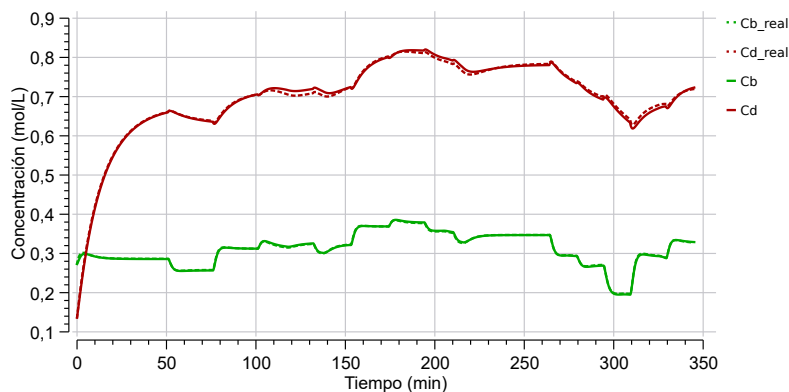


Figura 16: Ajuste de concentración de B y D.

	Real	Estimado
$k_{10} \left[\frac{1}{\text{L}\cdot\text{min}} \right]$	15.60	20
$k_{20} \left[\frac{1}{\text{L}\cdot\text{min}} \right]$	13.40	9.67
$k_{30} \left[\frac{1}{\text{mol}\cdot\text{min}} \right]$	3.20	10.93
$\Delta H_{rxn,1} \left[\frac{\text{kJ}}{\text{mol}} \right]$	-2	-4.633
$\Delta H_{rxn,2} \left[\frac{\text{kJ}}{\text{mol}} \right]$	-5	-3.670
$\Delta H_{rxn,3} \left[\frac{\text{kJ}}{\text{mol}} \right]$	-7	-1.147
$E_1 \left[\frac{\text{kJ}}{\text{mol}} \right]$	8.09	8.920
$E_2 \left[\frac{\text{kJ}}{\text{mol}} \right]$	7.59	6.767
$E_3 \left[\frac{\text{kJ}}{\text{mol}} \right]$	5.21	8.721
$\alpha \left[\frac{\text{kJ}}{\text{min}\cdot^\circ\text{C}} \right]$	1.220	1.229

Tabla 2: Resultados de la estimación de parámetros.

3.3. Validación

Aunque existen multitud de técnicas para validar modelos, no hay una prueba definitiva que permita decir con seguridad que un modelo es válido. Lo que si es posible es establecer un cierto grado de confianza dependiendo de las pruebas realizadas. Para validar el modelo construido en la sección anterior, se ejecutará un nuevo experimento donde se aplicarán cambios de las variables manipuladas diferentes a los usados para la estimación de parámetros, al proceso y al modelo y se compararán sus respuestas tanto cualitativa como cuantitativamente. El diseño de este nuevo experimento se muestra en la figura 17. Los valores de caudales de refrigerante y reactivos se generaron de forma aleatoria para evitar retroalimentaciones del experimento original. Los resultados se muestran en las figuras 18 y 19 donde las líneas discontinuas representan las variables medidas de la planta.

A partir de las figuras 18 y 19 se puede ver que el ajuste del modelo es muy bueno a los datos experimentales, incluso en condiciones diferentes a las que se usaron para estimar los parámetros. En consecuencia, se da el modelo por válido para los rangos normales de operación de la planta.



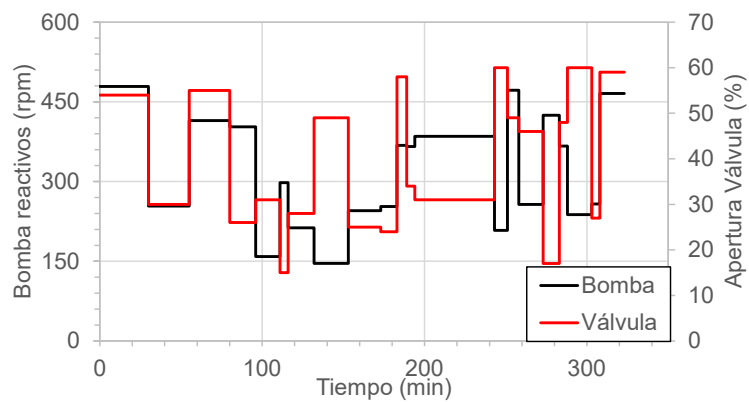


Figura 17: Diseño del experimento de validación.

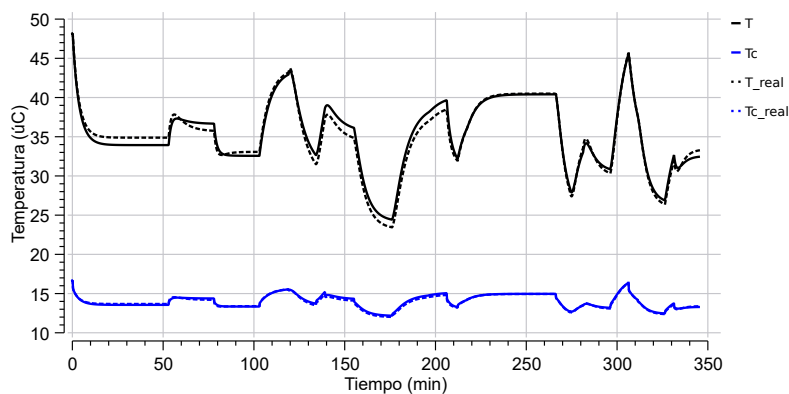


Figura 18: Comparación de temperaturas entre el modelo y el proceso.

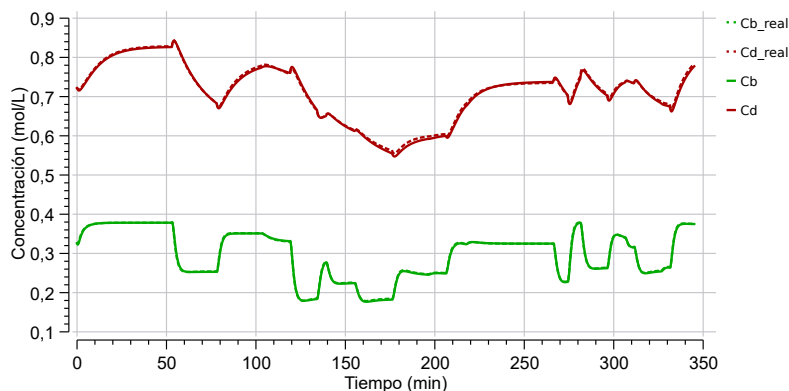


Figura 19: Comparación de concentraciones de B y D entre el modelo y el proceso



Capítulo 4

Formulación del controlador predictivo

El modelo matemático desarrollado en la sección anterior será el corazón del controlador predictivo no lineal (MPC). Además, será necesario formular un estimador de estados que permita conocer el valor de las variables no medidas y dotar de acción integral al controlador. Debido a que pueden haber perturbaciones en los caudales de reactivos y refrigerante, el controlador no calculará las acciones finales de control, es decir, la velocidad de la bomba de reactivos y la apertura de la válvula de reactivos. Se calcularán los set-points de los controladores de dichos caudales. El esquema general de la planta actualizado con el estimador de estados y el controlador se muestra en la figura 20.

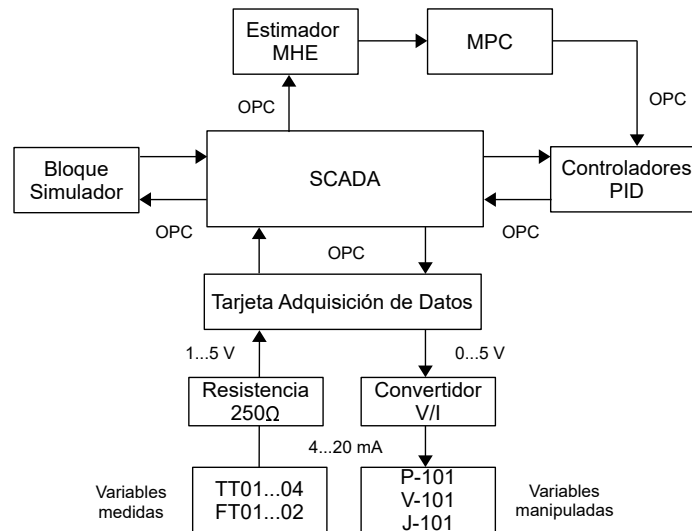


Figura 20: Esquema general de la planta con MHE, MPC y RTO.

Tanto el MPC como el estimador de estados se envolverán en un servidor OPC-UA para facilitar la comunicación con el SCADA de la planta y los controladores PID de los caudales de flujo de reactivos y refrigerante. También se desarrollará una interfaz de comunicación en Python pues el SCADA actual no es compatible con OPC-UA, solo con OPC-DA.





4.1. Controlador predictivo no lineal

Como se indicó en el capítulo 1, un controlador predictivo consiste en realizar predicciones a futuro del proceso para calcular las acciones de control que llevarían las variables controladas a sus referencias respetando las restricciones establecidas. En el capítulo anterior se construyó un modelo que permitirá realizar tales predicciones. El controlador se formula por tanto como aparece en la ecuación (36).

$$\begin{aligned}
 \min_{\substack{u_1(t), \\ u_2(t)}} \quad & \sum_{k=1}^2 \sum_{i=0}^N \gamma_k \left[\frac{y_k(t+i) - w_k(t+i)}{y_{k,upp} - y_{k,low}} \right]^2 + \sum_{j=1}^2 \sum_{i=0}^{Nu} \beta_j \left[\frac{\Delta u_j(t+i)}{u_{j,upp} - u_{j,low}} \right]^2 \\
 \text{s.a.} \quad & V \frac{dC_A}{dt} = q(C_{A0} - C_A) - k_{10} e^{-\frac{E_1}{RT}} C_A V - 2k_{30} e^{-\frac{E_3}{RT}} C_A^2 V + d_1, \\
 & V \frac{dC_B}{dt} = -qC_B + k_{10} e^{-\frac{E_1}{RT}} - k_{20} e^{-\frac{E_2}{RT}} C_B V, \\
 & V \frac{dC_C}{dt} = -qC_C + k_{20} e^{-\frac{E_2}{RT}} C_B V, \\
 & V \frac{dC_D}{dt} = -qC_D + k_{30} e^{-\frac{E_3}{RT}} C_A^2 V, \\
 & \rho C_p V \frac{dT}{dt} = q\rho C_p (T_0 - T) - \alpha q_c^{4/5} (T - T_c) - V \sum_{i=1}^3 r_i \Delta H_{rxn,i} + d_2, \\
 & \rho C_p V_c \frac{dT_c}{dt} = q_c \rho C_p (T_{c0} - T_c) + \alpha q_c^{4/5} (T - T_c) + d_3, \\
 & u_k(t) = u_{k,1} + \sum_{i=2}^{Nu} \frac{u_{k,i} - u_{k,i-1}}{1 + e^{-\sigma(t-t_i)}}, \\
 & y_{k,low} \leq y_k \leq y_{k,upp} \quad k = 1, 2, 3, \\
 & u_{j,low} \leq u_j \leq u_{j,upp} \quad j = 1, 2
 \end{aligned} \tag{36}$$

Donde el subíndice $k = 1, 2, 3$ representa la temperatura de reactivos, del serpentín y la concentración de A. Mientras que $j = 1, 2$ representa el flujo de refrigerantes y el de reactivos. Los parámetros γ_k y β_j son parámetros de peso de cada una de las variables de controladas y manipuladas respectivamente. Las cuales a su vez se normalizan dividiéndolas por su rango ($y_{k,upp} - y_{k,low}$) y ($u_{j,upp} - u_{j,low}$). Los parámetros N y Nu representan los horizontes de predicción y de control. Por último, las variables d_k son términos de perturbaciones. Estas se estimarán al igual que las concentraciones no medidas para dotar al controlador de acción integral. La tabla 3 muestra los parámetros de sintonía base del controlador.

El primer término de la función de coste del controlador representa el seguimiento de la referencia. Solo se establecen consignas para la concentración de B y para la temperatura del reactor, en este caso no hay interés en controlar la temperatura del serpentín. El segundo término corresponde a la penalización de cambios de las variables manipuladas, de forma que se pueda ajustar la agresividad del controlador. Las restricciones son las ecuaciones del modelo, los límites superiores e inferiores de las variables controladas y las manipuladas y la discretización con función sigmoide de los caudales de reactivos y de



Variable	Descripción	Valor
N	Horizonte de predicción	30 min
Nu	Horizonte de control	3
γ_1	Peso de T	100
γ_2	Peso de C_B	100
β_1	Penalización cambios reactivos	0.5
β_1	Penalización cambios refrigerante	0.5

Tabla 3: Parámetros de sintonía del controlador

refrigerante.

Resolviendo el problema de optimización (36), se obtienen las acciones de control necesarias para llevar el proceso a su consigna. Esto se resuelve en EcosimPro® con un enfoque secuencial, usando IDAS como integrador y SNOPT como optimizador. La solución es un vector de seis elementos, considerando un horizonte de control de tres periodos de muestreo, tres para el caudal de reactivos y tres para el de refrigerante. Solo se envía al SCADA el primer elemento de cada uno, ya que se recalculan en cada llamada al controlador. En la figura 21 se muestra gráficamente la secuencia de cálculo del MPC.

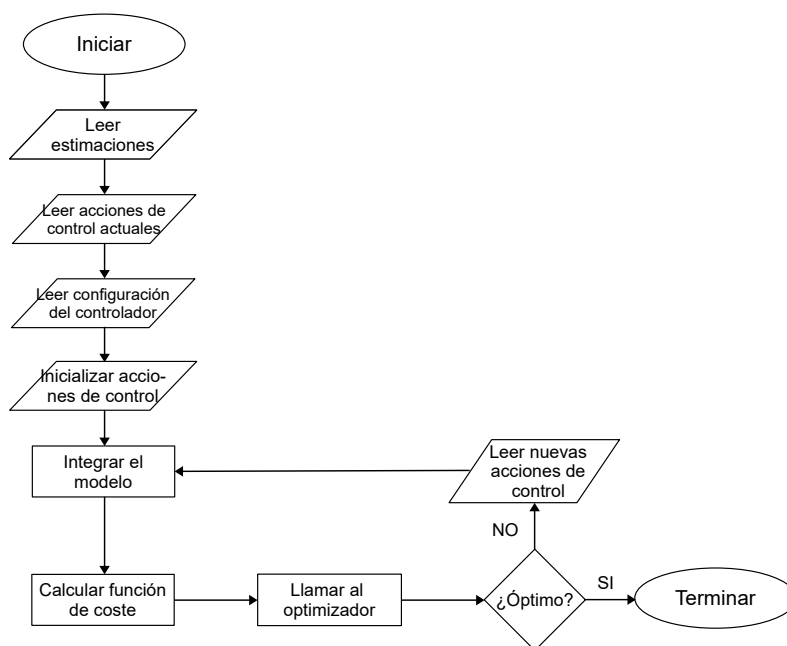


Figura 21: Esquema de funcionamiento del MPC.

4.2. Estimador de estados

La planta cuenta con sensores de flujo y de temperatura pero se estableció que solo uno de concentración, como cabría esperar en una aplicación real. De esta forma, será necesario estimar continuamente las concentraciones de A, C y D. El estimador MHE se formula como se muestra en la ecuación (37). Se agrega un término de perturbaciones $d_i(t)$ que



permite ajustar las pequeñas discrepancias entre el modelo y el proceso real. Así, el controlador tendrá una acción integral y se reducirá su error en estado estacionario. Este término se agrega a las ecuaciones diferenciales de la temperatura del reactor, del serpentín y de la concentración de B, C_B .

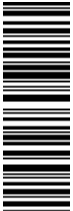
Resolviendo el problema de optimización (37), se obtienen las estimaciones de los valores iniciales de C_A, C_C, C_B, C_D y de las perturbaciones. Posteriormente pueden obtenerse los estados actuales estimados por integración a partir de estos valores y las acciones de control pasadas. Se usó EcosimPro® con un enfoque secuencial al igual que para el MPC. La ejecución del estimador de estados será previa a la del MPC, pues este último requiere las estimaciones. En la figura 22 se muestra gráficamente la secuencia de cálculo del estimador de estados.

$$\begin{aligned}
& \min_{\substack{y_k(t-N), \\ d_k(t-i)}} \sum_{k=1}^3 \sum_{i=0}^{N_E} [\gamma_k (y_k(t-i) - y_{k,real}(t-i))^2 + \alpha_j d_k(t-i)^2] \\
\text{s.a.} \quad & V \frac{dC_A}{dt} = q(C_{A0} - C_A) - k_{10} e^{-\frac{E_1}{RT}} C_A V - 2k_{30} e^{-\frac{E_3}{RT}} C_A^2 V + d_1, \\
& V \frac{dC_B}{dt} = -qC_B + k_{10} e^{-\frac{E_1}{RT}} - k_{20} e^{-\frac{E_2}{RT}} C_B V, \\
& V \frac{dC_C}{dt} = -qC_C + k_{20} e^{-\frac{E_2}{RT}} C_B V, \\
& V \frac{dC_D}{dt} = -qC_D + k_{30} e^{-\frac{E_3}{RT}} C_A^2 V, \\
& \rho C_p V \frac{dT}{dt} = q\rho C_p (T_0 - T) - \alpha q_c^{4/5} (T - T_c) - V \sum_{i=1}^3 r_i \Delta H_{rxn,i} + d_2, \\
& \rho C_p V_c \frac{dT_c}{dt} = q_c \rho C_p (T_{c0} - T_c) + \alpha q_c^{4/5} (T - T_c) + d_3, \\
& u_k(t) = u_{k,1} + \sum_{i=2}^{Nu} \frac{u_{k,i} - u_{k,i-1}}{1 + e^{-\sigma(t-t_i)}}, \\
& y_{k,low} \leq y_k \leq y_{k,upp} \quad k = 1, \dots, 3, \\
& d_{k,low} \leq d_k \leq d_{k,upp} \quad k = 1, \dots, 3
\end{aligned} \tag{37}$$

Donde N_E representa el horizonte de estimación, es decir, el número de periodos de muestreos usados. y_1, y_2, y_3 representan la temperatura de reactivos, del serpentín y la concentración de A. γ_k son factores de peso de las variables de estado. Y α_j son factores de penalización de las perturbaciones. Como punto de partida, a todas las variables de estado y perturbaciones se les asigna el mismo peso, 1 para las primeras y 0.1 para las segundas. Es necesario proveer al estimador de estados la información de las variables medidas en los N_E periodos de muestreo anteriores.

4.3. Implementación

Tanto el controlador como el estimador de estados se programaron en EcosimPro®. La idea fundamental es generar una clase a partir del modelo matemático de la planta y la



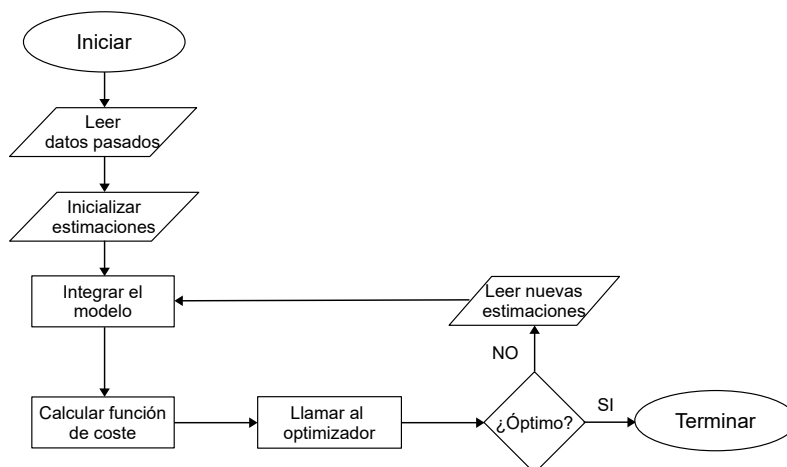


Figura 22: Esquema de funcionamiento del estimador de estados.

función de coste respectiva y, luego, crear un método haga las llamadas al optimizador. Así se facilita la programación y el fichero principal solo contiene la definición de las variables y las llamadas a los métodos de las respectivas clases como sigue:

- 1 `estimador.ejecutar(t_Sam, q, qc, T0, Tc0, T, Tc, Ca, estim)`
- 2 `controlador.control(t_Sam, Pred_h, sta, man_low, man_up, con_low, con_up, MV, u_new)`

Los parámetros que se pasan al estimador son el tiempo de muestreo y la información de todas las variables de la planta. Y devuelve el vector `estim` que contiene las estimaciones de C_A , C_C , C_D y de las perturbaciones. Para ejecutar el controlador, es necesario proveerle los límites de las variables controladas y manipuladas, así como también las variables estimadas, entre otras. Las acciones de control calculadas están contenidas en el vector `u_new`. Todo esto se envuelve en una capa OPC-UA. Toda comunicación entre el controlador (de ahora en adelante se refiere tanto al MPC como al MHE) y el SCADA se hará a través de InterfazOPC, detallada en la próxima sección. En la figura 23 se muestra un resumen del procedimiento de calculo seguido en cada llamada al controlador. La variable binaria *Flag* se modifica desde el SCADA y determina si el controlador predictivo está activado o desactivado.

Se probó el comportamiento del controlador sobre una simulación de la planta. Tanto el estimador de estados como el MPC usan los parámetros obtenidos en la sección 3.2 para calcular sus respectivas funciones de coste. La simulación, por otra parte, usa los parámetros originales. Desde la simulación se hacen llamadas al controlador y luego se aplican las acciones de control. Empezando desde una temperatura de 30°C y una concentración de B de 0 mol/L, se activa el controlador para que lleve la planta a 50°C y 0.7 mol/L. Los resultados obtenidos se presentan en la figura 24.



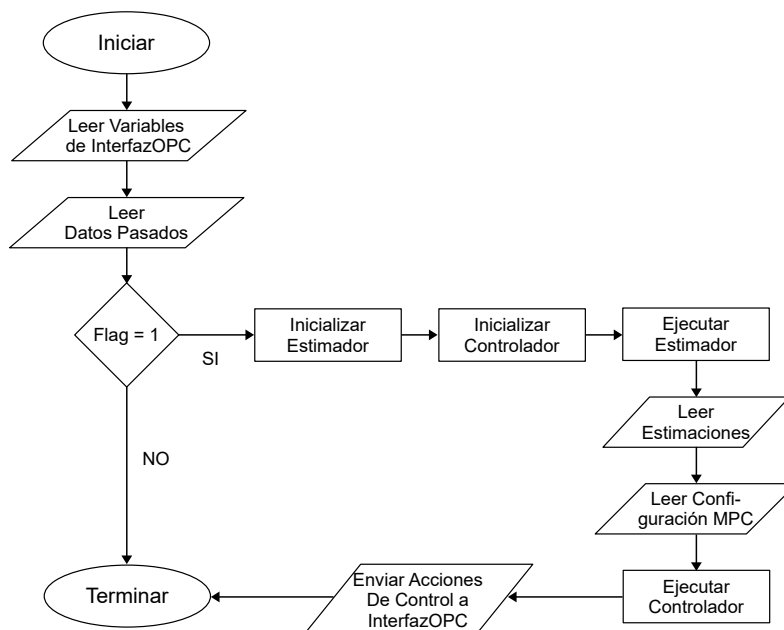


Figura 23: Esquema de funcionamiento del servidor del controlador.

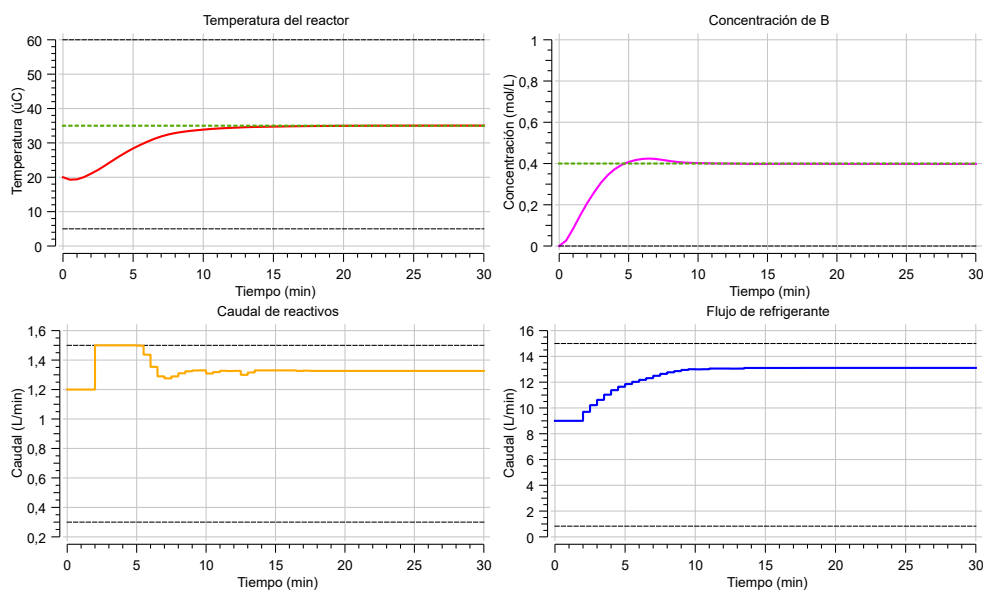


Figura 24: Prueba del controlador predictivo.

Se puede ver que el controlador es capaz de llevar el proceso al set-point requerido, incluso sin error de estado estacionario. Los primeros instantes de tiempo donde no hay cambios de las variables manipuladas corresponden a la recolección de datos para que el MHE pueda empezar la estimación. En la concentración de A se ve un pequeño sobre salto alrededor del set-point pero no es significativo. Por lo demás, las variables manipuladas en ningún momento superan los límites impuestos como es debido.





Para permitir la comunicación entre el controlador y el SCADA, es necesario dotarlo de una capa OPC. EcosimPro ofrece de forma nativa esta posibilidad a través de decks. Estos funcionan como cajas negras que encapsulan el código y todo lo necesario para ejecutarlo de forma independiente de EcosimPro. Para crear un deck se ha de seleccionar en primera instancia su tipo. Se seleccionó como OPC-UA, pues el estándar OPC-DA no es compatible con el compilador requerido por el optimizador SNOPT, Visual Studio 2015 en adelante. Luego, se han de seleccionar las variables de entrada, configuración del controlador y datos medidos de la planta, y las variables de salida, las acciones de control. Por último, solo es necesario darle al botón de generar y se crea un ejecutable que contiene al controlador y cada que es llamado sigue la secuencia de cálculo mostrada en la figura 23. La aplicación carece de interfaz gráfica, solo muestra una ventana de la consola donde va reportando información sobre las operaciones que se ejecutan como se muestra en la figura 25.

```
D:\Librerias_PROOSIS\REACTOR_CONTROLADOR\experiments\mpc-reactor+o+p+c.partition\+controlador+o+p+c\+controlador+o+p+c\output...
PROOSIS 6.0.1 Deck OPC-UA Server
Generated with PROOSIS Simulation Software (www.proosis.com)
Copyright Empresarios Agrupados Internacional S.A. (www.empre.es)
All rights reserved.
*****
Begin reading symbols table...
Variables: 128
Equations: 0
End of reading symbols table.
[INITIAL] Resetting variables to the initial values...
[INITIAL] Executing the INIT block of experiment...
Deck: [INITIAL] begin reading cardpack - phase1...
Deck: [INITIAL] end of reading cardpack - phase1...
Deck: [INITIAL] begin reading cardpack - phase1...
Deck: [INITIAL] end of reading cardpack - phase1...
Deck: [INITIAL] begin reading cardpack - phase1...
Deck: [INITIAL] end of reading cardpack - phase1...
Deck: [INITIAL] begin reading cardpack - phase2...
Deck: [INITIAL] end of reading cardpack - phase2...
[2020-05-01 20:49:53.204 (UTC+0200)] info/userland Node read CINT: 0
[2020-05-01 20:49:53.205 (UTC+0200)] info/userland Node read Ca: 0
[2020-05-01 20:49:53.205 (UTC+0200)] info/userland Node read CaSp: 0.7
[2020-05-01 20:49:53.205 (UTC+0200)] info/userland Node read FlagControlador: 0
[2020-05-01 20:49:53.205 (UTC+0200)] info/userland Node read LimInfCa: 0
[2020-05-01 20:49:53.205 (UTC+0200)] info/userland Node read LimInfq: 5
[2020-05-01 20:49:53.205 (UTC+0200)] info/userland Node read LimInfqc: 0.3
[2020-05-01 20:49:53.205 (UTC+0200)] info/userland Node read LimsupCa: 5
[2020-05-01 20:49:53.205 (UTC+0200)] info/userland Node read LimsupT: 60
```

Figura 25: Consola del controlador.

4.4. Interfaz de comunicación

El controlador se envió en una capa OPC-UA. No es posible hacerlo con OPC-DA pues aunque es el estándar más usado, no es compatible con compiladores de C++ actuales requeridos por el optimizador. Infortunadamente, el SCADA de la planta está programado en InTouch 2012, versión solo compatible con OPC-DA. Para solventar este problema, es necesario desarrollar un programa intermedio que sea compatible con ambos estándares, permitiendo la comunicación entre el SCADA y el controlador. El controlador deberá recibir las variables medidas desde el SCADA, así como su configuración, para calcular la consigna de los controladores PID de los caudales de reactivos y refrigerante. Esta interfaz se desarrolló en el lenguaje de programación Python y se denomina InterfazOPC. Se usaron las librerías de código abierto OpenOPC y FreeOpcUa pues facilitan enormemente la conexión con los servidores OPC. En la figura 26 se muestra un esquema simplificado del funcionamiento de InterfazOPC.

4.5. Interfaz HMI del MPC

Se agregó una pestaña del MPC a la interfaz HMI del SCADA de la planta. Allí es posible activar o desactivar el MPC o los controladores PID. También se pueden cambiar de forma sencilla los parámetros de todos los controladores y las consignas. En la figura 27 se muestra como luce esta interfaz.



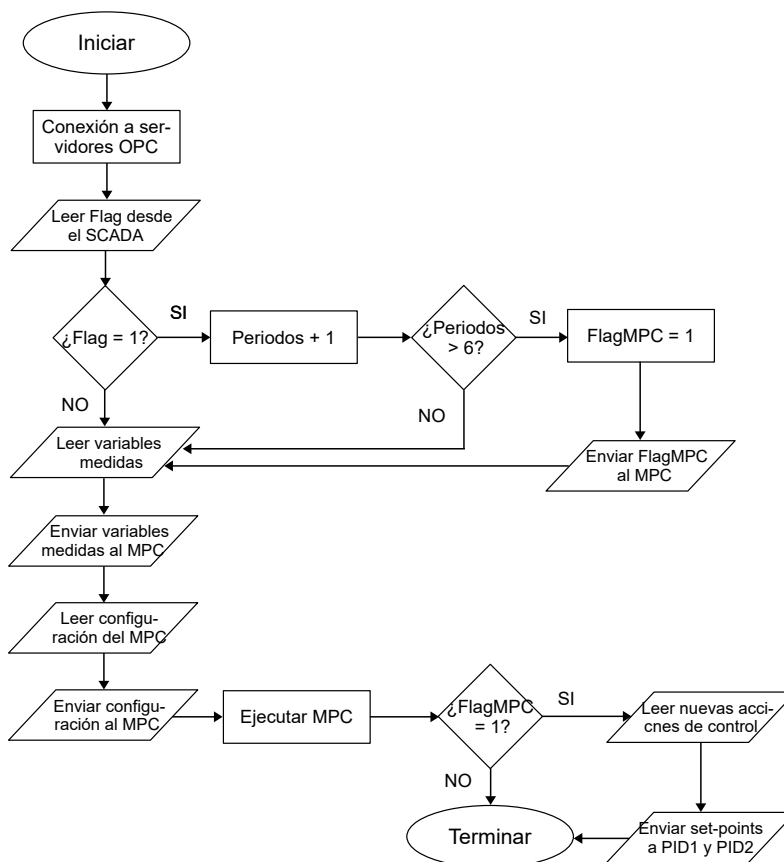


Figura 26: Esquema de InterfazOPC.

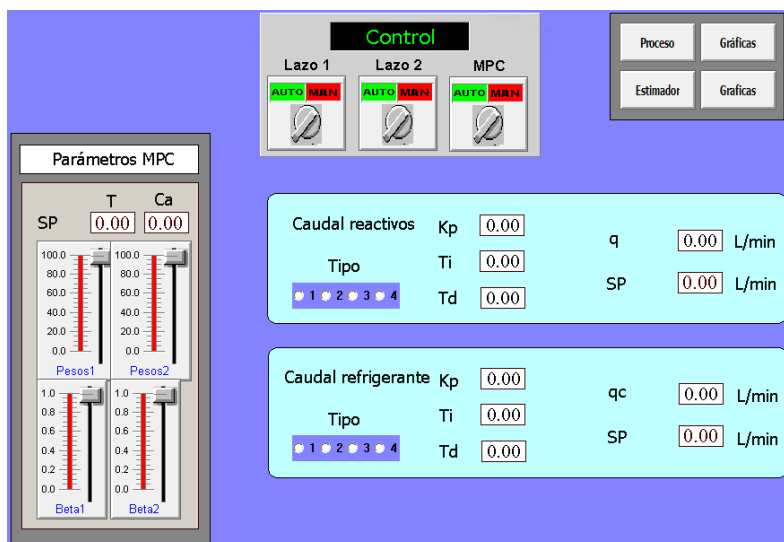


Figura 27: Interfaz del MPC en el SCADA.

El presente documento ha sido firmado en virtud de la Ley 59/2003 de 19 de Diciembre. El C.V.D. asignado es: 0172-C656-CD06*00A8-0053. Para cotejar el presente con su original electrónico acceda a la Oficina Virtual de la Universidad de Valladolid, y a través del servicio de Verificación de Firma introduzca el presente C.V.D. El documento resultante en su interfaz WEB deberá ser exactamente igual al presente. El/los firmante/s de este documento es/son: DANIEL ALBERTO MONTES LOPEZ a fecha: 18/06/2020 09:31:16





Capítulo 5

Optimización en tiempo real

El controlador predictivo no lineal desarrollado en el capítulo anterior permite regular la temperatura y concentración en el reactor modificando las consignas de los controladores PID de flujo de reactivos y refrigerante. Sin embargo, el MPC no tiene consideración de ningún parámetro económico por lo que su funcionamiento se limita estrictamente a la regulación de consignas.

En este capítulo se desarrollará un optimizador en tiempo real para calcular las consignas de temperatura y concentración del MPC que generen el mayor beneficio económico posible. Debido a que las especies de la reacción no son reales sino simuladas, los precios son imaginarios. El funcionamiento de la RTO, sin embargo, servirá como demostración de como funcionaría esta estrategia de optimización en un caso real como una capa superior de la pirámide de automatización.

5.1. Formulación

Se usará el modelo desarrollado en el capítulo 3 para formular el optimizador en tiempo real. Se simplificará a estado estacionario pues los transitorios del reactor son previsiblemente cortos y, por tanto, tienen poco impacto en la economía del proceso. El problema de optimización a resolver consiste en maximizar una función de coste del tipo económico, donde la cantidad consumida/producida de cada especie se multiplica por su respectivo precio. Se añade de la misma forma un término para el refrigerante. Por otra parte, las ecuaciones del modelo se formulan como restricciones de igualdad y se imponen límites al caudal de reactivos, refrigerante, a la temperatura de operación y la concentración. En la ecuación (38) se muestra la formulación del optimizador en tiempo real.

$$\begin{aligned} \max_{T, C_A} \quad & J = \sum c_i q C_i - c_A * q * C_{A0} - c_{ref} q_c \\ \text{s.a.} \quad & 0 = q(C_{A0} - C_A) - k_{10} e^{-\frac{E_1}{RT}} C_A V - 2k_{30} e^{-\frac{E_3}{RT}} C_A^2 V, \\ & 0 = -q C_B + k_{10} e^{-\frac{E_1}{RT}} C_A V - k_{20} e^{-\frac{E_2}{RT}} C_B V, \\ & 0 = -q C_C + k_{20} e^{-\frac{E_2}{RT}} C_B V, \\ & 0 = -q C_D + k_{30} e^{-\frac{E_3}{RT}} C_A^2 V, \end{aligned} \quad (38)$$



$$0 = q\rho C_p(T_0 - T) - \alpha q_c^{4/5}(T - T_c) - V \sum_{i=1}^3 r_i \Delta H_{rxn,i},$$

$$0 = q_c \rho C_p(T_{c0} - T_c) + \alpha q_c^{4/5}(T - T_c),$$

$$10 \leq T, T_c \leq 60,$$

$$0 \leq C_i \leq 5 \quad i = A, \dots, D,$$

$$0 \leq q \leq 1.5,$$

$$0 \leq q_c \leq 15$$

El problema de optimización (38) es del tipo no lineal pues las constantes cinéticas dependen de la temperatura, que a su vez depende de la concentración. Además, hay varios términos en los que se multiplica de forma implícita concentración y temperatura. Para resolver este problema se usó EcosimPro® pues, aunque no es un entorno propiamente de optimización, se usó anteriormente para la estimación de parámetros y de estados y para el controlador predictivo. Además, tiene la gran ventaja de que la simulación se puede envolver fácilmente en un servidor OPC-UA para facilitar las comunicación con el SCADA de la planta. El optimizador usado fue igualmente SNOPT y el código se puede encontrar en el anexo A.10. Aunque los precios de cada especie y del refrigerante se podrán modificar desde el SCADA, la tabla 4 muestra los precios de partida considerados. Es importante resaltar que estos precios son arbitrarios pero reflejan que la sustancia de interés es B.

Variable	Descripción	Valor
c_A	Precio de A	0.5 €/mol
c_B	Precio de B	5 €/mol
c_C	Precio de C	0.3 €/mol
c_D	Precio de D	0.2 €/mol
c_{ref}	Costo del refrigerante	0.01 €/L

Tabla 4: Precios de partida de las especies y el refrigerante

Al igual que para el controlador predictivo, se envolvió el optimizador en tiempo real en un servidor OPC-UA y luego se modificó InterfazOPC para poder establecer los precios de las especies desde el SCADA. En la ventana de control avanzado del SCADA se agregó la opción de establecer precios para las especies y la posibilidad de activar o desactivar la optimización en tiempo real. Cuando este está activado, las consignas de temperatura y concentración del controlador predictivo son modificadas automáticamente y no es posible intervenirlas manualmente. La optimización se resuelve previamente a cada llamada del controlador predictivo.





Capítulo 6

Resultados y discusión

En esta sección se probará el comportamiento del controlador predictivo y el optimizador en tiempo real. Para el primero, se estudiará el comportamiento del sistema ante cambios en las consignas de concentración y temperatura. Se probarán diferentes rangos de operación y el rechazo de perturbaciones. Para el segundo, se realizarán cambios en los precios de las especies y el refrigerante y luego se analizará como se adapta el controlador predictivo para llevar al proceso a las nuevas consignas. Todas las pruebas se hicieron sobre la simulación conectada al SCADA de la planta. Tal simulación usa los parámetros presentados como conocidos en la tabla 2, mientras que el modelo matemático del controlador y el optimizador usa los parámetros estimados.

6.1. Pruebas controlador predictivo

6.1.1. Seguimiento de consignas

Se empieza la prueba llevando el reactor a una temperatura de 40 °C y una concentración de B de 0.4 mol/L. Luego se ejecutan varios cambios en las consignas como se muestra en las figuras 28 y 29. De forma general, las figuras en donde se presente la evolución de las variables manipuladas estarán escaladas para que reflejen los límites superiores e inferiores de dichas variables. En la primera gráfica se muestran las variables controladas mientras que en la segunda las manipuladas. Se presentan la velocidad de la bomba de reactivos y la apertura de la válvula de refrigerante aunque realmente el controlador predictivo calcula consignas de caudales. Los controladores PID son los encargados de calcular la acción final de control.

En el primer cambio se ajusta la consigna de temperatura a 45 °C, a lo que el controlador aumenta la velocidad de la bomba de reactivos y disminuye la apertura de la válvula del refrigerante. Se logra llegar a la consigna en alrededor de 15 minutos, teniendo solo un pequeño sobrepico en la concentración de B. En el siguiente cambio se modifica la consigna de temperatura a 35 °C, a lo que el controlador responde disminuyendo temporalmente el caudal de reactivos y llevando la apertura de refrigerante a prácticamente el máximo (60 %). En este caso, aunque se alcanza rápidamente la consigna de temperatura, la de concentración sufre una perturbación más pronunciada que en el primer ejemplo. En el tercer cambio ejecutado, se modificaron simultáneamente ambas consignas a 40 °C y 0.3 mol/L respectivamente. El controlador disminuye ambos caudales, pues debe aumentar la temperatura y disminuir la concentración de B. Alrededor del minuto 40, se cambió la consigna de concentración a 0.5 mol/L y aunque el controlador lleva el flujo de reactivos al máximo no es posible llegar a la consigna fijada. El controlador decide mantener la





consigna de la temperatura y aumentar al máximo la concentración de B. En el último cambio, se modificó la consigna de temperatura a 50 °C, lo que implica que el controlador disminuye la apertura del refrigerante. Como aún tiene una consigna de concentración que no puede alcanzar, mantiene al máximo el caudal de reactivos.

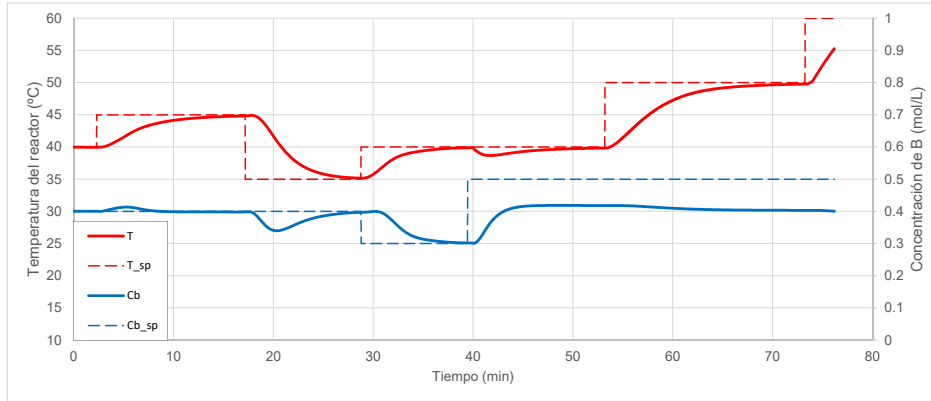


Figura 28: Seguimiento de consignas del MPC.

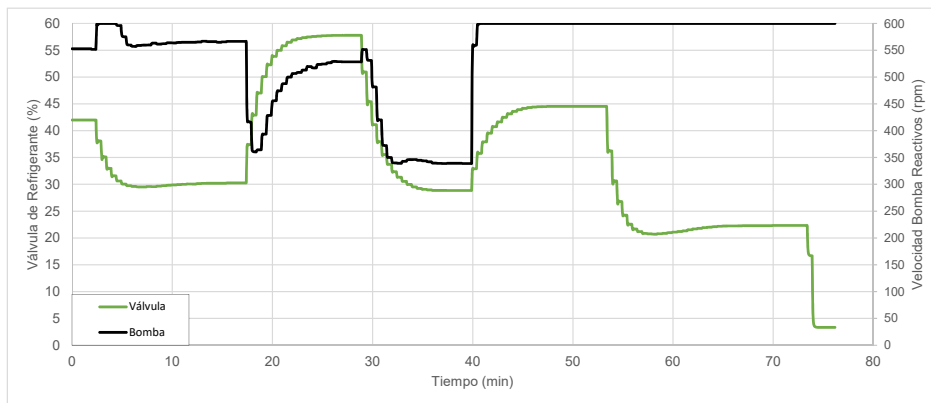


Figura 29: Variables manipuladas del MPC.

6.1.2. Rechazo de perturbaciones

Luego de la prueba de seguimiento de consignas, se ejecutó un experimento para probar como rechaza el controlador tanto perturbaciones medidas como no medidas. Como el controlador está implementado en una simulación de la planta, es fácil modificar intencionalmente los valores de las perturbaciones. Se cuenta con medidas de la temperatura de entrada de reactivos y del refrigerante mientras. Por otra parte, en el modelo se asume que la concentración de A es constante e igual a 5 mol/L y el controlador no tiene acceso a tales medidas, aunque se puede modificar desde el SCADA. Se hicieron pruebas escalón hacia arriba y hacia abajo modificando la temperatura de entrada de reactivos y refrigerante y la concentración de entrada de A como se muestra en las figuras 30, 31 y 32. Las consignas de temperatura y concentración se establecieron en 40 °C y 0.36 mol/L respectivamente y no se modificaron durante la prueba.

En primera instancia, se hace un escalón de +5 °C en la temperatura de entrada de reactivos. Hay un pequeño sobrepico en la temperatura del reactor pero el controlador





rápida-mente aumenta el caudal de refrigerante para compensarlo. Lo mismo sucede, pero en sentido, contrario cuando se hace un escalón de $-5\text{ }^{\circ}\text{C}$ en la misma variable. La desviación observada de la consigna de temperatura es muy pequeña, no supera $0.5\text{ }^{\circ}\text{C}$, y la de concentración es inapreciable. Posteriormente, se hace un escalón hacia abajo y luego hacia arriba de $5\text{ }^{\circ}\text{C}$ en la temperatura de entrada de refrigerante. Para el primer caso, el controlador consigue volver a la consigna de temperatura disminuyendo un poco el caudal de refrigerante. La modificación necesaria para mantener tal consigna es mucho más significativa cuando se eleva la temperatura de entrada de refrigerante, aunque luego de una desviación máxima de casi $1\text{ }^{\circ}\text{C}$ es posible volver a la consigna de $40\text{ }^{\circ}\text{C}$. Hasta este punto, se hicieron modificaciones en dos perturbaciones medidas por lo que se probó la acción feedforward del controlador. Sin embargo, las perturbaciones no medidas también son muy importantes. Para probar este aspecto, se hicieron escalones hacia arriba y hacia abajo en la concentración de entrada del reactivo A. Se observa que ambas variables controladas, la temperatura del reactor y la concentración de B, se alejan de sus consignas. Aunque el controlador intenta manipular el caudal de reactivos y de refrigerante, no es capaz de mantener el proceso en el punto deseado de operación. Esto da a entender que probablemente el estimador de estados de horizonte móvil no esté funcionando correctamente y, así, el controlador carece de acción integral y previsiblemente no puede garantizar que no haya error de estado estacionario en presencia de perturbaciones. Esto se ve reforzado por el hecho de que las variables manipuladas siguen estando dentro de sus límites y, intuitivamente, se puede pensar que si que sería posible llegar a la consigna con una pequeña modificación.

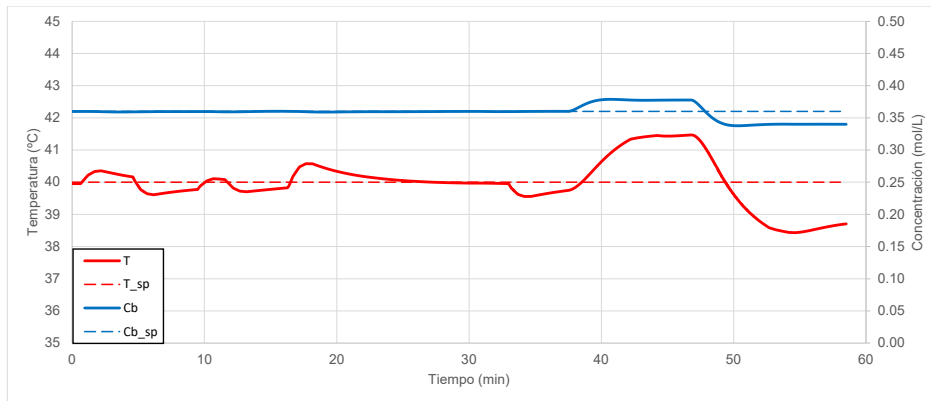


Figura 30: Rechazo de perturbaciones del MPC.

6.2. Pruebas del optimizador en tiempo real

Cuando se activa el optimizador en tiempo real en el SCADA, se desactiva la opción de modificar manualmente las consignas del controlador predictivo. Estas ahora son calculadas por el RTO de forma previa a las llamadas al controlador. Los precios de cada una de las especies y del refrigerante pueden ser modificados desde el SCADA. Es importante recordar, que los precios son arbitrarios pues la reacción química es simulada. En la prueba realizada solo se cambió el costo de refrigerante y el precio del producto de interés, B.

Se inicia la prueba del RTO estableciendo los precios base mostrados en la tabla 4. Se ve que el RTO determina que el máximo beneficio económico se alcanza a una temperatura de $42\text{ }^{\circ}\text{C}$ y una concentración de B de 0.4 mol/L , para lo cual el controlador aumenta al máxima el caudal de reactivos. Luego de unos minutos, el proceso llega a la consigna



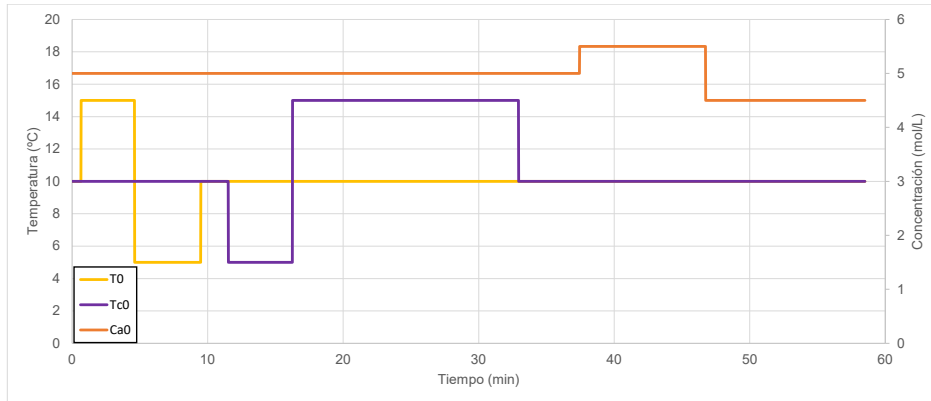


Figura 31: Escalones en las perturbaciones.

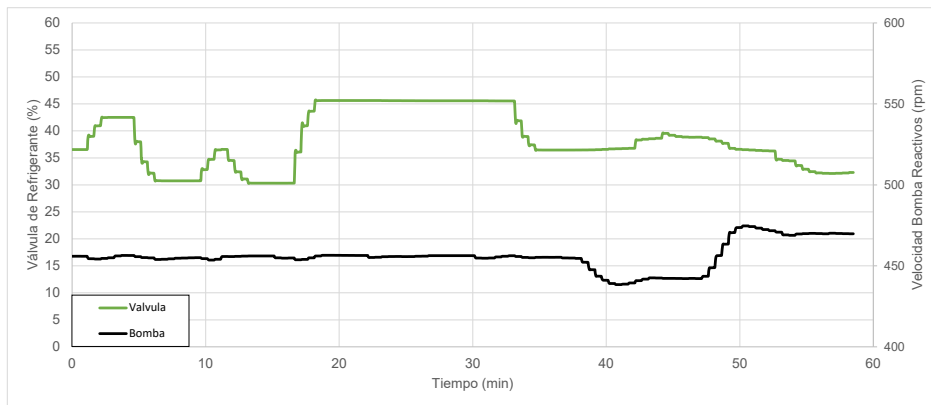
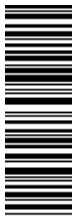


Figura 32: Variables manipuladas del MPC.

establecida por el RTO. Posteriormente, se duplicó el precio de la especie B, manteniendo los demás constantes, y se puede apreciar que aunque se mantiene aproximadamente la misma consigna de concentración, la de temperatura disminuye por debajo de los 35 °C. En este punto se ve que el controlador no es capaz de llevar al proceso al punto que le pide el optimizador en tiempo real, lo cual probablemente se deba a que se está en una condición de operación fuera de la que se ajustó el modelo del proceso. Manteniendo el precio de B en 10 €/mol y duplicando el costo del refrigerante, el RTO aumenta un poco la consigna de temperatura, que ahora si puede ser alcanzada. Luego, se prueba una situación adversa y es una caída súbita y pronunciada de precio de la sustancia de interés. Al llevar el precio de B a 2 €/mol, se puede ver que el RTO determina en llevar al límite de 60 °C la temperatura del reactor y disminuir en gran medida la de concentración. Para esto el controlador determina que se deben llevar al límite inferior los caudales de reactivos y refrigerante. Los precios son tan desfavorables, que prácticamente sería mejorar para el proceso desde el punto de vista económico. Por último, se eleva poco a poco el precio de B hasta el punto en el que el optimizador determina que rentable aumentar los caudales de reactivos y refrigerante.

Es interesante resaltar que en cualquier situación, el optimizador en tiempo real siempre llevó a alguna variable a su límite. Del minuto 0 al 10, el caudal de reactivos está al máximo, mientras que del 10 al 20 lo está el de refrigerante. Del 20 al 25, de nuevo está en



su máximo el caudal de reactivos. Mientras que cuando cae súbitamente el precio de B de los minutos 25 a 37, ambos caudales son llevados al mínimo y la consigna de temperatura al máximo.

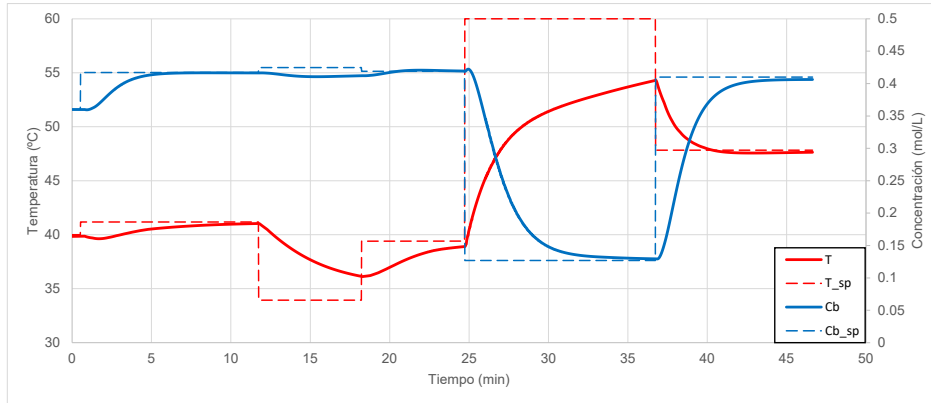


Figura 33: Variables controladas con el RTO+MPC

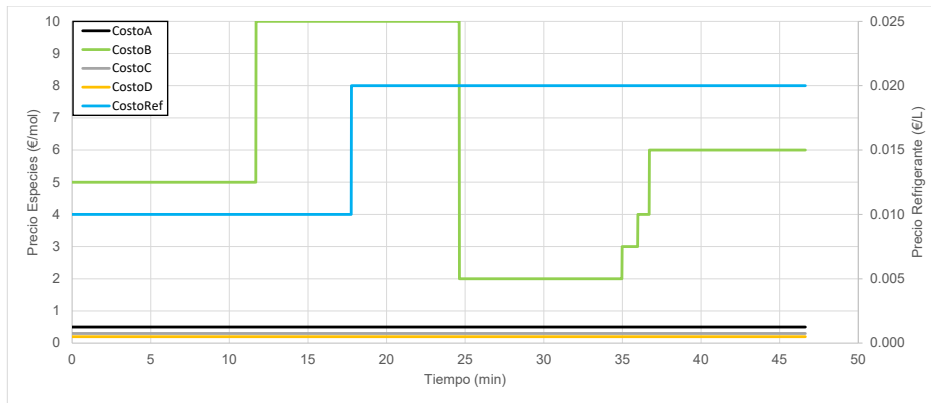
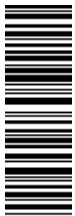


Figura 34: Cambios en los costos de las especies y el refrigerante.



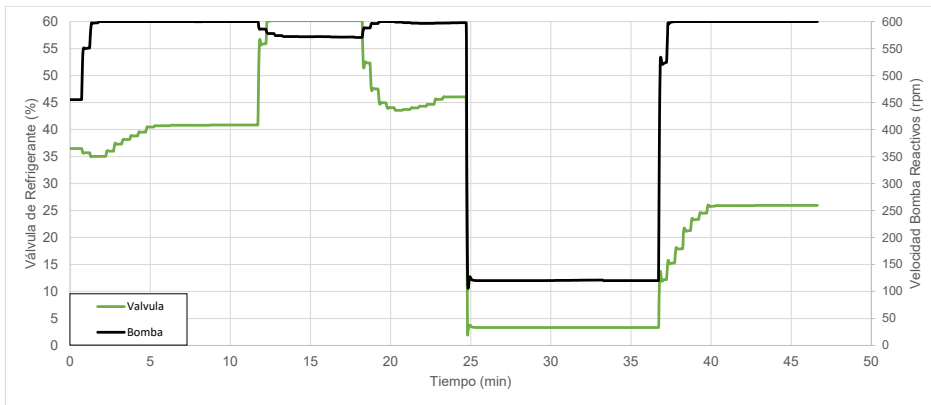
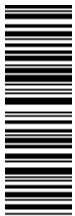


Figura 35: Variables manipuladas del RTO+MPC.





Capítulo 7

Conclusiones

Se desarrolló un modelo matemático de la planta piloto híbrida de un reactor continuamente agitado. Se ajustó dicho modelo a datos del proceso mediante una técnica de estimación de parámetros usando optimización dinámica. Se observó que el ajuste era bueno y luego se corroboró con un conjunto de datos diferentes, a los usados para el ajuste original, que el modelo seguía representando correctamente al proceso.

Usando el modelo matemático como base, se desarrolló un controlador predictivo no lineal para controlar la temperatura del reactor y la concentración de la especie B manipulando las consignas de controladores PID de caudal. Tales controladores se encargan de calcular las acciones finales de control, la velocidad de la bomba de reactivos y la apertura de la válvula de refrigerante. Adicionalmente, se dotó al controlador de un estimador de estados de horizonte móvil para estimar en línea los estados de las variables no medidas y las posibles perturbaciones en cada una de las variables de estado. El controlador fue envuelto en una capa OPC-UA.

Para conectar el controlador con el SCADA de la planta fue necesario programar una interfaz de comunicación en Python que sirve como puente entre ambos. La interfaz funcionó correctamente en cada una de las pruebas realizadas al controlador y no presentó ningún problema.

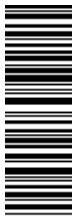
Por encima del controlador, se implementó una estrategia de optimización en tiempo real que calcula las consignas de temperatura y concentración de B que llevan al máximo beneficio económico, teniendo en cuenta restricciones en las diferentes variables y el precio de cada una de las especies y el refrigerante.

El controlador dio resultados satisfactorios en la prueba de escalones de consignas pero no funcionó igual de bien para rechazar perturbaciones. Aunque si era posible mantener las consignas especificadas al variar la temperatura de entrada de reactivos y de refrigerante, hubo grandes desviaciones cuando se modificó la concentración de entrada de A. Esto se debe probablemente a que el estimador de estados de horizonte móvil no está funcionando adecuadamente y no calcula los términos de perturbaciones como debe. En cualquier caso, no hubo en ningún momento inestabilidad del controlador.

Por otra parte, el optimizador en tiempo real funcionó correctamente. Al modificar los precios de las especies desde el SCADA, se calculaban automáticamente nuevas consignas a las que luego el controlador intentaba llevar al proceso. Se notó que el controlador no era capaz de alcanzar lo impuesto por el optimizador cuando ambos caudales de reactivos y de refrigerante debían ser llevados al mínimo. Esta situación no fue estudiada a la hora de obtener el modelo del proceso, por lo que está fuera de su rango de validez.



Con todo esto, se puede concluir que el desarrollo e implementación de capas superiores de la pirámide de automatización a los procesos no es una tarea sencilla y requiere de conocimientos multidisciplinares. Se deben pasar por múltiples etapas, desde la comprensión de como funciona el proceso, su modelado, la formulación del controlador, etc. hasta la integración de todos los elementos con el SCADA. Aunque en el presente trabajo se estudia la implementación a una simulación de la planta conectada al SCADA, es de preveer que la implementación en el proceso real será más compleja y se requerirá estudiar más a fondo la formulación del controlador y agregar factores como el filtrado de las señales y la calibración de los sensores de la planta. La estimación de estados también deberá ser revisada para que el controlador pueda rechazar efectivamente perturbaciones no medidas.

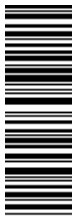


Bibliografía

- [1] Thomas Edgar, David Himmelblau y Ladson Leon. *Optimization of Chemical Processes*. 2da edición. McGraw Hill, 2001.
- [2] Fundación Empresarial de la Industria Química Española. *Radiografía del sector químico español 2019*. URL: <https://www.feique.org/el-sector-en-cifras/> (visitado 07-05-2020).
- [3] Seborg Dale, Thomas Edgar, Duncan Mellichamp y Fancis J. Doyle. *Process Dynamics and Control*. 4ta edición. Wiley, 2016. ISBN: 978-1-119-28595-3.
- [4] Thomas Marlin. *Process Control: Designing Processes and Control Systems for Dynamic Performance*. 2da edición. McGraw Hill, 200.
- [5] Michael G. Forbes, Rohit S. Patwardhan, Hamza Hamadah y R. Bhushan Gopaluni. «Model Predictive Control in Industry: Challenges and Opportunities». En: *IFAC-PapersOnLine* 48.8 (ene. de 2015), págs. 531-538. ISSN: 2405-8963. DOI: 10.1016/J.IFACOL.2015.09.022. URL: <https://www.sciencedirect.com/science/article/pii/S2405896315011039>.
- [6] J Rawlings, D Q Mayne y Moritz Diehl. *Model Predictive Control: Theory, Computation, and Design*. Ene. de 2017.
- [7] R E Kalman. «A New Approach to Linear Filtering and Prediction Problems». En: *Journal of Basic Engineering* 82.1 (mar. de 1960), págs. 35-45. ISSN: 0021-9223. DOI: 10.1115/1.3662552. URL: <https://doi.org/10.1115/1.3662552>.
- [8] Cesar de Prada, Daniel Sarabia, Gloria Gutierrez, Elena Gomez, Sergio Marmol, Mikel Sola, Carlos Pascual y Rafael Gonzalez. «Integration of RTO and MPC in the Hydrogen Network of a Petrol Refinery». En: *Processes* 5.4 (ene. de 2017), pág. 3. ISSN: 2227-9717. DOI: 10.3390/pr5010003. URL: <http://www.mdpi.com/2227-9717/5/1/3>.
- [9] Jesus María Zamarreño Cosme. *Acceso a datos mediante OPC*. 2010. URL: <http://www.andavira.com/catalogo/?idlibro=310%7B%5C%7Dcat=5%7B%5C%7Dcat2=1%7B%5C%7Dcat3=2%7B%5C%7Dlibros=check%7B%5C%7Dlang=esp>.
- [10] Wolfgang Mahnke, Stefan-Helmut Leitner y Matthias Damm. *OPC Unified Architecture*. 1st. Springer Publishing Company, Incorporated, 2009. ISBN: 3540688986.
- [11] Lorenz T Biegler. *Nonlinear Programming: Concepts, Algorithms and Applications to Chemical Processes*. Society for Industrial y Applied Mathematics, ene. de 2010, pág. 410. ISBN: 978-0-89871-702-0. DOI: doi : 10 . 1137 / 1 . 9780898719383. URL: <https://doi.org/10.1137/1.9780898719383>.
- [12] Guido Lorenzoni. *Dynamic Optimization Methods with Applications*. 2009. URL: <https://ocw.mit.edu>.
- [13] Philip E Gill, Walter Murray y Michael A Saunders. «SNOPT: An SQP Algorithm for Large-Scale Constrained Optimization». En: *SIAM Review* 47.1 (ene. de 2005), págs. 99-131. ISSN: 0036-1445. DOI: 10 . 1137 / S0036144504446096. URL: <https://doi.org/10.1137/S0036144504446096>.
- [14] Daniel López, Gloria Rodríguez, Pedro Herrero y César Moraga. «New features in dynamic optimization with EcosimPro(TM)». En: *ITEGAM-JETIA* 4.13 SE -



- Articles (mar. de 2018). DOI: 10.5935/2447-0228.201838. URL: <https://itegam-jetia.org/journal/index.php/jetia/article/view/38>.
- [15] Lorenz T Biegler. «Solution of dynamic optimization problems by successive quadratic programming and orthogonal collocation». En: *Computers & Chemical Engineering* 8.3 (1984), págs. 243-247. ISSN: 0098-1354. DOI: [https://doi.org/10.1016/0098-1354\(84\)87012-X](https://doi.org/10.1016/0098-1354(84)87012-X). URL: <http://www.sciencedirect.com/science/article/pii/009813548487012X>.
- [16] Luis Bergh. «A Hybrid Approach to Empirically Test Process Monitoring, Diagnosis and Control Strategies». En: *Advances in Intelligent and Soft Computing* 126 (ene. de 2012), págs. 215-222. DOI: 10.1007/978-3-642-25908-1_28.
- [17] Sergio Sanz. «Diseño de una planta piloto híbrida y control de la misma». Trabajo de Investigación. Universidad de Valladolid, 2015.
- [18] Juan Manuel Gordo Martín. «Control de una planta piloto de intercambio de calor». Trabajo de Fin de Grado. Universidad de Valladolid, 2016. URL: <https://bit.ly/2wAsfPP>.
- [19] María Paloma Marcos Núñez. «Implementación de una planta piloto, desarrollo de su sistema de control y estudio de su operación óptima». Trabajo de Fin de Máster. Universidad de Valladolid, 2017. URL: <https://bit.ly/38w6EVR>.
- [20] Marcos Pérez González. «Desarrollo de un servidor OPC para la tarjeta de adquisición de datos externa PMD-1208FS». Trabajo de Fin de Grado. Universidad de Valladolid, 2007.
- [21] J G van de Vusse. «Plug-flow type reactor versus tank reactor». En: *Chemical Engineering Science* 19.12 (1964), págs. 994-996. ISSN: 0009-2509. DOI: [https://doi.org/10.1016/0009-2509\(64\)85109-5](https://doi.org/10.1016/0009-2509(64)85109-5). URL: <http://www.sciencedirect.com/science/article/pii/0009250964851095>.
- [22] Jesús M. Zamarreño, María J. Fuente y Luis F. Acebes. «Desarrollo de un controlador PID accesible como servidor OPC». En: *XXXVI Jornadas de Automática*. Bilbao: Comité Español de Automática (CEA-IFAC), 2015, págs. 997-1000. URL: <https://bit.ly/38L0vDI>.
- [23] T H Chilton, T B Drew y R H Jebens. «Heat Transfer Coefficients in Agitated Vessels». En: *Industrial & Engineering Chemistry* 36.6 (jun. de 1944), págs. 510-516. ISSN: 0019-7866. DOI: 10.1021/ie50414a006. URL: <https://doi.org/10.1021/ie50414a006>.
- [24] T L Bergman, F P Incropera, D P DeWitt y A S Lavine. *Fundamentals of Heat and Mass Transfer*. 7ma edición. Wiley, 2011, pág. 544. ISBN: 9780470501979. URL: <https://books.google.es/books?id=vvyIoXEywMoC>.



Apéndice A

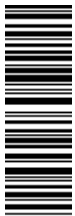
Anexos

A.1. Pre-experimento: calentamiento e enfriamiento

Se hizo un pre-experimento para tener una idea de que tan rapido se calienta el reactor y que tan efectivo es su enfriamiento. Esto permitio conocer mejor la planta y apporto informacion util para preparar tanto la simulacion de la planta como la planeacion del experimento para ajustar los parametros del modelo. Se siguieron los siguientes pasos:

- Desconectar el bloque que simula la reaccion quimica. Esto permite operar con una potencia constante las resistencias electricas.
- Llenar el reactor con agua hasta el nivel normal de operacion.
- Encender el agitador y se ajusto su velocidad de giro hasta un valor del 30 %.
- Cerrar la valvula de refrigerante y apagar la bomba de reactivos.
- Encender las resistencias a su maxima potencia, enviando una señal de 3.3 V al amplificador.
- Apagar las resistencias una vez el reactor alcance 60°C.
- Esperar alrededor de quince minutos para ver como eran las perdidas al ambiente.
- Finalmente, abrir la valvula de refrigerante hasta el 100 %.

Los resultados de los experimentos se muestran en las figuras 36 y 37. Se puede ver que la temperatura del reactor solo disminuye dos grados durante los quince minutos en los que no hay calentamiento ni enfriamiento. Se puede concluir que las perdidas al ambiente son despreciables. Ademas, la capacidad de enfriamiento es muy similar a la de calentamiento, lo que es bueno para la regulacion de temperatura. Los datos de este experimento se pueden usar para dar una estimacion inicial del coeficiente de transferencia de calor y conocer la velocidad maxima a la que pueda cambiar la temperatura, siendo esto de importancia para el filtrado de las señales.



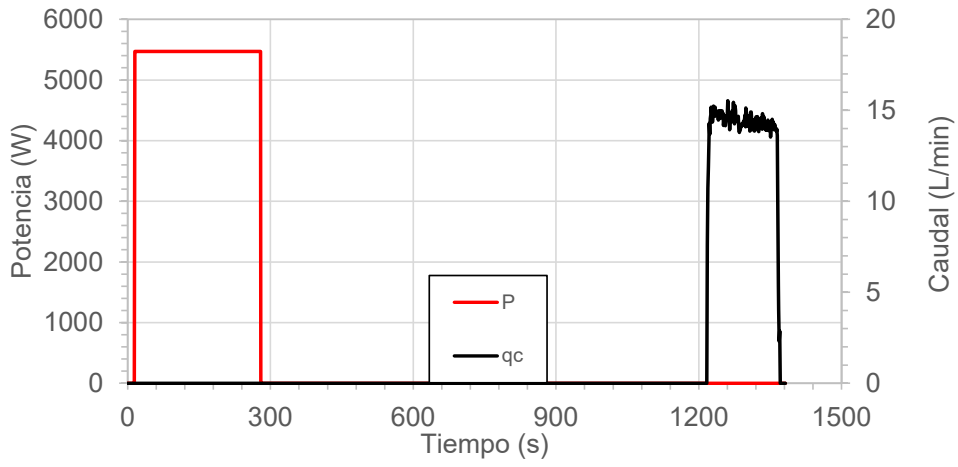


Figura 36: Potencia de las resistencias y caudal de refrigerante.

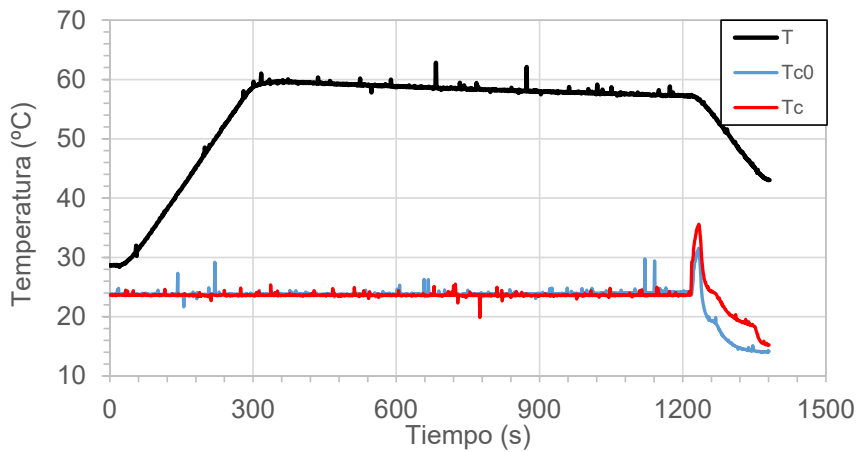
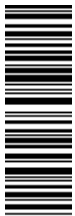


Figura 37: Temperatura del reactor (T), de entrada (T_{c0}) y de salida del serpentín (T_c).



A.2. Conversion de señales

La tarjeta de adquisicion de datos tiene seis variables de entrada y tres de salida. A continuacion se recopilan todas las ecuaciones de conversion, de voltios (x) a unidades de ingenieria (y), utilizadas.

Señales de entrada:

- Temperatura de reactivos ($^{\circ}\text{C}$)

$$y = 25.323 \cdot x - 26.728 \quad (39)$$

- Temperatura entrada de refrigerante ($^{\circ}\text{C}$)

$$y = 25.323 \cdot x - 26.728 \quad (40)$$

- Temperatura del reactor ($^{\circ}\text{C}$)

$$y = 25.323 \cdot x - 26.728 \quad (41)$$

- Temperatura de salida de refrigerante ($^{\circ}\text{C}$)

$$y = 25.323 \cdot x - 26.728 \quad (42)$$

- Caudal de reactivos (L/min)

$$y = 0.760 \cdot x - 0.600 \quad (43)$$

- Caudal de refrigerante (L/min)

$$y = 6.046 \cdot x - 5.212 \quad (44)$$

Señales de salida:

- Velocidad de la bomba de reactivos (rpm)

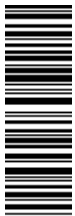
$$y = 120 \cdot x \quad (45)$$

- Apertura de la valvula de refrigerante (%)

$$y = 100 - 20 \cdot x \quad (46)$$

- Potencia del amplificador (W)

$$y = 166.49 \cdot x^5 - 1401.4 \cdot x^4 + 3654.6 \cdot x^3 - 2480.8 \cdot x^2 + 700.02 \cdot x - 122.73 \quad (47)$$



A.3. Bloque simulador

La simulación de la reacción se programó en el lenguaje EL de EcosimPro ®.

- Componente

```

1 COMPONENT Bloque_CalculLectura
2
3 DATA
4
5 REAL V = 11.5 "Volumen del reactor(L)"
6 REAL R = 0.00831 "Constante de los gases ideales (kJ/mol/K)"
7 REAL cA0 = 5 "Concentracion entrada A (mol/L)"
8 REAL Ea1 = 81.09 "Energia de activacion (kJ/mol)"
9 REAL Ea2 = 81.09 "Energia de activacion (kJ/mol)"
10 REAL Ea3 = 71.13 "Energia de activacion (kJ/mol)"
11 REAL k10 = 2.145e10 "Factor preexponencial (1/min)"
12 REAL k20 = 2.145e10 "Factor preexponencial (1/min)"
13 REAL k30 = 1.507e8 "Factor preexponencial (1/min/mol)"
14 REAL dHrxn1 = 4.2 "Calor de reaccion (kJ/mol)"
15 REAL dHrxn2 = -11 "Calor de reaccion (kJ/mol)"
16 REAL dHrxn3 = -41.85 "Calor de reaccion (kJ/mol)"
17
18 DECLS
19
20 REAL Operacion "Modo de operacion (s/u)"
21 -- Mediciones
22 REAL q "Caudal volumetrico en (L/min)"
23 REAL T "Temperatura del reactor (C)"
24 REAL T0 "Temperatura de entrada al reactor (C)"
25 -- Calculos
26 REAL cA, cB, cC, cD "Concentracion A (mol/L)"
27 REAL r1, r2, r3 "Velocidad de la reaccion 1 (mol/L/min)"
28
29 -- Salidas
30 REAL x "Conversion (s/u)"
31 REAL P "Calor de reaccion (W)"
32
33 INIT
34 cA = 0
35 cB = 0
36 cC = 0
37 cD = 0
38 T = T0
39
40 CONTINUOUS
41 -- Las reacciones son
42 -- A -1-> B -2-> C
43 -- 2A -3-> D
44 -- Calculo de la conversion
45 x = (cA0 - cA)/cA0
46 -- Calculo de la velocidad de reaccion
47 r1 = k10*exp(-Ea1/(R*(T+273.15)))*cA*V
48 r2 = Operacion*k20*exp(-Ea2/(R*(T+273.15)))*cB*V
49 r3 = Operacion*k30*exp(-Ea3/(R*(T+273.15)))*cA**2*V
50 -- Balances de materia
51 V*cA' = q*(cA0 - cA) + (-r1 - 2*r3)/60
52 V*cB' = -q*cB + ( r1 - r2)/60
53 V*cC' = -q*cC + ( r2 )/60
54 V*cD' = -q*cD + ( r3)/60
55 -- Potencia del amplificador
56 P = (1000/60)*V*( - dHrxn1*r1 - dHrxn2*r2 - dHrxn3*r3 )
57

```



58 END COMPONENT

■ Experimento

```

1 EXPERIMENT OPC_Calculectura ON Bloque_Calculectura.partition1
2   DECLS
3   OBJECTS
4   INIT
5       -- initial values for state variables
6
7   BOUNDS
8       -- Set equations for boundaries: boundVar = f(TIME;...)
9       -- Valores tomados de https://www.ncbi.nlm.nih.gov/pmc/articles/
10      PMC4539502/
11      -- Se han corregido los valores de la energia de activacion para
12      que la reaccion pueda tener lugar a 40C
13
14      -- Estos valores sirven como referencia pero deben eliminarse en
15      el servidor OPC.
16
17      /*
18      Ea1 = 81.09
19      Ea2 = 81.09
20      Ea3 = 71.13
21      Operacion = 1
22      T = 15
23      T0 = 15
24      cA0 = 5
25      dHrxn1 = 4.2
26      dHrxn2 = -11
27      dHrxn3 = -41.85
28      k10 = 2.145e10
29      k20 = 2.145e10
30      k30 = 1.507e8
31      q = 1
32      */
33
34   BODY
35       -- creates an ASCII file with the results in table format
36       -- REPORT_TABLE("results.rpt", "*",TRUE)
37
38       -- set the debug level (valid range [0,4])
39       DEBUG_LEVEL= 1
40       -- select default integration solver. Valid methods are IDAS (
41       _SPARSE), DASSL(_SPARSE), CVODE_BDF(_SPARSE), CVODE_AM, RK4, EULER,
42       AM1, AM2 and AM4
43       IMETHOD= IDAS -- default is DASSL, recommended is either IDAS or
44       IDAS_SPARSE
45       -- set tolerances and other important inputs
46       REL_ERROR = 1e-06 -- transient solver relative tolerance
47       ABS_ERROR = 1e-06 -- transient solver absolute tolerance
48       TOLERANCE = 1e-06 -- steady solver relative tolerance
49       INIT_INTEG_STEP = -1 -- initial integration step size (-1 means use
50       the solver estimation)
51       MAX_INTEG_STEP = -1 -- maximum integration step size (-1 means use
52       the solver estimation)
53       NSTEPS = 1 -- Only for explicit solvers use CINT/NSTEPS as
54       integration step size
55       REPORT_MODE = IS_EVENT -- by default it reports results at every
56       CINT and event detection. Other valid options are IS_STEP, IS_CINT and
57       IS_MANUAL_REFRESH
58
59       -- simulate a transient in range[TIME,TSTOP] reporting every CINT
60       TIME = 0

```



```
50      TSTOP = 15
51      CINT = 1
52      INTEG()
53 END EXPERIMENT
```



A.4. Simulacion de la planta

La simulacion de la planta se programo en el lenguaje EL de Ecosimpro ®.

- Componente

```

1 COMPONENT SimulacionReactor
2
3 DATA
4
5 REAL V = 11.5           "Volumen del reactor (L)"
6 REAL Vc = 1            "Volumen de la camisa (L)"
7 REAL rho = 1           "Densidad del agua (kg/L)"
8 REAL Cp = 4.184        "Capacidad Calorifica del agua (kJ/kg/C)"
9
10 -- Parametros de la reaccion
11 REAL UA = 7.182       "Coeficiente global de transferencia de
    calor"
12
13 -- Variables medidas
14 REAL T0 = 10          "Temperatura reactivos (C)"
15 REAL Tc0 = 10         "Temperatura entrada refrigerante (C)"
16
17 -- Variables manipuladas
18 REAL Out_Volts00 = 2.5 "Senal de la valvula (V)"
19 REAL Out_Volts01 = 1   "Senal del amplificador (V)"
20 REAL Out_Volts02 = 2.5 "Senal de la bomba (V)"
21
22 DECLS
23
24 REAL q           "Caudal reactivos (L/min)"
25 REAL qc          "Caudal refrigerante (L/min)"
26
27 -- Salidas medidas del proceso
28 REAL T           "Temperatura reactor (C)"
29 REAL Tc          "Temperatura refrigerante (C)"
30
31 -- Otras variables del modelo
32 REAL Q           "Calor transferido (kJ/mol)"
33 REAL Heat_rxn    "Calor generado (kJ/min)"
34 -- Variables de la DAQ
35 REAL In_Volts00, In_Volts01, In_Volts02, In_Volts03, In_Volts04,
    In_Volts06     "Senal de 1 a 5 V"
36
37 INIT
38
39 T = T0+10
40 Tc = Tc0+10
41
42 CONTINUOUS
43
44 -- Variables de salida
45 q = 0.3*Out_Volts02 -- qmax = 1.5
46 qc = 5*Out_Volts00  -- qcmax = 15 (La valvula se abre hasta el
60%
47 -- Se convierte el calor de la reaccion de W a kJ/min
48 Heat_rxn = 2*(60/1000)*(63.007*Out_Volts01**5 - 537.74*
    Out_Volts01**4 + 1340.7*Out_Volts01**3 - 563.35*Out_Volts01**2 -
    34.826*Out_Volts01 + 12.836)
49
50 -- Balances de energia
51 -- Reactor
52 rho*Cp*V*T' = (q*rho*Cp*(T0 - T) - Q + Heat_rxn)/60
53

```



```

54     -- Camisa
55     rho*Cp*Vc*Tc' = (qc*rho*Cp*(Tc0 - Tc) + Q)/60
56
57     -- Transferencia de calor
58     Q = UA*(T - Tc)
59
60     -- Variables medidas
61     In_Volts00 = 1.316*q + 0.789           -- Caudal de reactivos
62     In_Volts01 = 0.165*qc + 0.863       -- Caudal de refrigerante
63     In_Volts02 = 0.04*T + 1             -- Temperatura del reactor
64     In_Volts03 = 0.04*Tc0 + 1          -- Temperatura entrada
refrigerante
65     In_Volts04 = 0.04*Tc + 1           -- Temperatura serpentín
66     In_Volts06 = 0.04*T0 + 1          -- Temperatura reactivos
67
68 END COMPONENT

```

■ Experimento

```

1 EXPERIMENT SimulacionVandeVusse ON SimulacionReactor.partition1
2   DECLS
3   OBJECTS
4
5   BOUNDS
6     -- Set equations for boundaries: boundVar = f(TIME;...)
7
8
9   BODY
10    -- creates an ASCII file with the results in table format
11    --REPORT_TABLE("results.csv", "T Tc Ca Cb Cc Cd q qc T0 Tc0")
12    -- set the debug level (valid range [0,4])
13    DEBUG_LEVEL= 1
14    -- select default integration solver. Valid methods are IDAS (
    _SPARSE), DASSL(_SPARSE), CVODE_BDF(_SPARSE), CVODE_AM, RK4, EULER,
    AM1, AM2 and AM4
15    IMETHOD= IDAS -- default is DASSL, recommended is either IDAS or
    IDAS_SPARSE
16    -- set tolerances and other important inputs
17    REL_ERROR = 1e-06 -- transient solver relative tolerance
18    ABS_ERROR = 1e-06 -- transient solver absolute tolerance
19    TOLERANCE = 1e-06 -- steady solver relative tolerance
20    INIT_INTEG_STEP = -1 -- initial integration step size (-1 means use
    the solver estimation)
21    MAX_INTEG_STEP = -1 -- maximum integration step size (-1 means use
    the solver estimation)
22    NSTEPS = 1 -- Only for explicit solvers use CINT/NSTEPS as
    integration step size
23    REPORT_MODE = IS_EVENT -- by default it reports results at every
    CINT and event detection. Other valid options are IS_STEP, IS_CINT and
    IS_MANUAL_REFRESH
24
25    -- simulate a transient in range[TIME,TSTOP] reporting every CINT
26    TIME = 0
27    TSTOP = 120
28    CINT = 1
29    INTEG()
30 END EXPERIMENT

```



A.5. Procesador de ficheros de ReadOPC

Este script se programo en Python. Su funcion es organizar los datos recolectados con ReadOPC en un fichero que se pueda leer facilmente desde Excel ® o EcosimPro ®.

```

1 # El fichero original debe llamarse Datos_Crudos.txt
2 import os
3 import csv
4
5 # Lectura del directorio actual
6 current_directory = script_dir = os.path.dirname(__file__)
7
8 # Ruta del archivo de datos
9 Datos_Crudos = os.path.join(current_directory, "Datos_Crudos.txt")
10 Datos_Tratados = os.path.join(current_directory, "Datos_Tratados.txt")
11
12 # Lectura del fichero de datos
13 with open(Datos_Crudos, "r") as f:
14     Datos = f.readlines()
15
16 # Captura del numero de tags y periodo de muestreo
17 # Se convierte el SamplingTime de segundos a minutos
18 NumTags = int(Datos[0][8:10])
19 SamplingTime = float(Datos[0][-2])/60
20
21 # Eliminacion de columnas basura
22 Datos.pop(0)
23 Datos.pop(1)
24 Datos.pop(1)
25 Datos.pop(1)
26
27 # Extraccion de datos
28 Datos_Extraidos = []
29 for n in range(1, len(Datos)):
30     a = 0
31     b = 20
32     Tags = [None]*(NumTags + 1)
33     Tags[0] = str((n-1)*SamplingTime)
34     for k in range(1, NumTags + 1):
35         a = b + 1
36         b = a + 8
37         Tags[k] = Datos[n][a:b].replace(", ", ".")
38     Datos_Extraidos.append(Tags)
39
40 # Escritura del fichero nuevo
41 with open(Datos_Tratados, 'w') as f:
42     wr = csv.writer(f, delimiter='\t', lineterminator='\n')
43     for row in Datos_Extraidos:
44         wr.writerow(row)

```



A.6. Ejecutor de experimentos

El script de ejecución de experimentos se programa en Python. Hace uso de las librerías OpenOPC, time, sys y datetime.

```

1 import OpenOPC
2 import time
3 import sys
4 from datetime import datetime
5
6 # Valores de las variables manipuladas.
7 # [Velocidad Bomba reactivos, Apertura valvula de refrigerante]
8 u = [[310, 30], [260, 30], [360, 30], [410, 10], [410, 20], [360, 20],
9      [360, 50], [460, 50], [510, 30], [460, 30], [460, 20], [410, 20],
10     [410, 50], [310, 50], [310, 40], [260, 60], [160, 60], [160, 40],
11     [310, 40], [310, 20], [410, 20], ]
12
13 # Tiempo de ejecucion
14 tiempo = [50, 25, 25, 16, 15, 5, 16, 21, 20,
15          10, 6, 5, 49, 8, 7, 15, 10, 5, 15, 5, 15]
16
17 # Aceleracion: Use 1 para tiempo real
18 factor_aceleracion = 1
19
20 # Conexion al servidor OPC
21 opc = OpenOPC.client()
22 opc.connect('Archestra.FSGateway.3')
23
24 # Inicializacion del contador de cambios
25 n = 0
26
27 for inter in tiempo:
28     now = datetime.now()
29     current_time = now.strftime("%H:%M:%S")
30     # Escritura de la velocidad de la bomba de reactivos
31     opc.write(('Simulacion.Grupo1.Out_Volts02', u[n][0]/120))
32     print(" Bomba de reactivos a " + str(u[n][0]) + ' rpm')
33
34     # Escritura de la apertura de la valvula de refrigerante
35     opc.write(('Simulacion.Grupo1.Out_Volts00', 5-u[n][1]/20))
36     print("Apertura valvula de refrigerante a " + str(u[n][1]) + ' %')
37
38     # Agregar el cambio al contador
39     n += 1
40
41     # Imprimir en pantalla cuantos cambios se han ejecutado
42     print("\n")
43     if n == 1:
44         print('Se ha realizado ' + str(n) + ' cambio')
45     elif n >= 1:
46         print('Se han realizado ' + str(n) + ' cambios\n')
47
48     # Dormir hasta el proximo cambio
49     time.sleep(inter*60/factor_aceleracion)
50
51 # Reporte de finalizacion del experimento
52 now = datetime.now()
53 current_time = now.strftime("%H:%M:%S")
54 print(current_time + ': El experimento ha terminado. Exitosamente?')
55
56 opc.close()

```



A.7. Código estimacion de parametros

El problema de optimizacion dinamica de estimacion de parametros se resolvió en Eco-simPro®. El componente contiene la simulacion dinamica y, por tanto, el calculo de la funcion de coste. El experimento hace llamadas al optimizador externo y devuelve nuevos valores de los parametros a la simulacion.

A.7.1. Componente

```

1 USE MATH
2 COMPONENT SimReactor (INTEGER nsal = 3)
3
4     DATA
5
6         REAL V = 11.5           "Volumen del reactor (L)"
7         REAL Vc = 1            "Volumen de la camisa (L)"
8         REAL R = 0.00831       "Constante de los gases (kJ/mol/K)"
9         REAL rho = 1           "Densidad del agua (kg/L)"
10        REAL Cp = 4.184        "Capacidad Calorifica del agua (kJ/kg/C)"
11        REAL Ca0 = 5           "Concentracion de entrada de A (mol/L)"
12        REAL T0 = 10           "Temperatura de entrada de los reactivos (C)"
13        REAL Tc0 = 10          "Temperatura de entrada de los reactivos (C)"
14
15        -- Parametros a estimar
16        REAL k10 = 3.2          "Factor pre exponencial"
17        REAL k20 = 15.6
18        REAL k30 = 3.2
19        REAL dHrxn1 = -3
20        REAL dHrxn2 = -7
21        REAL dHrxn3 = -12
22        REAL Ea1 = 18.09
23        REAL Ea2 = 18.09
24        REAL Ea3 = 15.21
25        REAL alpha = 1.2197
26
27        -- Optimizador
28        REAL pesos[3] = {1, 1, 1}
29        REAL media[3] = {26.31, 12.33, 2.94}
30        REAL LiminfT = 5
31        REAL LimsupT = 60
32        REAL LiminfTc = 5
33        REAL LimsupTc = 60
34        REAL LiminfCa = 0
35        REAL LimsupCa = 5
36        REAL C = 5
37
38
39     DECLS
40     -- Caudales
41     REAL q           "Caudal reactivos (L/min)"
42     REAL qc          "Caudal refrigerante (L/min)"
43
44     -- Salidas medidas del proceso
45     REAL T           "Temperatura reactor (C)"
46     --REAL T0
47     REAL Tc          "Temperatura refrigerante (C)"
48     --REAL Tc0
49
50     -- Otras variables del modelo
51     REAL Q           "Calor transferido (kJ/mol)"
52     REAL Heat_rxn    "Calor generado (kJ/min)"
53     REAL Ca, Cb, Cc, Cd

```



```

54     REAL r1, r2, r3
55     REAL UA
56
57     -- Lectura de datos
58     TABLE_1D tab1, tab2, tab3, tab4, tab5, tab6, tab7, tab8, tab9, tab10
59
60     -- Optimizador
61     REAL F_optim[7]
62     REAL J[nsal]
63     REAL J_costo
64     REAL y_real[nsal], y_modelo[nsal]
65     REAL coef = 0
66
67
68     INIT
69     -- Coeficiente que activa el indice de coste
70     coef = 1
71
72     -- Lectura de variables
73     -- Variables de entrada
74     q = 0.760*linearInterp1D(tab1, TIME) - 0.6
75     qc = 6.046*linearInterp1D(tab2, TIME) - 5.212
76     --T0 = 25.323*linearInterp1D(tab3, TIME) - 26.728
77     --Tc0 = 25.323*linearInterp1D(tab4, TIME) - 26.728
78     -- Variables de salida
79     y_real[1] = 25*linearInterp1D(tab5, TIME) - 25
80     y_real[2] = 25*linearInterp1D(tab6, TIME) - 25
81     y_real[3] = linearInterp1D(tab7, TIME)
82
83     y_modelo[1] = y_real[1]
84     y_modelo[2] = y_real[2]
85     y_modelo[3] = y_real[3]
86
87     T = y_real[1]
88     Tc = y_real[2]
89     Ca = y_real[3]
90
91     Cb = linearInterp1D(tab8, TIME)
92     Cc = linearInterp1D(tab9, TIME)
93     Cd = linearInterp1D(tab10, TIME)
94     CONTINUOUS
95
96     -- Lectura de variables
97     -- Variables de entrada
98     q = 0.760*linearInterp1D(tab1, TIME) - 0.6
99     qc = 6.046*linearInterp1D(tab2, TIME) - 5.212
100    --T0 = 25.323*linearInterp1D(tab3, TIME) - 26.728
101    --Tc0 = 25.323*linearInterp1D(tab4, TIME) - 26.728
102    -- Variables de salida
103    y_real[1] = 25*linearInterp1D(tab5, TIME) - 25
104    y_real[2] = 25*linearInterp1D(tab6, TIME) - 25
105    y_real[3] = linearInterp1D(tab7, TIME)
106
107    -- Balances de materia
108    V*Ca' = q*(Ca0 - Ca) + (-r1 - 2*r3)
109    V*Cb' = -q*Cb + ( r1 - r2)
110    V*Cc' = -q*Cc + ( r2 )
111    V*Cd' = -q*Cd + ( r3)
112    r1 = k10*exp(-Ea1/(R*(T+273.15)))*Ca*V
113    r2 = k20*exp(-Ea2/(R*(T+273.15)))*Cb*V
114    r3 = k30*exp(-Ea3/(R*(T+273.15)))*Ca**2*V
115
116    -- Balances de energia

```



```

117     -- Reactor
118     rho*Cp*V*T' = q*rho*Cp*(T0 - T) - Q + Heat_rxn
119     -- Camisa
120     rho*Cp*Vc*Tc' = qc*rho*Cp*(Tc0 - Tc) + Q
121     -- Transferencia de calor
122     Q = UA*(T - Tc)
123     UA = alpha*qc**0.8
124     -- Calor generado por la reaccion
125     Heat_rxn = V*( - dHrxn1*r1 - dHrxn2*r2 - dHrxn3*r3 )
126
127     -- Optimizador
128     -- Subtotales del indice de coste
129     EXPAND(i IN 1,3) J[i] = (abs(y_modelo[i] - y_real[i])/(media[i]*C) -
log(1+abs(y_modelo[i] - y_real[i])/(media[i]*C)))
130     -- Funcion de coste
131     J_costo' = C**2*SUM(i IN 1,3; pesos[i]*J[i])
132
133     -- Restricciones no lineales (expresiones c(x) <= 0)
134     F_optim[1] = J_costo
135     F_optim[2] = MATH.min(T,LiminfT) - LiminfT
136     F_optim[3] = MATH.max(T,LimsupT) - LimsupT
137     F_optim[4] = MATH.min(Tc,LiminfTc) - LiminfTc
138     F_optim[5] = MATH.max(Tc,LimsupTc) - LimsupTc
139     F_optim[6] = MATH.min(Ca,LiminfCa) - LiminfCa
140     F_optim[7] = MATH.max(Ca,LimsupCa) - LimsupCa
141
142     -- Asignacion de valores del modelo
143     y_modelo[1] = T
144     y_modelo[2] = Tc
145     y_modelo[3] = Ca
146
147 END COMPONENT

```

A.7.2. Experimento

```

1 USE OPTIM_METHODS
2
3 EIDAS calculoSens
4
5 CONST INTEGER numC = 6           -- numero de restricciones del problema de
optimizacion
6 CONST INTEGER numU = 10         -- numero de variables de decision
7 --CONST INTEGER numX = 4       -- numero de variables de estado + 1 (
costo)
8
9 FUNCTION INTEGER coste_y_restricciones (IN REAL esnopt_x[], IN INTEGER needF,
OUT REAL esnopt_F[], IN INTEGER explicit_derivatives, IN INTEGER needG, OUT
REAL esnopt_G[])
10
11 DECLS
12     REAL arr_quad[ numC + 1 ]           -- array de integrales
temporales
13     REAL arr_quadSEN[ (numC + 1) * numU ] -- array de sensibilidad de
las integrales
14     REAL arr_quadSEN_p[ (numC + 1) * numU ] -- array de la derivada
temporal de la sensibilidad de las integrales
15 --     REAL arr_sen[ numX * numU ]     -- array de sensibilidad de
los estados
16 --     REAL arr_sen_p[ numX * numU ]   -- array de la derivada
temporal de la sensibilidad de los estados
17
18 BODY
19     FOR( j IN 1,numC + 1 )

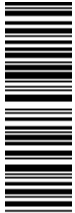
```



```

20         arr_quad[ j ] = 0
21     END FOR
22     FOR( j IN 1, (numC + 1) * numU )
23         arr_quadSEN[ j ] = 0
24         arr_quadSEN_p[ j ] = 0
25     END FOR
26 --     FOR( j IN 1, numX * numU )
27 --         arr_sen[ j ] = 0
28 --         arr_sen_p[ j ] = 0
29 --     END FOR
30
31     -- Actualizar las variables de decision a los valores que propone el
32     optimizador
33     calculoSens.setU( "k10", esnopt_x[1] )
34     calculoSens.setU( "k20", esnopt_x[2] )
35     calculoSens.setU( "k30", esnopt_x[3] )
36     calculoSens.setU( "dHrxn1", esnopt_x[4] )
37     calculoSens.setU( "dHrxn2", esnopt_x[5] )
38     calculoSens.setU( "dHrxn3", esnopt_x[6] )
39     calculoSens.setU( "Ea1", esnopt_x[7] )
40     calculoSens.setU( "Ea2", esnopt_x[8] )
41     calculoSens.setU( "Ea3", esnopt_x[9] )
42     calculoSens.setU( "alpha", esnopt_x[10] )
43     SET_INIT_ACTIVE(TRUE)
44
45     -- Reiniciar el calculo de sensibilidades con los nuevos valores de los
46     parametros
47     calculoSens.reiniciar()
48     calculoSens.calculateSens( TSTOP )           -- calculoSens.
49     getSens( TSTOP, arr_sen, arr_sen_p )
50     calculoSens.getQuad( arr_quad, arr_quadSEN ) -- calculo de las
51     cuadraturas y sus sensibilidades
52     calculoSens.getQuadN( arr_quadSEN_p, 1 )    -- calculo de la
53     derivada de las sensibilidades de las cuadraturas
54
55     -- Introduccion de los gradientes de la funcion de costo y
56     restricciones a SNOPT
57     -- si la funcion es de camino, hay que introducir la derivada parcial
58     de la cuadratura ( arr_quadSEN )
59     -- en caso contrario, si la restriccion es de punto final, al usar
60     arr_quadSEN_p se usa la derivada parcial del valor de la funcion.
61     IF ( explicit_derivatives == 1) THEN
62         FOR( i IN 1,numU )
63             esnopt_G[i] = arr_quadSEN_p[ i ]      -- derivadas de las 7
64             F_optim respecto a las 4 variables de decision
65         END FOR
66
67         FOR( i IN numU+1,(numC+1)*numU )
68             esnopt_G[i] = arr_quadSEN[ i ]
69         END FOR
70
71     END IF
72
73     -- Introduccion de los valores de las funcines a SNOPT
74     -- si la funcion es de camino, hay que introducir la cuadratura (
75     arr_quad )
76     -- en caso contrario, si la restriccion es de punto final, al usar
77     F_optim se usa el valor de la funcion.
78     esnopt_F[1] = F_optim[1]
79     FOR( i IN 2,numC+1 )
80         esnopt_F[i] = arr_quad[ i ]
81     END FOR

```



```

72
73     RETURN 0
74 END FUNCTION
75
76 -- llamada a la funcion de residuos por parte de IDAS. No se debe modificar
77 -- IDAS propone unos valores de las variables y de las derivadas y pide
    calcular los residuos
78 FUNCTION NO_TYPE funcionResiduos( IN REAL tiempo, IN REAL var[], IN REAL der[],
    IN INTEGER numPar, IN STRING nomPar[], IN REAL par[], OUT REAL res[] )
79     DECLS
80     OBJECTS
81     BODY
82         FOR( i IN 1,numPar )
83             setValueReal( nomPar[i], par[i] )
84         END FOR
85
86         FRES_ARGS( tiempo, var, der, res, FALSE )
87
88 END FUNCTION
89
90 -- llamada a las funciones de cuadraturas por parte de IDAS, para el calculo de
    sensibilidades
91 -- utilizar el vector F_optim que se actualiza al llamar a los residuos
92 FUNCTION NO_TYPE funcionCuadraturas( IN REAL tiempo, IN REAL var[], IN REAL der
    [], IN INTEGER numPar, IN STRING nomPar[], IN REAL par[], OUT REAL quad[] )
93     DECLS
94     OBJECTS
95     BODY
96         FOR( i IN 1,numPar )
97             setValueReal( nomPar[i], par[i] )
98         END FOR
99
100        FRES_ARGS( tiempo, var, der, der, FALSE )
101
102        -- funciones de cuadraturas
103        FOR( i IN 1,7 )
104            quad[i] = F_optim[i]
105        END FOR
106
107 END FUNCTION
108
109 FUNC_PTR<ptrFunRes> ptrRes = funcionResiduos
110 FUNC_PTR<ptrFunRes> ptrQuad = funcionCuadraturas
111
112 EXPERIMENT Estim_vandeVusse ON SimReactor.partition1
113
114     DECLS
115
116     REAL dec_var[numU]           -- valor inicial de las variables de
    decision, size numU. Necesario para las llamadas a ESnopt
117
118     REAL xlow[numU]             -- valor inferior de las variables de
    decision, size numU. Necesario para las llamadas a ESnopt
119     REAL xupp[numU]             -- valor superior de las variables de decision,
    size numU. Necesario para las llamadas a ESnopt
120
121     REAL Flow[numC + 1]         -- valor inferior de la funcion objetivo y las
    restricciones, size (numC + funcion de coste). Necesario para las llamadas
    a ESnopt
122     REAL Fupp[numC + 1]         -- valor superior de la funcion objetivo y las
    restricciones, size (numC + funcion de coste). Necesario para las llamadas
    a ESnopt
123

```



```

124     INTEGER calcularSens = 1
125     INTEGER infoESnopt = 0
126
127 OBJECTS
128
129     VECTOR_STRING nombresX      -- variable auxiliar para la inicializacion
    de las sensibilidades
130 --     VECTOR_STRING nombresU    -- variable auxiliar para la inicializacion
    de las sensibilidades
131
132 INIT
133     -- initial values for state variables
134     k10 = 3.2
135     k20 = 15.6
136     k30 = 3.2
137     dHrxn1 = -3
138     dHrxn2 = -7
139     dHrxn3 = -12
140     Ea1 = 18.09
141     Ea2 = 18.09
142     Ea3 = 15.21
143     alpha = 1.2197
144
145 BOUNDS
146     -- Set equations for boundaries: boundVar = f(TIME;...)
147     coef = 1
148
149 BODY
150
151     readTableCols1D ("03-28-2020_2_Datos_Tratados.txt",1,2,tab1)  -- q
152     readTableCols1D ("03-28-2020_2_Datos_Tratados.txt",1,3,tab2)  -- qc
153     readTableCols1D ("03-28-2020_2_Datos_Tratados.txt",1,7,tab3)  -- T0
154     readTableCols1D ("03-28-2020_2_Datos_Tratados.txt",1,5,tab4)  -- Tc0
155     readTableCols1D ("03-28-2020_2_Datos_Tratados.txt",1,4,tab5)  -- T
156     readTableCols1D ("03-28-2020_2_Datos_Tratados.txt",1,6,tab6)  -- Tc
157     readTableCols1D ("03-28-2020_2_Datos_Tratados.txt",1,11,tab7) -- Ca
158     readTableCols1D ("03-28-2020_2_Datos_Tratados.txt",1,12,tab8) -- Cb
159     readTableCols1D ("03-28-2020_2_Datos_Tratados.txt",1,13,tab9) -- Cc
160     readTableCols1D ("03-28-2020_2_Datos_Tratados.txt",1,14,tab10) -- Cd
161
162     EXEC_INIT()
163     -- creates an ASCII file with the results in table format
164     -- REPORT_TABLE("results.rpt", "*",TRUE)
165
166     -- set the debug level (valid range [0,4])
167     DEBUG_LEVEL = 1
168     -- select default integration solver. Valid methods are IDAS (_SPARSE),
    DASSL(_SPARSE), CVODE_BDF(_SPARSE), CVODE_AM, RK4, EULER, AM1, AM2 and AM4
169     IMETHOD = IDAS_SPARSE -- default is DASSL, recommended is either IDAS or
    IDAS_SPARSE
170     -- Settings for different actions. Valid actions are: SEV_DISABLE,
    SEV_NONE, SEV_WARNING, SEV_ERROR, SEV_KILLPOINT, SEV_FATAL
171     eSetErrorAction(ERR_BAD_OPER,SEV_KILLPOINT) -- Detect bad numerical
    operations (eg division by zero), default is SEV_NONE, recommended is
    SEV_KILLPOINT
172     eSetErrorAction(ERR_NAN_INF, SEV_KILLPOINT) -- Detect NaN or Inf values,
    default is SEV_NONE, recommended is SEV_KILLPOINT
173     eSetConfig(CFG_FORCE_STOP_CINT,TRUE) -- Force or not to stop the solver
    each CINT. Sometimes you can speed up the simulation if you select FALSE
174     -- set tolerances and other important inputs
175     REL_ERROR = 1e-06 -- transient solver relative tolerance
176     ABS_ERROR = 1e-06 -- transient solver absolute tolerance
177     TOLERANCE = 1e-06 -- steady solver relative tolerance

```



```

178     INIT_INTEG_STEP = -1 -- initial integration step size (-1 means use the
solver estimation)
179     MAX_INTEG_STEP = -1 -- maximum integration step size (-1 means use the
solver estimation)
180     NSTEPS = 1 -- Only for explicit solvers use CINT/NSTEPS as integration
step size
181
182     -- Anadir las variables del jacobiano para el calculo de sensibilidades
183     -- NO MODIFICAR, LO REALIZA AUTOMATICAMENTE
184     -- SINTAXIS:
185     -- addX( nombre de la variable, valor inicial de la misma, booleano que
indica si la variable es T_DYNAMIC )
186     nombresX = getVariablesWithCategory( T_JACOBIAN_VARS )
187     FOR( i IN 1,nombresX.size() )
188         calculoSens.addX( nombresX.at(i), getValueReal( nombresX.at(i) ), (
getVarCategory( nombresX.at(i)) == 2 ) )
189     END FOR
190
191     -- Iniciliazacion del algoritmos de optimizacion
192     -- inicializaciom de las variables de decision, y los limites
193     -- SINTAXIS:
194     -- addU( nombre de la variable, valor inicial de la misma, booleano que
indica si el parametro es un valor inicial )
195     calculoSens.addU( "k10", k10, FALSE )
196     calculoSens.addU( "k20", k20, FALSE )
197     calculoSens.addU( "k30", k30, FALSE )
198     calculoSens.addU( "dHrxn1", dHrxn1, FALSE )
199     calculoSens.addU( "dHrxn2", dHrxn2, FALSE )
200     calculoSens.addU( "dHrxn3", dHrxn3, FALSE )
201     calculoSens.addU( "Ea1", Ea1, FALSE )
202     calculoSens.addU( "Ea2", Ea2, FALSE )
203     calculoSens.addU( "Ea3", Ea3, FALSE )
204     calculoSens.addU( "alpha", alpha, FALSE )
205
206     dec_var[1] = k10
207     dec_var[2] = k20
208     dec_var[3] = k30
209     dec_var[4] = dHrxn1
210     dec_var[5] = dHrxn2
211     dec_var[6] = dHrxn3
212     dec_var[7] = Ea1
213     dec_var[8] = Ea2
214     dec_var[9] = Ea3
215     dec_var[10] = alpha
216
217     -- Limites de las variables de decision
218     -- k10
219     xlow[1] = 0.001
220     xupp[1] = 20
221     -- k20
222     xlow[2] = 0.001
223     xupp[2] = 20
224     -- k30
225     xlow[3] = 0.001
226     xupp[3] = 20
227     -- dHrx1
228     xlow[4] = -20
229     xupp[4] = -0.001
230     -- dHrxn2
231     xlow[5] = -20
232     xupp[5] = -0.001
233     -- dHrxn3
234     xlow[6] = -20

```



```

235     xupp[6] = -0.001
236         -- Ea1
237     xlow[7] = 0.001
238     xupp[7] = 20
239         -- Ea2
240         xlow[8] = 0.001
241         xupp[8] = 20
242         -- Ea3
243         xlow[9] = 0.001
244         xupp[9] = 20
245         -- alpha
246         xlow[10] = 0.001
247         xupp[10] = 10
248     TIME = 0
249     TSTOP = 345
250     CINT = 0.0833
251
252     -- Inicializacion del algoritmo de integracion y calculo de
sensibilidades
253     -- Inicializacion del algoritmos de optimizacion
254     -- SINTAXIS:
255     -- iniciarRes( tiempo inicial desde el que calcular las sensibilidades,
puntero a la funcion de residuos definida previamente )
256     -- iniciarQuad( numero de cuadraturas a calcular, puntero al calculo de
las funciones de cuadratura )
257     calculoSens.iniciarRes(TIME, ptrRes)
258     calculoSens.iniciarQuad(numC + 1, ptrQuad)
259
260     -- Configurar la tolerancia en el calculo de sensibilidades (opcional)
261     calculoSens.setTol( 1e-5 )
262
263     -- inicializacion de los limites de las restricciones y la funcion de
coste
264     Flow[1] = -1.0e10
265     Fupp[1] = 1.0e10
266     FOR ( i IN 2,7)
267     Flow[i] = 0
268     Fupp[i] = 0
269     END FOR
270
271     -- Representacion en el monitor de los valores previos a la
optimizacion
272     WRITE ("\n\n\t\t----- limits before optimization \n")
273     FOR ( i IN 1,numU )
274         WRITE ("\t\t var_dec[%d]:\t %g \t %g \t %g \n", i, xlow[i],
dec_var[i], xupp[i])
275     END FOR
276     FOR ( i IN 1,numC + 1 )
277         WRITE ("\t\t F_optim[%d]:\t %g \t %g \t %g \n", i, Flow[i],
F_optim[i], Fupp[i])
278     END FOR
279     WRITE ("\n\t\t----- END of limits \n\n")
280
281     --Optimization extern routine call
282     setSilentMode(TRUE)
283     SET_REPORT_ACTIVE("#MONITOR",FALSE)
284
285     esnopt_init (numU, numC)
286     esnopt_set_variables_bounds_and_initial_values (xlow, xupp, dec_var)
287     esnopt_set_constraints_bounds_and_initial_values (Flow, Fupp, F_optim)
288     esnopt_set_cost_function_and_constraints (coste_y_restricciones)
289     esnopt_set_explicit_derivatives ( calcularSens )
290     esnopt_set_function_precision ( 1.0e-5 )

```



```

291     esnopt_set_iterations_limit (200)
292     infoESnopt = esnopt ()
293
294     -- Final de la optimizacion, obtencion de los resultados para la
simulacion.
295     setSilentMode(FALSE)
296     SET_REPORT_ACTIVE("#MONITOR",TRUE)
297
298     esnopt_print_data ()
299     esnopt_get_variables_values(dec_var)
300     esnopt_free ()
301     RESET()
302     -- SET_INIT_ACTIVE(TRUE)
303
304     -- Modificacion de los parametros con los nuevos valores obtenidos
305
306     k10    = dec_var[1]
307     k20    = dec_var[2]
308     k30    = dec_var[3]
309     dHrxn1 = dec_var[4]
310     dHrxn2 = dec_var[5]
311     dHrxn3 = dec_var[6]
312     Ea1    = dec_var[7]
313     Ea2    = dec_var[8]
314     Ea3    = dec_var[9]
315     alpha  = dec_var[10]
316     -- Llamada al integrador
317     TIME = 0
318     CINT = 0.0833
319     INTEG()
320
321     -- Representacion en el monitor de los valores posteriores a la
optimizacion
322     WRITE ("\n\n\t\t----- The optimiser succeed, returned the
value: %d. \n", infoESnopt)
323     WRITE ("\n\n\t\t----- constraints and decision variables
after optimization \n")
324     FOR ( i IN 1,numU )
325         WRITE ("\t\t var_dec[%d]:\t %g \t %g \t %g \n", i, xlow[i], dec_var
[i], xupp[i])
326     END FOR
327     WRITE ("\n\n\t\t----- cost function and constraints after
optimization \n")
328     FOR ( i IN 1,numC + 1 )
329         WRITE ("\t\t F_optim[%d]:\t %g \t %g \t %g \n", i, Flow[i], F_optim
[i], Fupp[i])
330     END FOR
331     WRITE ("\n\n\t\t----- end \n\n")
332 END EXPERIMENT

```



A.8. Código del MPC

El controlador predictivo se programo en EcosimPro @Se generaron clases asociadas al estimador de estados de horizonte movil y al controlador predictivo en si. Las llamas se hacen desde un fichero principal que se comunica mediante OPC con el SCADA de la planta.

A.8.1. Componente fichero principal

```

1 USE MATH
2
3 COMPONENT mpcReactorOPC (INTEGER Nu = 3, INTEGER MV = 2, INTEGER PV = 2)
4
5 DATA
6
7     --Iniciacion de variables de proceso
8     REAL T_iniciacion = 30
9     REAL Tc_iniciacion = 10
10    REAL Cb_iniciacion = 0.1
11
12    -- Parametros del controlador
13    REAL t_Sample = 0.5           "Tiempo de muestro (min)"
14    REAL norma[4] = {60, 5, 2, 15} "Normalizacion de las variables"
15    REAL uq[Nu] = 1.2
16    REAL uqc[Nu] = 9
17    REAL Pred_h = 30
18    REAL Liminfq = 0.3
19    --REAL Limsupq = 3.2
20    REAL Limsupq = 1.5
21    REAL Liminfqc = 0.83
22    REAL Limsupqc = 15
23    REAL LiminfT = 5
24    REAL LimsupT = 60
25    REAL LiminfCb = 0
26    REAL LimsupCb = 5
27    -- Consignas
28    REAL T_sp = 30
29    REAL Cb_sp = 0.4
30    REAL gamma[2] = {100, 100}   "Importancia relativa de los
    setpoint"
31    -- Variables manipuladas
32    REAL beta[2] = {0.1, 0.1}    "Penalizacion de cambios"
33
34 DECLS
35    -- Variables del proceso
36    DISCR REAL q           "Caudal reactivos (L/min)"
37    DISCR REAL qc          "Caudal reqcigerante (L/min)"
38    DISCR REAL T0, Tc0    "Temperaturas de entrada (C)"
39    DISCR REAL T, Tc      "Temperaturas (C)"
40    DISCR REAL Ca          "Concentracion de A (mol/L)"
41    DISCR REAL Cb          "Concentracion de B (mol/L)"
42
43    --Codigo adicional para el controlador predictivo
44    BOOLEAN sample = TRUE
45    BOOLEAN ControlFlag = FALSE
46    DISCR REAL state[9]    -- state variables + algebraic
47    DISCR REAL u_new[MV*Nu] -- Vector of decision variables computed by the
    MPC
48    -- Upper and lower bounds of the manipulated and controlled variables
49    DISCR REAL lim_manip_up[MV], lim_manip_low[MV], lim_con_up[PV], lim_con_low
    [PV]
50    DISCR REAL uqant      "Accion de control anterior"

```



```

51     DISCR REAL uqcant           "Accion de control anterior"
52     DISCR REAL tab_q[5], tab_qc[5], tab_T0[5], tab_Tc0[5], tab_T[5], tab_Tc[5],
      tab_Cb[5]
53     DISCR REAL estim[4]       "Estados estimados"
54     DISCR REAL ini_estim[16]  "Iniciacion del MHE"
55     DISCR REAL config[6]      "Configuracion del controlador"
56
57 OBJECTS
58 -- Declaracion de objetos
59 optimiz controlador
60 optimiz_MHE estimador
61
62 END COMPONENT

```

A.8.2. Experimento componente principal

```

1 EXPERIMENT ControladorOPC ON mpcReactorOPC.partition1
2   DECLS
3     REAL q_sp
4     REAL qc_sp
5     INTEGER FlagControlador = 0
6   OBJECTS
7   INIT
8   BOUNDS
9   BODY
10
11
12 -- constraints MVs
13   lim_manip_low[1] = Liminfq      -- limites q
14   lim_manip_up[1] = Limsupq
15
16   lim_manip_low[2] = Liminfqc    -- limites Fr
17   lim_manip_up[2] = Limsupqc
18
19 -- Constraints process variables
20   lim_con_up[1] = LimsupT        -- limites temperatura reactor
21   lim_con_low[1] = LiminfT
22
23   lim_con_up[2] = LimsupCb       -- limites conversion
24   lim_con_low[2] = LiminfCb
25
26 -- Initial values MVs
27
28   FOR (i IN 1,Nu)
29     u_new[MV*(i-1)+1] = uq[i]
30     u_new[MV*(i-1)+2] = uqc[i]
31   END FOR
32
33   FOR (i IN 1,16)
34     ini_estim[i] = 0
35   END FOR
36
37 -- Initialization of the sensitivities
38
39   controlador.iniciar()
40
41   -- Recoleccion acciones de control pasadas
42   --uqant = q
43   --uqcant = qc
44
45   -- Actualizacion de datos del MHE
46   FOR (i IN 2,5)
47     tab_q[i-1] = tab_q[i]

```



```

48     tab_qc[i-1] = tab_qc[i]
49     tab_T0[i-1] = tab_T0[i]
50     tab_Tc0[i-1] = tab_Tc0[i]
51     tab_T[i-1] = tab_T[i]
52     tab_Tc[i-1] = tab_Tc[i]
53     tab_Cb[i-1] = tab_Cb[i]
54     END FOR
55
56     tab_q[5] = q
57     tab_qc[5] = qc
58     tab_T0[5] = T0
59     tab_Tc0[5] = Tc0
60     tab_T[5] = T
61     tab_Tc[5] = Tc
62     tab_Cb[5] = Cb
63
64     -- Llamada al MHE
65     IF FlagControlador == 1 THEN
66
67         estimador.ejecutar(t_Sample, tab_q, tab_qc, tab_T0, tab_Tc0, tab_T,
68         tab_Tc, tab_Cb, estim, ini_estim)
69
70         -- Vector de informacion para el controlador
71         state[1] = T
72         state[2] = Tc
73         state[3] = Cb
74         state[4] = estim[1]
75         state[5] = estim[2]
76         state[6] = estim[3]
77         state[7] = estim[4]
78         state[8] = uquant
79         state[9] = uqcant
80
81         -- Configuracion del controlador
82         config[1] = T_sp
83         config[2] = Cb_sp
84         config[3] = gamma[1]
85         config[4] = gamma[2]
86         config[5] = beta[1]
87         config[6] = beta[2]
88
89         -- Llamada al controlador
90         controlador.control ( t_Sample, Pred_h, state, lim_manip_low,
91         lim_manip_up, lim_con_low, lim_con_up, MV, config, u_new )
92
93         setValueReal("uq[1]",u_new[1])
94         setValueReal("uqc[1]", u_new[2])
95         setValueReal("uq[2]", u_new[3])
96         setValueReal("uqc[2]", u_new[4])
97         setValueReal("uq[3]", u_new[5])
98         setValueReal("uqc[3]", u_new[6])
99
100        -- Recoleccion acciones de control
101        q = uq[1]
102        qc = uqc[1]
103
104    END IF
105
106    q_sp = q
107    qc_sp = qc
108

```



```

109
110     INTEG()
111     TIME = 0
112     TSTOP = 0
113
114 END EXPERIMENT

```

A.8.3. Componente estimador de estados

```

1 USE MATH
2 USE OPTIM_METHODS
3 COMPONENT ReactorMHE
4
5     DATA
6         -- Parametros del modelo
7         REAL V = 11.5           "Volumen del reactor (L)"
8         REAL Vc = 1             "Volumen de la camisa (L)"
9         REAL R = 0.00831        "Constante de los gases (kJ/mol/K)"
10        REAL rho = 1            "Densidad del agua (kg/L)"
11        REAL Cp = 4.184         "Capacidad Calorifica del agua (kJ/kg/C)"
12        REAL Ca0 = 5            "Concentracion de entrada de A (mol/L)"
13
14        -- Parametros estimados
15        REAL k10 = 20
16        REAL k20 = 9.66637673
17        REAL k30 = 10.9322785
18        REAL dHrxn1 = -53.285068/11.5
19        REAL dHrxn2 = -42.2083961/11.5
20        REAL dHrxn3 = -13.1949792/11.5
21        REAL Ea1 = 8.91987158
22        REAL Ea2 = 6.7666094
23        REAL Ea3 = 8.72110974
24        REAL alpha = 1.22916238
25
26        REAL t_Sample = 0.5
27        REAL Sig = 100
28
29        -- Parametros a estimar
30        REAL Ca_inicial = 0.1
31        -- Perturbaciones
32        REAL d_T[5] = 0
33        REAL d_Tc[5] = 0
34        REAL d_Cb[5] = 0
35
36        -- Optimizador
37        REAL pesos[3] = {1, 1, 1}
38        REAL gamma[3] = {1, 1, 1}
39        REAL norma[3] = {50, 20, 5}
40        REAL LiminfC = 0
41        REAL LimsupC = 5
42        REAL C = 5
43        REAL Limsupd[3] = {50, 50, 50}
44        REAL Liminf d[3] = {-50, -50, -50}
45
46        -- Tablas de datos
47        TABLE_1D tab1 = {{0, 0.5, 1, 1.5, 2}, {3.2, 3.2, 3.2, 3.2, 3.2}} --
48        q
49        TABLE_1D tab2 = {{0, 0.5, 1, 1.5, 2}, {6.41, 6.41, 6.41, 6.41, 6.41}}
50        -- qc
51        TABLE_1D tab3 = {{0, 0.5, 1, 1.5, 2}, {10, 10, 10, 10, 10}} -- T0
52        TABLE_1D tab4 = {{0, 0.5, 1, 1.5, 2}, {10, 10, 10, 10, 10}} -- Tc0
53        TABLE_1D tab5 = {{0, 0.5, 1, 1.5, 2}, {49.41, 49.51, 49.60, 49.67,
54        49.73}} -- T

```



```

52     TABLE_1D tab6 = {{0, 0.5, 1, 1.5, 2}, {16.59, 16.61, 16.62, 16.64,
16.65}} -- Tc
53     TABLE_1D tab7 = {{0, 0.5, 1, 1.5, 2}, {0.7897, 0.7887, 0.7884, 0.7881,
0.7878}} -- Cb
54
55     DECLS
56     -- Caudales
57     REAL q                "Caudal reactivos (L/min)"
58     REAL qc               "Caudal refrigerante (L/min)"
59
60     -- Salidas medidas del proceso
61     REAL T                "Temperatura reactor (C)"
62     REAL T0
63     REAL Tc               "Temperatura refrigerante (C)"
64     REAL Tc0
65
66     -- Otras variables del modelo
67     REAL Q                "Calor transferido (kJ/mol)"
68     REAL Heat_rxn        "Calor generado (kJ/min)"
69     REAL Ca, Cb, Cc, Cd  "Concentracion de las especies (mol/L)"
70     REAL r1, r2, r3      "Velocidad de reaccion"
71     REAL UA              "Coeficiente de transferencia de calor"
72     REAL d[3]            "Perturbaciones"
73
74     -- Optimizador
75     REAL F_optim[10]     "Restricciones"
76     DISCR REAL J_costo   "Funcion de coste"
77     REAL y_real[3], y_modelo[3]
78     BOOLEAN Sample = TRUE
79
80     INIT
81
82     -- Lectura de variables
83     -- Variables de entrada
84     q = interp1D(tab1, CONSTANT, CONSTANT, TIME)
85     qc = interp1D(tab2, CONSTANT, CONSTANT, TIME)
86     T0 = linearInterp1D(tab3, TIME)
87     Tc0 = linearInterp1D(tab4, TIME)
88     -- Variables de salida
89     y_real[1] = linearInterp1D(tab5, TIME)
90     y_real[2] = linearInterp1D(tab6, TIME)
91     y_real[3] = linearInterp1D(tab7, TIME)
92
93     y_modelo[1] = y_real[1]
94     y_modelo[2] = y_real[2]
95     y_modelo[3] = y_real[3]
96
97     T = y_real[1]
98     Tc = y_real[2]
99     Cb = linearInterp1D(tab7, TIME)
100
101     -- Parametros a estimar
102     Ca = Ca_inicial
103
104     DISCRETE
105
106     WHEN (Sample) THEN
107         J_costo += SUM(i IN 1,3; 100*pesos[i]*((y_modelo[i]-y_real[i])/
norma[i])**2 + gamma[i]*d[i]**2)
108         Sample = FALSE
109         Sample = TRUE AFTER t_Sample
110     END WHEN
111

```



```

112 CONTINUOUS
113
114 -- Lectura de variables
115 -- Variables de entrada
116 q = interp1D(tab1, CONSTANT, CONSTANT, TIME)
117 qc = interp1D(tab2, CONSTANT, CONSTANT, TIME)
118 T0 = linearInterp1D(tab3, TIME)
119 Tc0 = linearInterp1D(tab4, TIME)
120 -- Variables de salida
121 y_real[1] = linearInterp1D(tab5, TIME)
122 y_real[2] = linearInterp1D(tab6, TIME)
123 y_real[3] = linearInterp1D(tab7, TIME)
124
125 -- Perturbaciones
126 d[1] = d_T[1] + SUM(i IN 2,5; (d_T[i] - d_T[i-1])*sigmoide(TIME,
t_Sample,Sig))
127 d[2] = d_Tc[1] + SUM(i IN 2,5; (d_Tc[i] - d_Tc[i-1])*sigmoide(TIME,
t_Sample,Sig))
128 d[3] = d_Cb[1] + SUM(i IN 2,5; (d_Cb[i] - d_Cb[i-1])*sigmoide(TIME,
t_Sample,Sig))
129
130 -- Balances de materia
131 V*Ca' = q*(Ca0 - Ca) + (-r1 - 2*r3)
132 V*Cb' = -q*Cb + ( r1 - r2) + d[3]
133 V*Cc' = -q*Cc + ( r2
)
134 V*Cd' = -q*Cd + ( r3)
135 r1 = k10*exp(-Ea1/(R*(T+273.15)))*Ca*V
136 r2 = k20*exp(-Ea2/(R*(T+273.15)))*Cb*V
137 r3 = k30*exp(-Ea3/(R*(T+273.15)))*Ca**2*V
138
139 -- Balances de energia
140 -- Reactor
141 rho*Cp*V*T' = q*rho*Cp*(T0 - T) - Q + Heat_rxn + d[1]
142 -- Camisa
143 rho*Cp*Vc*Tc' = qc*rho*Cp*(Tc0 - Tc) + Q + d[2]
144 -- Transferencia de calor
145 Q = UA*(T - Tc)
146 UA = alpha*qc**0.8
147 -- Calor generado por la reaccion
148 Heat_rxn = V*( - dHrxn1*r1 - dHrxn2*r2 - dHrxn3*r3 )
149
150 -- Restricciones no lineales (expresiones c(x) <= 0)
151 F_optim[1] = J_costo
152 F_optim[2] = MATH.min(Ca,LiminfC) - LiminfC
153 F_optim[3] = MATH.max(Ca,LimsupC) - LimsupC
154 F_optim[4] = MATH.min(Cb,LiminfC) - LiminfC
155 F_optim[5] = MATH.max(d[1],Limsupd[1]) - Limsupd[1]
156 F_optim[6] = MATH.min(d[1],LiminfD[1]) - LiminfD[1]
157 F_optim[7] = MATH.max(d[2],Limsupd[2]) - Limsupd[2]
158 F_optim[8] = MATH.min(d[2],LiminfD[2]) - LiminfD[2]
159 F_optim[9] = MATH.max(d[3],Limsupd[3]) - Limsupd[3]
160 F_optim[10] = MATH.min(d[3],LiminfD[3]) - LiminfD[3]
161
162 -- Asignacion de valores del modelo
163 y_modelo[1] = T
164 y_modelo[2] = Tc
165 y_modelo[3] = Cb
166
167 END COMPONENT

```

A.8.4. Clase estimador de estados

```
1 USE MATH
```



```

2 USE OPTIM_METHODS
3
4 CLASS optimiz_MHE IS_A ReactorMHE_partition1
5
6 DECLS
7     CONST INTEGER numC = 9           -- numero de restricciones del problema de
      optimizacion
8     CONST INTEGER numU = 16        -- numero de variables de decision
9
10 OBJECTS
11
12 METHODS
13
14     METHOD INTEGER coste_y_restricciones(IN REAL esnopt_x[], IN INTEGER needF,
      OUT REAL esnopt_F[], IN INTEGER explicit_derivatives, IN INTEGER needG, OUT
      REAL esnopt_G[])
15
16     BODY
17
18         RESET_VARIABLES ()
19
20         Ca_inicial = esnopt_x[1]
21         FOR (i IN 1,5)
22             d_T[i] = esnopt_x[1+i]
23         END FOR
24         FOR (i IN 1,5)
25             d_Tc[i] = esnopt_x[6+i]
26         END FOR
27         FOR (i IN 1,5)
28             d_Cb[i] = esnopt_x[11+i]
29         END FOR
30         SET_INIT_ACTIVE(TRUE)
31         TIME = 0
32         TSTOP = 4*t_Sample
33         CINT = t_Sample
34         INTEG()
35
36         FOR (i IN 1,numC)
37             esnopt_F[i] = F_optim[i]
38         END FOR
39
40     RETURN 0
41 END METHOD
42
43     METHOD NO_TYPE ejecutar (IN REAL t_sam, IN REAL tab_q[], IN REAL tab_qc[],
      IN REAL tab_T0[], \
44                             IN REAL tab_Tc0[], IN REAL tab_T[], IN
      REAL tab_Tc[], IN REAL tab_Cb[], \
45                             OUT REAL estim[], OUT REAL inicializacion
      [])
46
47     DECLS
48         REAL param_estim[numU]      -- variables de decision, size n_dec_var
49
50         REAL xlow[numU]              -- valor inferior de las variables de
      decision, size n_dec_var
51         REAL xupp[numU]              -- valor superior de las variables de
      decision, size n_dec_var
52         REAL Flow[numC+1]            -- valor inferior de la funcion objetivo y
      las restricciones, size numC+1
53         REAL Fupp[numC+1]            -- valor superior de la funcion objetivo y
      las restricciones, size numC+1

```



```

54  OBJECTS
55  BODY
56
57      t_Sample = t_sam
58      DEBUG_LEVEL = 0
59      setSilentMode(TRUE)
60      SET_REPORT_ACTIVE("#MONITOR",FALSE)
61
62      FOR (i IN 1,5)
63          tab1.changeValue(i,i,1, tab_q[i])
64          tab2.changeValue(i,i,1, tab_qc[i])
65          tab3.changeValue(i,i,1, tab_T0[i])
66          tab4.changeValue(i,i,1, tab_Tc0[i])
67          tab5.changeValue(i,i,1, tab_T[i])
68          tab6.changeValue(i,i,1, tab_Tc[i])
69          tab7.changeValue(i,i,1, tab_Cb[i])
70      END FOR
71      setSilentMode(FALSE)
72      SET_REPORT_ACTIVE("#MONITOR",TRUE)
73      -- Se pueden dar valores de iniciacion de las variables. Mejora la
74      velocidad
75      -- Inicializaciones
76      Ca_inicial = inicializacion[1]
77      FOR (i IN 1,4)
78          d_T[i] = inicializacion[2+i]
79      END FOR
80      d_T[5] = inicializacion[6]
81      FOR (i IN 1,4)
82          d_Tc[i] = inicializacion[7+i]
83      END FOR
84      d_Tc[5] = inicializacion[11]
85      FOR (i IN 1,4)
86          d_Cb[i] = inicializacion[12+i]
87      END FOR
88      d_Cb[5] = inicializacion[16]
89
90      -- Formar vector de variables de decision
91      param_estim[1] = Ca_inicial
92      FOR (i IN 1,5)
93          param_estim[1+i] = d_T[i]
94      END FOR
95      FOR (i IN 1,5)
96          param_estim[6+i] = d_Tc[i]
97      END FOR
98      FOR (i IN 1,5)
99          param_estim[11+i] = d_Cb[i]
100      END FOR
101
102      -- Limites de las variables de decision
103      xlow[1] = LiminfC
104      xupp[1] = LimsupC
105      FOR (i IN 1,5)
106          xlow[1+i] = Liminfd[1]
107          xupp[1+i] = Limsupd[1]
108      END FOR
109      FOR (i IN 1,5)
110          xlow[6+i] = Liminfd[2]
111          xupp[6+i] = Limsupd[2]
112      END FOR
113      FOR (i IN 1,5)
114          xlow[11+i] = Liminfd[3]
115          xupp[11+i] = Limsupd[3]
116      END FOR

```



```

116
117      -- Restricciones
118      Flow[1] = -1e10
119      Fupp[1] = 1e10
120      FOR (i IN 2,numC+1)
121          Flow[i] = 0
122          Fupp[i] = 0
123      END FOR
124
125      --Optimization extern routine call
126      setSilentMode(TRUE)
127      SET_REPORT_ACTIVE("#MONITOR",FALSE)
128
129      esnopt_init(numU, numC)
130      esnopt_set_variables_bounds_and_initial_values(xlow, xupp, param_estim)
131      esnopt_set_constraints_bounds_and_initial_values(Flow, Fupp, F_optim)
132      esnopt_set_cost_function_and_constraints(coste_y_restricciones)
133      esnopt_set_explicit_derivatives(0)
134      esnopt_set_function_precision(1.0e-4)
135      esnopt_set_iterations_limit(100)
136      esnopt( )
137      REL_ERROR = 1.0e-5
138
139      RESET_VARIABLES ( )
140
141      esnopt_get_variables_values(param_estim)
142      esnopt_free()
143      setSilentMode(FALSE)
144      SET_REPORT_ACTIVE("#MONITOR",TRUE)
145
146      Ca_inicial = param_estim[1]
147      FOR (i IN 1,5)
148          d_T[i] = param_estim[1+i]
149      END FOR
150      FOR (i IN 1,5)
151          d_Tc[i] = param_estim[6+i]
152      END FOR
153      FOR (i IN 1,5)
154          d_Cb[i] = param_estim[11+i]
155      END FOR
156
157      SET_INIT_ACTIVE(TRUE)
158      TIME = 0
159      TSTOP = 4*t_Sample
160      CINT = t_Sample
161      INTEG()
162
163      estim[1] = Ca
164      estim[2] = d[1]
165      estim[3] = d[2]
166      estim[4] = d[3]
167
168      inicializacion[1] = Ca_inicial
169      FOR (i IN 1,5)
170          inicializacion[1+i] = d_T[i]
171      END FOR
172      FOR (i IN 1,5)
173          inicializacion[6+i] = d_Tc[i]
174      END FOR
175          FOR (i IN 1,5)
176              inicializacion[11+i] = d_Cb[i]
177          END FOR
178      END METHOD

```



179 END CLASS

A.8.5. Componente controlador

```

1 USE MATH
2 COMPONENT CostReactorHibrido (INTEGER Nu = 3)
3
4 DATA
5     -- Parametros del modelo
6     REAL V = 11.5           "Volumen del reactor (L)"
7     REAL Vc = 1             "Volumen de la camisa (L)"
8     REAL R = 0.00831        "Constante de los gases (kJ/mol/K)"
9     REAL rho = 1            "Densidad del agua (kg/L)"
10    REAL Cp = 4.184         "Capacidad Calorifica del agua (kJ/kg/C)"
11    REAL Ca0 = 5            "Concentracion de entrada de A (mol/L)"
12    REAL T0 = 10            "Temperatura de entrada de los reactivos (C)"
13    REAL Tc0 = 10          "Temperatura de entrada de los reactivos (C)"
14
15    -- Parametros estimados
16    REAL k10 = 20
17    REAL k20 = 9.66637673
18    REAL k30 = 10.9322785
19    REAL dHrxn1 = -53.285068/11.5
20    REAL dHrxn2 = -42.2083961/11.5
21    REAL dHrxn3 = -13.1949792/11.5
22    REAL Ea1 = 8.91987158
23    REAL Ea2 = 6.7666094
24    REAL Ea3 = 8.72110974
25    REAL alpha = 1.22916238
26
27    -- Optimizador
28    REAL LiminfT = 5
29    REAL LimsupT = 60
30    REAL LiminfCb = 0
31    REAL LimsupCb = 5
32    REAL Liminfq = 0.3
33    --REAL Limsupq = 3.2
34    REAL Limsupq = 1.5
35    REAL Liminfqc = 0.83
36    REAL Limsupqc = 15
37
38    -- Parametros del controlador
39    REAL t_Sample = 0.5     "Tiempo de muestro (min)"
40    REAL Sig = 100         "Parametro sigmoide"
41
42    -- Acciones de control
43    REAL uq[Nu] = 1
44    REAL uqc[Nu] = 7
45
46 DECLS
47     -- Caudales
48     REAL q             "Caudal reactivos (L/min)"
49     REAL qc            "Caudal reqcigerante (L/min)"
50
51     -- Salidas medidas del proceso
52     REAL T             "Temperatura reactor (C)"
53     REAL Tc            "Temperatura reqcigerante (C)"
54
55     -- Otras variables del modelo
56     REAL Q             "Calor transferido (kJ/mol)"
57     REAL Heat_rxn      "Calor generado (kJ/min)"
58     REAL Ca, Cb, Cc, Cd "Concentracion de las especies (mol/L)"
59     REAL r1, r2, r3    "Velocidad de reaccion"

```



```

60     REAL UA                                "Coeficiente de transferencia de calor"
61
62     -- Optimizador
63     REAL F_optim[5]                        "Restricciones"
64     REAL J_costo                           "Funcion de coste"
65     DISCR REAL T_inic = 10
66     DISCR REAL Tc_inic = 10
67     DISCR REAL Ca_inic = 0
68     DISCR REAL Cb_inic = 0
69     DISCR REAL Cc_inic = 0
70     DISCR REAL Cd_inic = 0
71     DISCR REAL d_T, d_Tc, d_Cb           "Perturbaciones"
72     DISCR REAL uqant                       "Accion de control anterior"
73     DISCR REAL uqcant                     "Accion de control anterior"
74     DISCR REAL omega[2], gamma[2], beta[2] "Parametros del controlador"
75
76     REAL Set_points                        "Componente funcion de coste"
77     REAL Cambios                          "Componente funcion de coste"
78
79     INIT
80
81     T = T_inic
82     Tc = Tc_inic
83     Ca = Ca_inic
84     Cb = Cb_inic
85     Cc = Cc_inic
86     Cd = Cd_inic
87
88     CONTINUOUS
89
90     q = uq[1] + (uq[2]-uq[1])*sigmoide(TIME,t_Sample,Sig) + (uq[3]-uq[2])*
91     sigmoide(TIME,2*t_Sample,Sig)
92     qc = uqc[1] + (uqc[2]-uqc[1])*sigmoide(TIME,t_Sample,Sig) + (uqc[3]-uqc
93     [2])*sigmoide(TIME,2*t_Sample,Sig)
94
95     -- Balances de materia
96     V*Ca' = q*(Ca0 - Ca) + (-r1 - 2*r3)
97     V*Cb' = -q*Cb + ( r1 - r2) + d_Cb
98     V*Cc' = -q*Cc + ( r2 )
99     V*Cd' = -q*Cd + ( r3)
100
101     r1 = k10*exp(-Ea1/(R*(T+273.15)))*Ca*V
102     r2 = k20*exp(-Ea2/(R*(T+273.15)))*Cb*V
103     r3 = k30*exp(-Ea3/(R*(T+273.15)))*Ca**2*V
104
105     -- Balances de energia
106     -- Reactor
107     rho*Cp*V*T' = q*rho*Cp*(T0 - T) - Q + Heat_rxn + d_T
108     -- Camisa
109     rho*Cp*Vc*Tc' = qc*rho*Cp*(Tc0 - Tc) + Q + d_Tc
110     -- Transferencia de calor
111     Q = UA*(T - Tc)
112     UA = alpha*qc**0.8
113     -- Calor generado por la reaccion
114     Heat_rxn = V*( - dHrxn1*r1 - dHrxn2*r2 - dHrxn3*r3 )
115
116     -- Optimizador
117     Set_points = gamma[1]*((T - omega[1])/(LimsupT-LiminfT))**2 + gamma
118     [2]*((Cb - omega[2])/(LimsupCb - LiminfCb))**2
119     Cambios = beta[1]*((uq[1] - uqant)**2 + SUM(i IN 2,3; (uq[i]-uq[i-1]
120     **2)) + \
121     beta[2]*((uqc[1] - uqcant)**2 + SUM(i IN 2,3; (uqc[i]-uqc[
122     i-1])**2))
123     -- Esta funcion de costo es solo para visualizacion

```



```

117     J_costo = Set_points + Cambios
118
119     -- Restricciones no lineales (expresiones c(x) <= 0)
120     F_optim[1] = J_costo
121     F_optim[2] = MATH.min(T,LiminfT) - LiminfT
122     F_optim[3] = MATH.max(T,LimsupT) - LimsupT
123     F_optim[4] = MATH.min(Cb,LiminfCb) - LiminfCb
124     F_optim[5] = MATH.max(Cb,LimsupCb) - LimsupCb
125
126 END COMPONENT

```

A.8.6. Clase del controlador

```

1
2 USE MATH
3 USE OPTIM_METHODS
4
5 CLASS optimiz IS_A CostReactorHibrido_partition1
6
7     DECLS
8
9     REAL Pred_h = 30
10    CONST INTEGER numC = 4           -- numero de restricciones del problema
11    de optimizacion
12    CONST INTEGER numU = 6           -- numero de variables de decision
13
14    OBJECTS
15
16        EIDAS calculoSens
17
18    METHODS
19
20    METHOD NO_TYPE funcionResiduos( IN REAL tiempo, IN REAL var[], IN REAL der
21    [], IN INTEGER numPar, IN STRING nomPar[], IN REAL par[], OUT REAL res[] )
22    DECLS
23    OBJECTS
24    BODY
25
26        FOR( i IN 1,numPar )
27            setValueReal( nomPar[i], par[i] )
28        END FOR
29
30        FRES_ARGS( tiempo, var, der, res, FALSE )
31
32    END METHOD
33
34 -- llamada a las funciones de cuadraturas por parte de IDAS, para el calculo de
35 -- sensibilidades
36 -- utilizar el vector F_optim que se actualiza al llamar a los residuos
37 METHOD NO_TYPE funcionCuadraturas( IN REAL tiempo, IN REAL var[], IN
38 REAL der[], IN INTEGER numPar, IN STRING nomPar[], IN REAL par[], OUT REAL
39 quad[] )
40
41    DECLS
42    OBJECTS
43    BODY
44
45        FOR( i IN 1,numPar )
46            setValueReal( nomPar[i], par[i] )
47        END FOR
48
49        FRES_ARGS( tiempo, var, der, der, FALSE )
50
51    -- funciones de cuadraturas
52    FOR( i IN 1, numC+1 )
53        quad[i] = F_optim[i]

```



```

46         END FOR
47
48     END METHOD
49
50     METHOD NO_TYPE iniciar()
51         DECLS
52         OBJECTS
53             VECTOR_STRING nombresX
54         BODY
55             calculoSens.addU( "uq[1]", uq[1], FALSE)
56             calculoSens.addU("uqc[1]", uqc[1], FALSE)
57             calculoSens.addU( "uq[2]", uq[2], FALSE)
58             calculoSens.addU("uqc[2]", uqc[2], FALSE)
59             calculoSens.addU( "uq[3]", uq[3], FALSE)
60             calculoSens.addU("uqc[3]", uqc[3], FALSE)
61
62         EXEC_INIT()
63
64         nombresX = getVariablesWithCategory( T_JACOBIAN_VARS )
65         FOR( i IN 1,nombresX.size() )
66             calculoSens.addX( nombresX.at(i), getValueReal( nombresX.at
(i) ), ( getVarCategory( nombresX.at(i)) == 2 ) )
67         END FOR
68
69         calculoSens.iniciarRes(TIME, funcionResiduos)
70         calculoSens.iniciarQuad(numC + 1, funcionCuadraturas)
71         calculoSens.setTol(1e-05)
72
73     END METHOD
74
75     METHOD INTEGER coste_y_restricciones (IN REAL esnopt_x[], IN INTEGER needF
, OUT REAL esnopt_F[], IN INTEGER explicit_derivatives, IN INTEGER needG,
OUT REAL esnopt_G[])
76
77         DECLS
78             REAL arr_quad[ numC + 1 ]           -- array de
79             REAL arr_quadsen[ (numC + 1) * numU ]   -- array de
80             REAL arr_quadsen_p[ (numC + 1) * numU ] -- array de la derivada
81             temporal de la sensibilidad de las integrales
82         OBJECTS
83         BODY
84             FOR( j IN 1,numC + 1 )
85                 arr_quad[ j ] = 0
86             END FOR
87             FOR( j IN 1, (numC + 1) * numU )
88                 arr_quadsen[ j ] = 0
89                 arr_quadsen_p[ j ] = 0
90             END FOR
91
92             -- Actualizar las variables de decision a los valores que propone el
93             optimizador
94             calculoSens.setU( "uq[1]", esnopt_x[1])
95             calculoSens.setU("uqc[1]", esnopt_x[2])
96             calculoSens.setU( "uq[2]", esnopt_x[3])
97             calculoSens.setU("uqc[2]", esnopt_x[4])
98             calculoSens.setU( "uq[3]", esnopt_x[5])
99             calculoSens.setU("uqc[3]", esnopt_x[6])
100
101         SET_INIT_ACTIVE(TRUE)
102         TSTOP = Pred_h

```



```

102         TIME = 0
103
104         -- Reiniciar el calculo de sensibilidades con los nuevos valores de los
           parametros
105         calculoSens.reiniciar()
106         calculoSens.calculateSens( TSTOP )
107         -- calculo de las cuadraturas y sus sensibilidades
108         calculoSens.getQuad( arr_quad, arr_quadsen )
109         -- calculo de la derivada de las sensibilidades de las
cuadraturas
110         calculoSens.getQuadN( arr_quadsen_p, 1 )
111
112         -- Introduccion de los gradientes de la funcion de costo y
restricciones a SNOPT
113         IF ( explicit_derivatives == 1 ) THEN
114             --FOR ( i IN 1,6)
115             -- esnopt_G[i] = arr_quadsen_p[i]
116             --END FOR
117             FOR ( i IN 1,(numC+1)*numU)
118                 esnopt_G[i] = arr_quadsen[i]
119             END FOR
120
121         END IF
122
123         -- Introduccion de los valores de las funcines a SNOPT
124         --esnopt_F[1] = F_optim[1]
125         FOR ( i IN 1, numC+1)
126             esnopt_F[i] = arr_quad[i]
127         END FOR
128
129         RETURN 0
130
131     END METHOD
132
133     METHOD NO_TYPE control ( IN REAL t_sam, IN REAL t_pred, IN REAL state[],
IN REAL Lu_i[], IN REAL Lu_s[], IN REAL Ly_i[], IN REAL Ly_s[],
IN INTEGER MV, IN REAL config[], OUT REAL con[])
134
135
136         DECLS
137             REAL dec_var[numU]           -- valor inicial de las
variables de decision, size numU. Necesario para las llamadas a ESnopt
138             REAL xlow[numU]             -- valor inferior de las
variables de decision, size numU. Necesario para las llamadas a ESnopt
139             REAL xupp[numU]             -- valor superior de las variables
de decision, size numU. Necesario para las llamadas a ESnopt
140             REAL Flow[numC + 1]         -- valor inferior de la funcion
objetivo y las restricciones, size (numC + funcion de coste). Necesario
para las llamadas a ESnopt
141             REAL Fupp[numC + 1]         -- valor superior de la funcion
objetivo y las restricciones, size (numC + funcion de coste). Necesario
para las llamadas a ESnopt
142             INTEGER calcularSens = 1
143             INTEGER infoESnopt = 0
144
145         OBJECTS
146
147         VECTOR_STRING nombresX         -- variable auxiliar para la
inicializacion de las sensibilidades
148
149         BODY
150             DEBUG_LEVEL = 0
151             t_Sample = t_sam
152             Pred_h = t_pred

```



```

153
154 -- Decision variables for this sampling period are initialized to the ones of
    the
155 -- previous period displaced one sampling time. The index on the
156         FOR ( i IN 1,numU - MV )
157             dec_var[i]= con[MV+i]
158         END FOR
159         FOR ( i IN numU - MV + 1, numU )
160             dec_var[i]= con[i]
161         END FOR
162
163     -- Inicializaciones de q y Fr, Nu = 3
164
165         FOR ( j IN 1, MV)
166             FOR ( i IN 1,Nu )
167                 xlow[MV*(i-1) + j] = Lu_i[j]      -- limites de las MV
168                 xupp[MV*(i-1) + j] = Lu_s[j]
169             END FOR
170         END FOR
171
172         setValueReal( "uq[1]", dec_var[1])
173         setValueReal("uqc[1]", dec_var[2])
174     setValueReal( "uq[2]", dec_var[3])
175         setValueReal("uqc[2]", dec_var[4])
176         setValueReal( "uq[3]", dec_var[5])
177         setValueReal("uqc[3]", dec_var[6])
178
179     -- Parametros del controlador
180     setValueReal("omega[1]", config[1])
181     setValueReal("omega[2]", config[2])
182     setValueReal("gamma[1]", config[3])
183     setValueReal("gamma[2]", config[4])
184     setValueReal("beta[1]", config[5])
185     setValueReal("beta[2]", config[6])
186
187     -- Estados y variables manipuladas
188     setValueReal("T_inic", state[1])
189     setValueReal("Tc_inic", state[2])
190     setValueReal("Ca_inic", state[3])
191     setValueReal("Cb_inic", state[4])
192     setValueReal("d_T", state[5])
193     setValueReal("d_Tc", state[6])
194     setValueReal("d_Cb", state[7])
195     setValueReal("uqant", state[8])
196     setValueReal("uqcant", state[9])
197
198     SET_INIT_ACTIVE(TRUE)
199     EXEC_INIT()
200     SET_INIT_ACTIVE(TRUE)
201
202     nombresX = getVariablesWithCategory( T_JACOBIAN_VARS )
203     FOR( i IN 1,nombresX.size() )
204         calculoSens.setX( nombresX.at(i), getValueReal( nombresX.at
(i) ) )
205     END FOR
206
207     TSTOP = Pred_h
208     CINT = t_Sample
209     TIME = 0      -- Tiempo del modelo
210
211     calculoSens.iniciarRes(TIME, funcionResiduos)
212     calculoSens.iniciarQuad(numC + 1, funcionCuadraturas)
213     calculoSens.setTol( 1e-05 )

```



```

214
215     -- inicializacion de los limites de las restricciones y la funcion de
coste
216         Flow[1] = -1.0e10
217         Fupp[1] = 1.0e10
218
219         FOR (i IN 2, numC)
220             Flow[i] = 0
221             Fupp[i] = 0
222         END FOR
223
224     --Optimization extern routine call
225         setSilentMode(TRUE)
226         SET_REPORT_ACTIVE("#MONITOR",FALSE)
227
228         esnopt_init (numU, numC)
229         esnopt_set_variables_bounds_and_initial_values (xlow, xupp, dec_var
)
230
231         esnopt_set_constraints_bounds_and_initial_values (Flow, Fupp,
F_optim)
232         esnopt_set_cost_function_and_constraints (coste_y_restricciones)
233         esnopt_set_explicit_derivatives ( calcularSens )
234         esnopt_set_function_precision ( 1.0e-4 )
235         esnopt_set_iterations_limit (200)
236         infoESnopt = esnopt ()
237
238     -- Final de la optimizacion, obtencion de los resultados para la
simulacion.
239         esnopt_get_variables_values(dec_var)
240         esnopt_free ()
241         setSilentMode(FALSE)
242         SET_REPORT_ACTIVE("#MONITOR", TRUE)
243
244         FOR ( i IN 1,numU )
245             con[i] = dec_var[i]
246         END FOR
247     END METHOD
248
249 END CLASS

```



A.9. Código Interfaz OPC

```

1 from opcua import Client
2 from opcua import ua
3 import OpenOPC
4 import pywintypes
5 import csv
6 import time
7 import matplotlib.pyplot as plt
8 import tkinter as tk
9
10 # Línea necesaria para que funcione la comunicación con OPC-DA
11 pywintypes.datetime = pywintypes.TimeType
12
13 # Ventana grafica
14 root = tk.Tk()
15 root.title("MPC Reactor Híbrido")
16 canvas1 = tk.Canvas(root, width=300, height=300)
17 canvas1.pack()
18 button1 = tk.Button(root, text='Cerrar Aplicación', command=exit)
19 canvas1.create_window(150, 280, window=button1)
20 label = tk.Label(text="Controlador en ejecución...")
21 label.place(x=0, y=0)
22
23 # Inicialización del programa
24 Controlador = False # Activa el controlador luego de recoger datos
25 PeriodosEjecucion = 0
26 t_Sample = 30
27
28 def conexion OPC():
29     # Conexión con el servidor del controlador
30     MPC = Client("opc.tcp://Labo6:16700/") # Creación objeto OPC-UA
31     MPC.connect() # Conexión Controlador
32     MPC.load_type_definitions()
33
34     # Conexión con los demás servidores
35     SCADA = OpenOPC.client() # Creación objeto OPC-DA
36     PID1 = OpenOPC.client() # Creación objeto OPC-DA
37     PID2 = OpenOPC.client() # Creación objeto OPC-DA
38
39     SCADA.connect("LecturaOPC.1.0")
40     PID1.connect("OPC.PID ISA (CreaOPC).1")
41     PID2.connect("OPC.PID ISA 2 (CreaOPC).1")
42
43     return [MPC, SCADA, PID1, PID2]
44
45 def lectura_SCADA():
46     # Lectura de las variables de la planta y los parámetros del controlador
47     q = SCADA.read("Deck Variables.q")[0]
48     qc = SCADA.read("Deck Variables.qc")[0]
49     T0 = SCADA.read("Deck Variables.T0")[0]
50     Tc0 = SCADA.read("Deck Variables.Tc0")[0]
51     T = SCADA.read("Deck Variables.T")[0]
52     Tc = SCADA.read("Deck Variables.Tc")[0]
53     Ca = SCADA.read("Deck Variables.Ca")[0]
54     T_sp = SCADA.read("Deck Variables.T_sp")[0]
55     Ca_sp = SCADA.read("Deck Variables.Ca_sp")[0]
56     gamma1 = SCADA.read("Deck Variables.gamma1")[0]
57     gamma2 = SCADA.read("Deck Variables.gamma2")[0]
58     beta1 = SCADA.read("Deck Variables.beta1")[0]
59     beta2 = SCADA.read("Deck Variables.beta2")[0]
60
61     return [q, qc, T0, Tc0, T, Tc, Ca, T_sp, Ca_sp, gamma1, gamma2, beta1,
62            beta2]

```



```

62
63 def configuracion_MPC(T_sp, Ca_sp, gamma1, gamma2, beta1, beta2):
64     MPC.get_node("ns=4;s=T_sp").set_value(
65         ua.Variant(T_sp, ua.VariantType.Double))
66     MPC.get_node("ns=4;s=Ca_sp").set_value(
67         ua.Variant(Ca_sp, ua.VariantType.Double))
68     MPC.get_node("ns=4;s=gamma[1]").set_value(
69         ua.Variant(gamma1, ua.VariantType.Double))
70     MPC.get_node("ns=4;s=gamma[2]").set_value(
71         ua.Variant(gamma2, ua.VariantType.Double))
72     MPC.get_node("ns=4;s=beta[1]").set_value(
73         ua.Variant(beta1, ua.VariantType.Double))
74     MPC.get_node("ns=4;s=beta[2]").set_value(
75         ua.Variant(beta2, ua.VariantType.Double))
76
77     return 0
78
79 def Datos_MPC(q, qc, T0, Tc0, T, Tc, Ca):
80     MPC.get_node("ns=4;s=uqant").set_value(
81         ua.Variant(q, ua.VariantType.Double))
82     MPC.get_node("ns=4;s=uqcant").set_value(
83         ua.Variant(qc, ua.VariantType.Double))
84     MPC.get_node("ns=4;s=q").set_value(
85         ua.Variant(q, ua.VariantType.Double))
86     MPC.get_node("ns=4;s=qc").set_value(
87         ua.Variant(qc, ua.VariantType.Double))
88     MPC.get_node("ns=4;s=T0").set_value(
89         ua.Variant(T0, ua.VariantType.Double))
90     MPC.get_node("ns=4;s=Tc0").set_value(
91         ua.Variant(Tc0, ua.VariantType.Double))
92     MPC.get_node("ns=4;s=T").set_value(
93         ua.Variant(T, ua.VariantType.Double))
94     MPC.get_node("ns=4;s=Tc").set_value(
95         ua.Variant(Tc, ua.VariantType.Double))
96     MPC.get_node("ns=4;s=Ca").set_value(
97         ua.Variant(Ca, ua.VariantType.Double))
98     return 0
99
100 def ejecutar_MPC():
101     MPC.get_node("ns=2;s=server_methods").call_method(
102         "5:method_run", ua.Variant("A String", ua.VariantType.String))
103
104     return 0
105
106 def actualizar_PID():
107     # Lectura set-point de las acciones de control
108     q_sp = MPC.get_node("ns=4;s=q").get_value()
109     qc_sp = MPC.get_node("ns=4;s=qc").get_value()
110
111     # Escritura set-points al SCADA
112     PID1.write(("EscrituraLectura.SP", q_sp))
113     PID2.write(("EscrituraLectura.SP", qc_sp))
114
115     return [q_sp, qc_sp]
116
117 def reportar(q, qc):
118     print("\n" + time.strftime("%H:%M:%S") + ": Ejecucion terminada\n")
119     print(f"\t q = {q:.2f} L/min")
120     print(f"\t qc = {qc:.2f} L/min")
121
122     return 0
123
124 try:

```



```

125 # Conexion a los servidores OPC
126 [MPC, SCADA, PID1, PID2] = conexion OPC()
127
128 while True:
129     tiempo_inicio = time.time()           # Contador de tiempo
130
131     # Verificar si se ha activado o desactivo el controlador desde el
132     SCADA
133     Auto_MPC = SCADA.read("Deck Variables.AutoMPC")[0]
134     #Auto_MPC = 0
135     if Auto_MPC == 1:
136         Controlador = False
137         MPC.get_node("ns=4;s=FlagControlador").set_value(
138             ua.Variant(0, ua.VariantType.Int32))
139         # Actualizacion del periodo de ejecucion
140         PeriodosEjecucion += 1
141         if PeriodosEjecucion > 6:
142             Controlador = True
143             MPC.get_node("ns=4;s=FlagControlador").set_value(
144                 ua.Variant(1, ua.VariantType.Int32))
145
146         # Lectura variables de la planta y parametros del controlador
147         [q, qc, TO, Tc0, T, Tc, Ca, T_sp, Ca_sp, gamma1, gamma2, beta1,
148         beta2] = lectura_SCADA()
149
150         # Escritura de los parametros del controlador
151         configuracion_MPC(T_sp, Ca_sp, gamma1, gamma2, beta1, beta2)
152
153         # Escritura de los datos de la planta al controlador
154         Datos_MPC(q, qc, TO, Tc0, T, Tc, Ca)
155
156         # Ejecucion controlador, solo se soluciona el MHE y MPC si
157         FlagControlador = 1
158         ejecutar_MPC()
159
160         if Controlador == True:
161             # Obtener acciones de control y actualizar set-point de los PID
162             [q_sp, qc_sp] = actualizar_PID()
163             # Reportar en pantallas las acciones de control
164             reportar(q_sp, qc_sp)
165         else:
166             print("\n" + time.strftime("%H:%M:%S") + ": Controlador activo,
167             recolectando datos para MHE")
168
169             a = (time.time() - tiempo_inicio)
170             root.update()
171             time.sleep(t_Sample - (time.time() - tiempo_inicio))
172
173         elif Auto_MPC == 0:
174             MPC.get_node("ns=4;s=FlagControlador").set_value(
175                 ua.Variant(0, ua.VariantType.Int32))
176             Controlador = False
177             PeriodosEjecucion = 0
178             print("\n" + time.strftime("%H:%M:%S") + ": Controlador desactivado
179             ")
180             time.sleep(t_Sample)
181
182 except KeyboardInterrupt:
183
184     SCADA.close()
185     MPC.disconnect()
186     PID1.disconnect()
187     PID2.disconnect()

```



```

183
184     print("\nSe han desconectado los servidores \n")
185     exit()
186
187 finally:
188
189     SCADA.close()
190     MPC.disconnect()
191     PID1.disconnect()
192     PID2.disconnect()
193
194     print("\nSe han desconectado los servidores \n")
195     exit()

```

A.10. Optimizador en tiempo real

El optimizador en tiempo real se programo en EcosimPro[®] de una forma muy similar al problema de estimacion de parametros.

A.10.1. Componente RTO

```

1 USE MATH
2 COMPONENT Reactor_RTO (INTEGER Nu = 3)
3
4     DATA
5         -- Parametros del modelo
6         REAL V = 11.5           "Volumen del reactor (L)"
7         REAL Vc = 1            "Volumen de la camisa (L)"
8         REAL R = 0.00831      "Constante de los gases (kJ/mol/K)"
9         REAL rho = 1          "Densidad del agua (kg/L)"
10        REAL Cp = 4.184       "Capacidad Calorifica del agua (kJ/kg/C)"
11        REAL Ca0 = 5          "Concentracion de entrada de A (mol/L)"
12        REAL T0 = 10          "Temperatura de entrada de los reactivos (C)"
13        REAL Tc0 = 10        "Temperatura de entrada de los reactivos (C)"
14
15        -- Parametros estimados
16        REAL k10 = 20
17        REAL k20 = 9.66637673
18        REAL k30 = 10.9322785
19        REAL dHrxn1 = -53.285068/11.5
20        REAL dHrxn2 = -42.2083961/11.5
21        REAL dHrxn3 = -13.1949792/11.5
22        REAL Ea1 = 8.91987158
23        REAL Ea2 = 6.7666094
24        REAL Ea3 = 8.72110974
25        REAL alpha = 1.22916238
26
27        -- Optimizador
28        REAL LiminfT = 5
29        REAL LimsupT = 60
30        REAL LiminfCa = 0
31        REAL LimsupCa = 5
32        REAL Liminfq = 0.3
33        REAL Limsupq = 1.5
34        REAL Liminfqc = 0.83
35        REAL Limsupqc = 15
36
37        REAL q = 1.2
38        REAL qc = 2
39
40     DECLS

```



```

41      -- Variables de decision
42      REAL T = 30
43      REAL Tc = 15                "Temperatura refrigerante (C)"
44      REAL Ca = 0.2
45      REAL Cb = 2
46      REAL Cc = 0.3
47      REAL Cd = 0.2
48      -- Optimizador
49      REAL F_optim[5]            "Restricciones"
50      REAL J_costo                "Funcion de coste"
51      DISCR REAL c_A, c_B, c_C, c_D, c_ref
52
53      INIT
54
55      CONTINUOUS
56
57      -- Balances de materia
58      0 = q*(Ca0 - Ca) + (-k10*exp(-Ea1/(R*(T+273.15)))*Ca*V - 2*k30*exp(-Ea3
/((R*(T+273.15)))*Ca**2*V)
59      0 = -q*Cb + ( k10*exp(-Ea1/(R*(T+273.15)))*Ca*V - k20*exp(-Ea2/(R*(T
+273.15)))*Cb*V)
60      0 = -q*Cc + ( k20*exp(-Ea2/(R*(T+273.15)))*Cb*V
61      0 = -q*Cd + ( k30*exp(-Ea3/(R*(T+273.15)))*Ca**2*V)
62
63      -- Balances de energia
64      -- Reactor
65      0 = q*rho*Cp*(T0 - T) - alpha*qc**0.8*(T - Tc) + V*( - dHrxn1*k10*exp(-
Ea1/(R*(T+273.15)))*Ca*V - dHrxn2*k20*exp(-Ea2/(R*(T+273.15)))*Cb*V -
dHrxn3*k30*exp(-Ea3/(R*(T+273.15)))*Ca**2*V )
66      -- Camisa
67      0 = qc*rho*Cp*(Tc0 - Tc) + alpha*qc**0.8*(T - Tc)
68
69      -- Esta funcion de costo es solo para visualizacion
70      J_costo = -( q*(c_A*Ca + c_B*Cb + c_C*Cc + c_D*Cd) - q*c_A*Ca0 - qc*
c_ref )
71
72      -- Restricciones no lineales (expresiones c(x) <= 0)
73      F_optim[1] = J_costo
74      F_optim[2] = T
75      F_optim[3] = Ca
76      F_optim[4] = Cb
77      F_optim[5] = Cc
78
79      END COMPONENT

```

A.10.2. Experimento RTO

```

1
2      USE OPTIM_METHODS
3      FUNCTION INTEGER coste_y_restricciones(IN REAL esnopt_x[], IN INTEGER needF,
OUT REAL esnopt_F[], IN INTEGER explicit_derivatives, IN INTEGER needG, OUT
REAL esnopt_G[])
4
5      BODY
6
7      --RESET_VARIABLES ()
8
9      q = esnopt_x[1]
10     qc = esnopt_x[2]
11
12
13     SET_INIT_ACTIVE(TRUE)
14     REL_ERROR = 1.0e-16

```



```

15     TIME = 0
16     TSTOP = 0
17     CINT = 0.1
18
19     INTEG()
20
21     esnopt_F[1] = F_optim[1]
22     esnopt_F[2] = F_optim[2]
23     esnopt_F[3] = F_optim[3]
24     esnopt_F[4] = F_optim[4]
25     esnopt_F[5] = F_optim[5]
26
27
28     --WRITE ("costeyrestricciones2 ffinal: %f %f %f %f %f\n", esnopt_F[1],
29     esnopt_F[2], esnopt_F[3], esnopt_F[4], esnopt_F[5])
30
31     RETURN 0
32 END FUNCTION
33 EXPERIMENT RT0 ON Reactor_RT0.partition1
34     DECLS
35         REAL numU = 2
36         REAL numC = 4
37         REAL param_estim[2]      -- variables de decision, size n_dec_var
38         REAL xlow[2]             -- valor inferior de las variables de decision,
39         size n_dec_var
40         REAL xupp[2]             -- valor superior de las variables de decision,
41         size n_dec_var
42         REAL Flow[5]             -- valor inferior de la funcion objetivo y las
43         restricciones, size n_total
44         REAL Fupp[5]             -- valor superior de la funcion objetivo y las
45         restricciones, size n_total
46         REAL CostoA = 0.5
47         REAL CostoB = 5
48         REAL CostoC = 0.3
49         REAL CostoD = 0.2
50         REAL CostoRef = 0.01
51
52     OBJECTS
53     INIT
54     BOUNDS
55     BODY
56
57         setValueReal( "c_A", CostoA)
58         setValueReal( "c_B", CostoB)
59         setValueReal( "c_C", CostoC)
60         setValueReal( "c_D", CostoD)
61         setValueReal( "c_ref", CostoRef)
62
63     -- Formar vector de variables de decision
64     param_estim[1] = q
65     param_estim[2] = qc
66
67
68     -- Limites de las variables de decision
69     xlow[1] = Liminfq
70     xupp[1] = Limsupq
71
72     xlow[2] = Liminfqc
73     xupp[2] = Limsupqc
74
75     -- Restricciones
76     Flow[1] = -1e50

```



```

73      Fupp[1] = 1e50
74
75      Flow[2] = 0
76      Fupp[2] = 60
77
78      Flow[3] = 0
79      Fupp[3] = 5
80
81      Flow[4] = 0
82      Fupp[4] = 5
83
84      Flow[5] = LiminfCa
85      Fupp[5] = LimsupCa
86
87      --Optimization extern routine call
88      setSilentMode(TRUE)
89      SET_REPORT_ACTIVE("#MONITOR",FALSE)
90
91      esnopt_init(numU, numC)
92      esnopt_set_variables_bounds_and_initial_values(xlow, xupp, param_estim)
93      esnopt_set_constraints_bounds_and_initial_values(Flow, Fupp, F_optim)
94      esnopt_set_cost_function_and_constraints(coste_y_restricciones)
95      esnopt_set_explicit_derivatives(0)
96      esnopt_set_function_precision(1.0e-15)
97      esnopt_set_iterations_limit(1000)
98      esnopt_print_data()
99      esnopt()
100     REL_ERROR = 1.0e-16
101
102     RESET_VARIABLES ()
103
104     esnopt_get_variables_values(param_estim)
105     esnopt_free()
106
107     setSilentMode(FALSE)
108     SET_REPORT_ACTIVE("#MONITOR",TRUE)
109
110
111     q = param_estim[1]
112     qc = param_estim[2]
113
114
115     WRITE("\n\n\n\nCaudal de reactivos: %f ", q)
116     WRITE("\nCaudal de refrigerante: %f ", qc)
117
118     SET_INIT_ACTIVE(TRUE)
119     TIME = 0
120     TSTOP = 0
121     CINT = 0.1
122     INTEG()
123
124     END EXPERIMENT

```

